

**UNIVERSIDAD NACIONAL PEDRO RUIZ GALLO
FACULTAD DE CIENCIAS HISTÓRICO SOCIALES Y
EDUCACIÓN
ESCUELA PROFESIONAL DE ARQUEOLOGÍA**



TESIS

**Prospección arqueológica en la zona oriental del distrito de
Pátapo, valle medio Chancay – Lambayeque**

Presentada para obtener el Título Profesional de Licenciado en Arqueología

Autores:

Bach. Mauro Mansilla, Manuel Kevin.

Bach. Serrano Silva, Rafael Fernando.

Asesor:

Mg. Luis Enrique Chero Zurita.

**Lambayeque - Perú
2026**

Prospección arqueológica en la zona oriental del distrito de Pátapo, valle medio Chancay – Lambayeque

Trabajo de Tesis presentada para obtener el Título Profesional de Licenciado en Arqueología



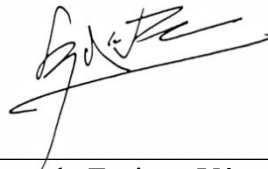
Bach. Manuel Kevin Mauro Mansilla
Investigador



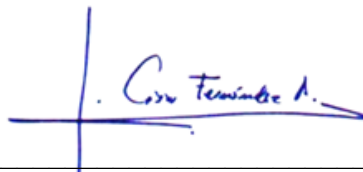
Bach. Rafael Fernando Serrano Silva
Investigador



Dr. Julio César Sevilla Exebio
Presidente



Dr. Segundo Enrique Vásquez Zuloeta
Secretario



Dr. Julio César Felizardo Fernández Alvarado
Vocal



Mg. Luis Enrique Chero Zurita
Asesor

ACTA DE SUSTENTACIÓN



UNIVERSIDAD NACIONAL PEDRO RUIZ GALLO
FACULTAD DE CIENCIAS HISTÓRICO SOCIALES Y EDUCACIÓN
UNIDAD DE INVESTIGACIÓN



ACTA DE SUSTENTACIÓN DE TESIS **N° 200-2026**

Siendo las 10 horas, del día viernes 20 de febrero 2026 en los Ambientes de la FACHSE: AD03
_____, por mandato de la Resolución N° 0454-2026-D-FACHSE de fecha 12 de Febrero de 2026 que autoriza la sustentación, se reunieron los miembros del Jurado designado según Resolución N° 4115-2025-D-FACHSE de fecha 11 de noviembre de 2025; Jurado integrado por los siguientes miembros:

| | |
|------------------------|--|
| Presidente(a) | : Dr. Julio César Sevilla Exebio |
| Secretario(a) | : M. Sc. Segundo Enrique Vásquez Zuloeta |
| Vocal | : Dr. Julio César Felizardo Fernández Alvarado |
| Asesor(a) Metodológico | : M. Sc. Luis Enrique Chero Zurita |
| Asesor(a) Científico | : |



Con la finalidad de evaluar la (el) Tesis titulada(o): PROSPECCIÓN ARQUEOLÓGICA EN LA ZONA ORIENTAL DEL DISTRITO DE PÁTAPO, VALLE MEDIO CHANCAY – LAMBAYEQUE . Presentada por MAURO MANSILLA MANUEL KEVIN Y SERRANO SILVA RAFAEL FERNANDO para obtener el Título profesional de Licenciado(a) en Arqueología.

Leída la resolución de autorización, se inicia el acto de sustentación, al término del cual y de conformidad con el Reglamento General de Investigación de la UNPRG (Res. N° 184-2023-CU de fecha 24 de abril de 2023) y el Reglamento de Grados y Títulos de la UNPRG (Res. N° 267-2023-CU de fecha 20 de junio de 2023), los miembros del jurado realizaron la evaluación respectiva, haciendo las preguntas, observaciones y recomendaciones al/los sustentante(s), quien(es) respondió(eron) las interrogantes planteadas.

Dada la deliberación correspondiente por parte del jurado, se sucedió la valoración, **obteniendo el calificativo de 20 en la escala vigesimal, que equivale a la mención de EXCELENTE**. Siendo las 11 horas del mismo día, se dio por concluido el acto académico, con la lectura del acta y la firma de los miembros del jurado.



Dr. Julio César Sevilla Exebio
PRESIDENTE(A)



M. Sc. Segundo Enrique Vásquez Zuloeta
SECRETARIO(A)



Dr. Julio César Felizardo Fernández Alvarado
VOCAL

OBSERVACIONES: _____

El presente acto académico se sustenta en el Reglamento General de Investigación de la UNPRG (Res. N° 184-2023-CU de fecha 24 de abril de 2023) los artículos 20°, 33°, 46°, 54° o 66° del Reglamento de Grados y Títulos de la Universidad Nacional Pedro Ruiz Gallo (aprobado con Resolución N° 267-2023-CU de fecha 20 de junio del 2023 y su modificatoria aprobada por Resolución N° 385-2023-CU de fecha 11 de diciembre del 2023) y por la Resolución N° 403-2023-CU de fecha 27 de diciembre de 2023, ésta última que amplía el límite de las fechas de sustentación de proyectos aprobados del 2017 al 2020.

CONSTANCIA DE VERIFICACIÓN DE ORIGINALIDAD

Yo, Luis Enrique Chero Zurita usuario revisor de:

Tesis

Trabajo de Suficiencia Profesional

Trabajo Académico

Titulado: Prospección arqueológica en la zona oriental del distrito de Pátapo, valle medio

Chancay – Lambayeque

Cuyo autor (es) son:

Manuel Kevin Mauro Mansilla ; con DNI N° 74567889

Rafael Fernando Serrano Silva ; con DNI N° 75909787 ; declaro que la

evaluación realizada por el Programa informático, ha arrojado un porcentaje de similitud

6 %, verificables en el Resumen del Reporte automatizado de similitudes que se acompaña.

El suscrito (a) analizó reporte y concluyó que cada una de las coincidencias detectadas dentro del porcentaje de similitud permitido no constituyen plagio y que el documento cumple con la integridad científica y con las normas para el uso de citas y referencias establecidas en los protocolos respectivos,

Se cumple con adjuntar el Recibo Digital a efectos de la trazabilidad respectiva del proceso.

Lambayeque; 17 de noviembre del 2025



Luis Enrique Chero Zurita
DNI 16450662
ASESOR

Adjunta:
Resumen de Reporte automatizado de similitudes
Recibo digital

Prospección arqueológica en la zona oriental del distrito de Pátapo, valle medio Chancay – Lambayeque

ORIGINALITY REPORT

6%

SIMILARITY INDEX

5%

INTERNET SOURCES

3%

PUBLICATIONS

1%

STUDENT PAPERS

PRIMARY SOURCES

1

www.museuprehistoriavalencia.es

Internet Source

2%

2

da Silva, Maria da Graca de Sousa Pauperio. "Origem, Tempo e Materia. Um Olhar Interpretativo Sobre a Colecao de Brinquedos em Deposito na Ese-Ipp", Instituto Politecnico do Porto (Portugal), 2022

Publication

1%

3

Submitted to Universidad Nacional Pedro Ruiz Gallo

Student Paper

1%

4

Submitted to Universidad de Deusto

Student Paper

<1%

5

repositorio.unprg.edu.pe

Internet Source

<1%

6

congresoarqueologia.cultura.gob.pe

Internet Source

<1%

7

repositorio.unasam.edu.pe

Internet Source

<1%



Luis Enrique Chero Zurita

DNI: 16450662

ASESOR

| | | |
|----|---|------|
| 8 | repositorio.ucv.edu.pe Internet Source | <1 % |
| 9 | www.mupreva.es Internet Source | <1 % |
| 10 | hdl.handle.net Internet Source | <1 % |
| 11 | museos.cultura.pe Internet Source | <1 % |
| 12 | Castillo Butters, Luis J. "San Jose de Moro y el Fin de los Mochicas en el Valle de Jequetepeque, Costa Norte del Peru", Proquest, 2014. Publication | <1 % |
| 13 | repositorio.unal.edu.co Internet Source | <1 % |
| 14 | pt.slideshare.net Internet Source | <1 % |
| 15 | repositorio.undac.edu.pe Internet Source | <1 % |
| 16 | www.gravissimo.es Internet Source | <1 % |
| 17 | datospdf.com Internet Source | <1 % |
| 18 | tesis.ucsm.edu.pe Internet Source | <1 % |



Luis Enrique Chero Zurita
DNI: 16450662
ASESOR

| | | |
|----|---|------|
| | | <1 % |
| 19 | www.scribd.com Internet Source | <1 % |
| 20 | tesis.usat.edu.pe Internet Source | <1 % |
| 21 | arqueologiadelperu.com Internet Source | <1 % |
| 22 | www.slideshare.net Internet Source | <1 % |
| 23 | fdocuments.ec Internet Source | <1 % |
| 24 | html.pdfcookie.com Internet Source | <1 % |
| 25 | repositorio.uct.edu.pe Internet Source | <1 % |
| 26 | www.feram.cl Internet Source | <1 % |
| 27 | Submitted to Universidad Nacional de San Cristóbal de Huamanga Student Paper | <1 % |
| 28 | journals.openedition.org Internet Source | <1 % |

Exclude quotes On
Exclude bibliography On

Exclude matches < 15 words



Luis Enrique Chero Zurita
DNI: 16450662
ASESOR




Digital Receipt

This receipt acknowledges that Turnitin received your paper. Below you will find the receipt information regarding your submission.

The first page of your submissions is displayed below.

Submission author: Mauro Mansilla, Manuel Kevin & Serrano Silva, Rafael Fernando
Assignment title: Quick Submit
Submission title: Prospección arqueológica en la zona oriental del distrito de Pá...
File name: ental_del_distrito_de_P_tapo,_valle_medio_Chancay_Lambayeq...
File size: 30.8M
Page count: 268
Word count: 33,828
Character count: 213,163
Submission date: 30-Apr-2026 10:48AM (UTC-0500)
Submission ID: 2948931472



Luis Enrique Chero Zurita
DNI: 16450662
ASESOR

DEDICATORIA

En primer lugar, a Dios por brindarnos salud y la oportunidad de mejorar día con día.

A nuestros padres que nos brindan la ayuda y soporte emocional para mejorar y es coherente hacerlos sentir orgullosos por este trabajo.

En especial para mi padre Serrano Salazar Gilmer Nilo, quien me guio en vida a ser mejor persona y confiar en que lo que uno se propone lo puede cumplir, un saludo al cielo padre.

A nuestros hermanos que, con sus acciones y apoyo incondicional, nos permitieron el apoyo en casa en tiempos de ausencia nuestros.

A los arqueólogos y compañeros que nos brindaron la ayuda cuando se les requirió, gracias a ellos se pudo lograr el objetivo.

AGRADECIMIENTOS

A nuestro creador, Dios por guiarnos durante las semanas de prospección, permitiéndonos ser mejores cada día y aprender en el camino.

Al arqueólogo Chero Zurita Luis Enrique, nuestro asesor, por la paciencia y el apoyo cuando lo requerimos, siendo nuestra guía en el desarrollo de la investigación.

Al Doctor Julio Cesar Felizardo Fernández Alvarado, por tener la paciencia, dedicación y motivarnos a cumplir lo que nos proponemos, siendo nuestra guía para cumplir los objetivos trazados.

A nuestros compañeros de la carrera de arqueología, Luis Antonio Zapata Sobrino y Oscar Diaz Damián, por su incondicional apoyo en el desarrollo de la investigación, por su lealtad y amistad brindada estos años, que nos permitieron culminar con éxito el presente estudio.

ÍNDICE

| | |
|--|-------------|
| CONSTANCIA DE VERIFICACIÓN DE ORIGINALIDAD DE TESIS | iv |
| INFORME DE SIMILITUD DE TURNITIN | v |
| RECIBO DIGITAL DE SIMILITUD | viii |
| DEDICATORIA | ix |
| AGRADECIMIENTO | x |
| ÍNDICE | 11 |
| ÍNDICE DE FIGURAS | 14 |
| ÍNDICE DE TABLAS | 27 |
| RESUMEN | 29 |
| ABSTRACT | 30 |
| INTRODUCCIÓN | 31 |
| CAPÍTULO I. DISEÑO TEÓRICO | 35 |
| 1.1. Antecedentes..... | 35 |
| 1.1.1. Prospección en Europa..... | 35 |
| 1.1.2. Prospección en Norteamérica..... | 36 |
| 1.1.3. Prospección en Sudamérica..... | 36 |
| 1.1.4. Prospección en los andes centrales..... | 37 |
| 1.1.5. Prospección en la costa norte del Perú..... | 37 |
| 1.1.6. Prospecciones realizadas en la zona de estudio..... | 37 |
| 1.2. Bases teóricas..... | 40 |
| 1.2.1. La prospección..... | 40 |
| 1.2.2. La arqueología espacial..... | 42 |
| 1.3. Operacionalización o categorización de variables..... | 43 |
| 1.3.1. Definición conceptual..... | 44 |
| 1.3.2. Definición operacional..... | 45 |
| CAPÍTULO II. DISEÑO METODOLÓGICO | 46 |
| 2.1. Tipo de investigación..... | 46 |
| 2.2. Diseño de contrastación de hipótesis..... | 46 |

| | |
|--|------------|
| 2.3. Procedimiento a seguir en la investigación..... | 47 |
| 2.4. Población y muestra..... | 50 |
| 2.5. Técnicas e instrumentos..... | 51 |
| 2.5.1. Técnica. | 51 |
| 2.5.2. Instrumentos. | 56 |
| 2.6. Aspectos éticos de la investigación..... | 58 |
| CAPÍTULO III. RESULTADOS | 59 |
| 3.1. Reconocimiento. | 59 |
| 3.1.1 Ubicación. | 59 |
| 3.1.2. Geomorfología. | 62 |
| 3.1.3. Hidrografía. | 65 |
| 3.1.4. Ecología..... | 68 |
| 3.1.5. Clima. | 69 |
| 3.1.6. Biodiversidad. | 69 |
| 3.1.7. Flora. | 70 |
| 3.1.8. Fauna. | 79 |
| 3.1.9. Toponimia. | 88 |
| 3.2. Identificación del material cultural. | 89 |
| 3.2.1. Levantamiento topográfico. | 89 |
| 3.2.2. Cerro Pulato..... | 102 |
| 3.2.3. Huaca Los Chinos. | 128 |
| 3.2.4. Cerro Mirador..... | 180 |
| 3.2.5. Cerro Gallinazo. | 205 |
| 3.3. Análisis de resultados. | 229 |
| 3.3.1. Cerro Pulato..... | 229 |
| 3.3.2. Huaca Los Chinos. | 233 |
| 3.3.3. Cerro Mirador..... | 236 |
| 3.3.4. Cerro Gallinazo. | 240 |
| 3.3.5. Estadística General. | 243 |
| CAPÍTULO IV. DISCUSIÓN DE RESULTADOS..... | 248 |
| CONCLUSIONES | 252 |
| RECOMENDACIONES | 254 |
| REFERENCIAS | 255 |
| VALIDACIÓN DE FICHAS DE REGISTRO..... | 259 |

| | |
|---------------------|------------|
| ANEXOS | 260 |
| ANEXO 1 | 260 |
| ANEXO 2 | 261 |
| ANEXO 3 | 262 |
| ANEXO 4 | 263 |
| ANEXO 5 | 264 |
| ANEXO 6 | 265 |
| ANEXO 7 | 266 |
| ANEXO 8 | 267 |

ÍNDICE DE FIGURAS

| | |
|--|----|
| Figura 1. <i>Plano y mapa de cerro Mirador</i> | 47 |
| Figura 2. <i>Vista del uso del GPS diferencial</i> | 48 |
| Figura 3. <i>Reconocimiento del área de estudio</i> | 48 |
| Figura 4. <i>Proceso de recopilación de información ecológica, tomado de fotografías.</i> | 49 |
| Figura 5. <i>Empleo de gráficos y tablas estadísticas.</i> | 50 |
| Figura 6. <i>Delimitación geográfica de área de estudio</i> | 50 |
| Figura 7. <i>Fuentes documentales usadas en la investigación</i> | 52 |
| Figura 8. <i>Fuente informática obtenida del SIGDA</i> | 52 |
| Figura 9. <i>Proceso de sectorización marcada dentro de la poligonal</i> | 53 |
| Figura 10. <i>Proceso de toma de imágenes mediante la fotogrametría.</i> | 53 |
| Figura 11. <i>Proceso de digitalización 3D, mediante el programa Agisoft Metashape</i> | 54 |
| Figura 12. <i>Proceso de digitalización de las fotografías.</i> | 54 |
| Figura 13. <i>Proceso de llenado del cuaderno de campo</i> | 55 |
| Figura 14. <i>Toma de medidas a la arquitectura registrada</i> | 55 |
| Figura 15. <i>Ejemplo de ficha de registro utilizado.</i> | 56 |
| Figura 16. <i>Uso del GPS, Wincha y Tablet.</i> | 57 |
| Figura 17. <i>Uso de la cámara réflex.</i> | 57 |
| Figura 18. <i>Equipo de trabajo durante el proceso de fotogrametría</i> | 58 |
| Figura 19. <i>Mapa político de Lambayeque.</i> | 59 |
| Figura 20. <i>Mapa del distrito de Pátapo y sus caseríos.</i> | 60 |
| Figura 21. <i>Mapa limítrofe del distrito de Pátapo.</i> | 60 |
| Figura 22. <i>Delimitación de la zona oriental de Pátapo, 1 (Norte), 2 (Sur), 3 (Oeste) y 4 (Este)</i> | 61 |
| Figura 23. <i>Sitios prospectados en la zona oriental de Pátapo.</i> | 61 |
| Figura 24. <i>Vertientes montañosas, vista desde Cerro Pulato</i> | 62 |
| Figura 25. <i>Paisaje Valle Encañonado. Vista del Cerro Pulato.</i> | 63 |

| | |
|---|----|
| Figura 26. Paisaje Llanura Aluvial. | 63 |
| Figura 27. Estratos piroclásticos, ubicados en Cerro Gallinazo | 64 |
| Figura 28. Presencia de piedras calizas grises claros | 64 |
| Figura 29. Roca detrítica Grauwaca en las superficies de Pátapo | 65 |
| Figura 30. Terrazas de la zona este de Pátapo, usados para la agricultura | 65 |
| Figura 31. Cauce del canal Taymi antiguo, surcaba sus aguas al norte de Huaca Los Chinos..... | 66 |
| Figura 32. Canal Taymi actualmente | 67 |
| Figura 33. Cauce antiguo, vista norte, desciende de Cerro Pátapo y surca por la zona oeste de Cerro Pulato. | 67 |
| Figura 34. Cauce antiguo, vista sur. Cerro Pulato | 68 |
| Figura 35. Desierto del Pacifico. Zona norte y oeste de Pátapo..... | 68 |
| Figura 36. Bosque Seco Ecuatorial. Zona sur y este de Pátapo..... | 69 |
| Figura 37. Árbol de algarrobo, (<i>Prosopis pallida</i>). | 70 |
| Figura 38. "Gramma salada" (<i>Distichlis spicata</i>). | 70 |
| Figura 39. Faique, (<i>Acacia macracantha</i>) | 71 |
| Figura 40. Algodón blanco, (<i>Gossypium barbadense</i>). | 71 |
| Figura 41. "Tomatillo" (<i>Lycopersicon peruvianum</i>). | 72 |
| Figura 42. Curi, (<i>Galvezia fruticosa</i>) | 72 |
| Figura 43. Flor de Molle, (<i>Schinus molle</i>). | 73 |
| Figura 44. Frutos secos del llamado "Jaboncillo" (<i>Luffa operculata</i>) | 73 |
| Figura 45. Concuno, (<i>Vallesia dichotoma</i>). | 74 |
| Figura 46. Planta de Achicoria, (<i>Picrosia longifolia</i>)..... | 74 |
| Figura 47. Higuierilla, (<i>Rícínus communis</i>) | 75 |
| Figura 48. Flor de Overo, (<i>Cordia luteria</i>) | 75 |
| Figura 49. Planta de Tuna, (<i>Opuntia ficus-indica</i>) | 76 |
| Figura 50. "Flor de arena" (<i>Tiquilia dichotoma</i>)..... | 76 |
| Figura 51. Planta de Llantén, (<i>Plantago major</i>). | 77 |

| | |
|---|----|
| Figura 52. <i>Planta cactus, (Melocactus peruvianus)</i> | 77 |
| Figura 53. <i>Cactus, (Gymnocalycium mostii)</i> | 78 |
| Figura 54. " <i>Cola de caballo</i> " (<i>Andropogon bicornis</i>) | 78 |
| Figura 55. <i>Cactus cola de mono, (Cleistocactus colademononis)</i> | 79 |
| Figura 56. <i>Mariposa pasionaria de alas largas, (Dione juno)</i> | 79 |
| Figura 57. <i>Mariposa pasionaria oscura, (Dione juno)</i> | 80 |
| Figura 58. <i>Ave "arrocera", (Sicalis flaveola)</i> | 80 |
| Figura 59. <i>Avispa papelera, peruana, (Polistes peruvianus)</i> | 81 |
| Figura 60. <i>Avispa "Pulato", (Polybia simillima)</i> | 81 |
| Figura 61. <i>Avispa negra, (Polybia Occidentalis)</i> | 82 |
| Figura 62. " <i>Putilla</i> ", (<i>Pyrocephalus rubinus</i>) | 82 |
| Figura 63. <i>Polilla gris, familia (Erebidae)</i> | 83 |
| Figura 64. <i>Araña de la familia Oxyopidae, atrapando una avispa negra</i> | 83 |
| Figura 65. <i>Escorpión, (Hadruidoles lunatus)</i> | 84 |
| Figura 66. <i>Abeja doméstica, (Apis mellifera)</i> | 84 |
| Figura 67. <i>Cola-Espina Acollarada, (Synallaxis stictothorax maculata)</i> | 85 |
| Figura 68. <i>Calandria de Cola Larga, (Mimus longicaudatus)</i> | 85 |
| Figura 69. <i>Abejorro negro, (Xylocopa californica)</i> | 86 |
| Figura 70. <i>Gallinazo de Cabeza Roja (Cathartes aura)</i> | 86 |
| Figura 71. " <i>Lagartija</i> ", (<i>Dicrodon heterolepis</i>) | 87 |
| Figura 72. <i>Caracara Crestada, (Caracara cheriway)</i> | 87 |
| Figura 73. " <i>Zorro</i> ", (<i>Dusicyon sechurae</i>) | 88 |
| Figura 74. <i>Ubicación provincial de la zona de estudio</i> | 90 |
| Figura 75 <i>Ubicación distrital de Pátapo dentro de la región</i> | 90 |
| Figura 76 <i>Ubicación de las zonas de estudio en Google Earth Pro</i> | 91 |
| Figura 77. <i>Proceso de toma de puntos de control en Cerro Pulato, mediante el uso del GPS</i> | 92 |

| | |
|--|-----|
| Figura 78. <i>Vuelo del dron, durante el levantamiento en Cerro Pulato.</i> | 92 |
| Figura 79. <i>Se utiliza el GPS diferencial para tener un mínimo de margen de error.</i> | 93 |
| Figura 80. <i>GPS diferencial base, para la toma de puntos de control en Cerro Gallinazo y elevación de Drone.</i> | 93 |
| Figura 81. <i>GPS Colocación de punto de control. Acción realizada en los cuatro sitios de estudio.</i> | 94 |
| Figura 82. <i>Detalle en 3D de la nube de puntos y superior a ella las fotografías tomadas por el dron.</i> | 95 |
| Figura 83. <i>Nube de fotografías tomadas por el dron, para el posterior traslado de imagen en 3D.</i> | 95 |
| Figura 84. <i>Detalle del conjunto de fotografías tomadas por el dron.</i> | 96 |
| Figura 85. <i>Se establecieron 15 puntos de control (marcadores), en Cerro Pulato.</i> | 96 |
| Figura 86. <i>Ortofoto Cerro Pulato.</i> | 97 |
| Figura 87. <i>Se establecieron 12 puntos de control (marcadores), en Huaca Los Chinos.</i> ... | 98 |
| Figura 88. <i>Ortofoto Huaca Los Chinos.</i> | 99 |
| Figura 89. <i>Se establecieron 7 puntos de control (marcadores), en Cerro Mirador.</i> | 99 |
| Figura 90. <i>Ortofoto Cerro Mirador</i> | 100 |
| Figura 91. <i>Se establecieron 8 puntos de control (marcadores), en Cerro Gallinazo.</i> | 101 |
| Figura 92. <i>Ortofoto Cerro Gallinazo</i> | 102 |
| Figura 93. <i>Ruta de acceso principal (señalado en rojo), hacia Cerro Pulato.</i> | 103 |
| Figura 94. <i>Límite norte de Cerro Pulato.</i> | 103 |
| Figura 95. <i>Límite sur de Cerro Pulato.</i> | 104 |
| Figura 96. <i>Límite Este de Cerro Pulato.</i> | 104 |
| Figura 97. <i>Límite Oeste de Cerro Pulato.</i> | 105 |
| Figura 98. <i>Plano Catastral de Cerro Pulato, escala 1/7500.</i> | 105 |
| Figura 99. <i>Plano de la poligonal trazada en Cerro Pulato, escala 1/200.</i> | 106 |
| Figura 100. <i>Ambos planos de ubicación comparten una misma leyenda.</i> | 106 |
| Figura 101. <i>Mosaico de elevación, Cerro Pulato.</i> | 107 |

| | |
|--|-----|
| Figura 102. <i>Plano de curvas a nivel de Cerro Pulato, escala 1/1500.</i> | 108 |
| Figura 103. <i>Sectorización de Cerro Pulato.</i> | 108 |
| Figura 104. <i>Reconocimiento Sector norte de Cerro Pulato.</i> | 109 |
| Figura 105. <i>Posicionamiento del centro de Cerro Pulato.</i> | 110 |
| Figura 106. <i>Detalle del centro, colocación de estaca y tendido de hilo.</i> | 110 |
| Figura 107. <i>Uso de la Brújula.</i> | 111 |
| Figura 108. <i>Proceso de prospección en la zona superior de Cerro Pulato.</i> | 111 |
| Figura 109. <i>Proceso de prospección en la zona media e inferior de Cerro Pulato.</i> | 112 |
| Figura 110. <i>Proceso de limpieza y posterior toma de medidas y peso del material identificado.</i> | 112 |
| Figura 111. <i>Restos malacológicos (Donax obesulus).</i> | 113 |
| Figura 112. <i>Fragmento de olla.</i> | 114 |
| Figura 113. <i>Fragmento de cántaro.</i> | 114 |
| Figura 114. <i>Fragmento de plato</i> | 115 |
| Figura 115. <i>Fragmento de cántaro.</i> | 116 |
| Figura 116. <i>Fragmento de olla.</i> | 116 |
| Figura 117. <i>Fragmento de botella.</i> | 117 |
| Figura 118. <i>Fragmento de cántaro.</i> | 117 |
| Figura 119. <i>Fragmento de tinaja.</i> | 118 |
| Figura 120. <i>Fragmento de cántaro.</i> | 118 |
| Figura 121. <i>Material lítico identificado en el subsector superior.</i> | 119 |
| Figura 122. <i>Pozo de huaqueo, sector B.</i> | 119 |
| Figura 123. <i>Fragmento de olla.</i> | 120 |
| Figura 124. <i>Fragmento de olla.</i> | 121 |
| Figura 125. <i>Fragmento de plato.</i> | 121 |
| Figura 126. <i>Fragmento de olla.</i> | 122 |
| Figura 127. <i>Fragmento de cántaro.</i> | 122 |

| | |
|---|-----|
| Figura 128. <i>Fragmento de cuenco</i> | 123 |
| Figura 129. <i>Fragmento de tinaja</i> | 123 |
| Figura 130. <i>Fragmento de botella</i> | 124 |
| Figura 131. <i>Fragmento de olla</i> | 124 |
| Figura 132. <i>Fragmento de cántaro</i> | 125 |
| Figura 133. <i>Fragmento de olla</i> | 126 |
| Figura 134. <i>Fragmento de plato</i> | 126 |
| Figura 135. <i>Fragmento de botella</i> | 127 |
| Figura 136. <i>Detalle de la arquitectura</i> | 127 |
| Figura 137. <i>Arquitectura de planta rectangular</i> | 128 |
| Figura 138. <i>Ruta de único acceso (señalado en rojo), hacia Huaca Los Chinos</i> | 129 |
| Figura 139. <i>Límite Norte de Huaca Los Chinos</i> | 129 |
| Figura 140. <i>Límite Sur de Huaca Los Chinos</i> | 130 |
| Figura 141. <i>Límite Este de Huaca Los Chinos</i> | 130 |
| Figura 142. <i>Límite Oeste de Huaca Los Chinos</i> | 131 |
| Figura 143. <i>Plano Catastral de Huaca Los Chinos, escala 1/7500</i> | 131 |
| Figura 144. <i>Plano de la poligonal trazada en Huaca Los Chinos, escala 1/1250</i> | 132 |
| Figura 145. <i>Ambos planos de ubicación comparten una misma leyenda</i> | 132 |
| Figura 146. <i>Mosaico de elevación, Huaca Los Chinos, Agisoft Metashape</i> | 133 |
| Figura 147. <i>Plano de curvas a nivel de Huaca Los Chinos, escala 1/1250</i> | 134 |
| Figura 148. <i>Sectorización Huaca Los Chinos</i> | 134 |
| Figura 149. <i>Reconocimiento, Huaca Los Chinos</i> | 135 |
| Figura 150. <i>Ubicación del centro de la poligonal en Huaca Los Chinos</i> | 136 |
| Figura 151. <i>Recorrido para la identificación de material cultural</i> | 136 |
| Figura 152. <i>Registro de material</i> | 137 |
| Figura 153. <i>Toma de medidas del material cerámico</i> | 137 |
| Figura 154. <i>Fragmento de tinaja</i> | 138 |

| | |
|--|-----|
| Figura 155. <i>Fragmento de tinaja</i> | 139 |
| Figura 156. <i>Fragmento de tinaja</i> | 139 |
| Figura 157. <i>Fragmento de olla</i> | 140 |
| Figura 158. <i>Fragmento de rallador</i> | 140 |
| Figura 159. <i>Fragmento no identificado (ND)</i> | 141 |
| Figura 160. <i>Fragmento de olla</i> | 141 |
| Figura 161. <i>Fragmento de plato</i> | 142 |
| Figura 162. <i>Fragmento de olla</i> | 142 |
| Figura 163. <i>Fragmento de botella</i> | 143 |
| Figura 164. <i>Material lítico</i> | 143 |
| Figura 165. <i>Restos malacológicos de Spondylus</i> | 144 |
| Figura 166. <i>Restos malacológicos de Prisogaster niger</i> | 144 |
| Figura 167. <i>Fragmento de olla</i> | 145 |
| Figura 168. <i>Fragmento de plato</i> | 145 |
| Figura 169. <i>Fragmento de olla</i> | 146 |
| Figura 170. <i>Fragmento de rallador</i> | 146 |
| Figura 171. <i>Fragmento de tinaja</i> | 147 |
| Figura 172. <i>Fragmento de plato</i> | 147 |
| Figura 173. <i>Fragmento de cántaro</i> | 148 |
| Figura 174. <i>Primer pozo de huaqueo</i> | 148 |
| Figura 175. <i>Segundo pozo de huaqueo</i> | 149 |
| Figura 176. <i>Muestra del material lítico</i> | 149 |
| Figura 177. <i>Fragmentos de Spondylus</i> | 150 |
| Figura 178. <i>Muestra de Caracol terrestre (Scutalus proteus)</i> | 150 |
| Figura 179. <i>Fragmento de figurina</i> | 151 |
| Figura 180. <i>Fragmento de plato</i> | 151 |
| Figura 181. <i>Fragmento de tinaja</i> | 152 |

| | |
|---|-----|
| Figura 182. <i>Fragmento de botella</i> | 152 |
| Figura 183. <i>Fragmento de plato</i> | 153 |
| Figura 184. <i>Fragmento de molde</i> | 153 |
| Figura 185. <i>Fragmento de cántaro</i> | 154 |
| Figura 186. <i>Fragmento de cántaro</i> | 154 |
| Figura 187. <i>Fragmento de botella</i> | 155 |
| Figura 188. <i>Arquitectura del sector C, vista este</i> | 156 |
| Figura 189. <i>Imagen en 3D de la arquitectura en la parte baja</i> | 156 |
| Figura 190. <i>Medidas de los muros identificados</i> | 157 |
| Figura 191. <i>Detalle de la altura de los muros</i> | 157 |
| Figura 192. <i>Vista lateral de la arquitectura</i> | 158 |
| Figura 193. <i>Uso de los muros por parte de los pobladores</i> | 158 |
| Figura 194. <i>Detalle del uso de adobes en las construcciones actuales</i> | 159 |
| Figura 195. <i>Detalle del interior de los muros</i> | 159 |
| Figura 196. <i>Petroglifo en la cima del sector</i> | 160 |
| Figura 197. <i>Recreación digitalizada del petroglifo</i> | 160 |
| Figura 198. <i>Viruta de cobre arsenical</i> | 161 |
| Figura 199. <i>Muestra de material lítico</i> | 161 |
| Figura 200. <i>Muestras de material Malacológico</i> | 162 |
| Figura 201. <i>Muestra de Spondylus</i> | 162 |
| Figura 202. <i>Fragmento de cántaro</i> | 163 |
| Figura 203. <i>Fragmento de plato</i> | 163 |
| Figura 204. <i>Fragmento de olla</i> | 164 |
| Figura 205. <i>Fragmento de olla</i> | 164 |
| Figura 206. <i>Fragmento de olla</i> | 165 |
| Figura 207. <i>Fragmento de cántaro</i> | 165 |
| Figura 208. <i>Fragmento de tinaja</i> | 166 |

| | |
|--|-----|
| Figura 209. <i>Fragmento de olla</i> | 166 |
| Figura 210. <i>Crisol</i> | 167 |
| Figura 211. <i>Fragmento de cántaro</i> | 167 |
| Figura 212. <i>Fragmento de botella</i> | 168 |
| Figura 213. <i>Fragmento de olla</i> | 168 |
| Figura 214. <i>Fragmento de figurina</i> | 169 |
| Figura 215. <i>Fragmento de olla</i> | 169 |
| Figura 216. <i>Fragmento de olla</i> | 170 |
| Figura 217. <i>Fragmento de botella</i> | 170 |
| Figura 218. <i>Fragmento no determinado (ND)</i> | 171 |
| Figura 219. <i>Fragmento de olla</i> | 171 |
| Figura 220. <i>Fragmento de cántaro</i> | 172 |
| Figura 221. <i>Fragmento de olla</i> | 172 |
| Figura 222. <i>Fragmento de olla</i> | 173 |
| Figura 223. <i>Fragmento de olla</i> | 173 |
| Figura 224. <i>Fragmento de botella</i> | 174 |
| Figura 225. <i>Fragmento de botella</i> | 174 |
| Figura 226. <i>Fragmento de tinaja</i> | 175 |
| Figura 227. <i>Fragmento de olla</i> | 175 |
| Figura 228. <i>Fragmento de olla</i> | 176 |
| Figura 229. <i>Fragmento de botella</i> | 176 |
| Figura 230. <i>Fragmento de cántaro</i> | 177 |
| Figura 231. <i>Fragmento de botella</i> | 177 |
| Figura 232. <i>Fragmento de cántaro</i> | 178 |
| Figura 233. <i>Fragmento de cántaro</i> | 178 |
| Figura 234. <i>Fragmento de rallador</i> | 179 |
| Figura 235. <i>Fragmento de cántaro</i> | 179 |

| | |
|---|-----|
| Figura 236. <i>Ruta de único acceso (señalado en rojo), hacia Cerro Mirador</i> | 180 |
| Figura 237. <i>Límite Norte de Cerro Mirador</i> | 181 |
| Figura 238. <i>Límite Sur de Cerro Mirador</i> | 181 |
| Figura 239. <i>Límite Este de Cerro Mirador</i> | 182 |
| Figura 240. <i>Límite Oeste de Cerro Mirador</i> | 182 |
| Figura 241. <i>Plano Catastral de Cerro Mirador, escala 1/7500</i> | 183 |
| Figura 242. <i>Plano de la poligonal trazada en Cerro Mirador, escala 1/750</i> | 183 |
| Figura 243. <i>Ambos planos de ubicación comparten una misma leyenda</i> | 184 |
| Figura 244. <i>Mosaico de elevación, Cerro Mirador, Agisoft Metashape</i> | 185 |
| Figura 245. <i>Plano de curvas a nivel de Cerro Mirador, escala 1/1250</i> | 185 |
| Figura 246. <i>Sectorización Cerro Mirador, Autocad Civil 3D</i> | 186 |
| Figura 247. <i>Reconocimiento y tendido de hilo</i> | 187 |
| Figura 248. <i>Detalle de colocación de estaca en el centro de la poligonal</i> | 187 |
| Figura 249. <i>Proceso de medición a los fragmentos de cerámica</i> | 188 |
| Figura 250. <i>Proceso de pesado a los fragmentos de cerámica</i> | 188 |
| Figura 251. <i>Detalle de los muros, presencia de cerámica en su construcción</i> | 189 |
| Figura 252. <i>Fragmento de olla</i> | 190 |
| Figura 253. <i>Fragmento de cuenco</i> | 190 |
| Figura 254. <i>Fragmento de tinaja</i> | 191 |
| Figura 255. <i>Fragmento de plato</i> | 191 |
| Figura 256. <i>Fragmento de botella</i> | 192 |
| Figura 257. <i>Fragmento de olla</i> | 193 |
| Figura 258. <i>Fragmento de olla</i> | 193 |
| Figura 259. <i>Fragmento de cántaro</i> | 194 |
| Figura 260. <i>Fragmento de plato</i> | 194 |
| Figura 261. <i>Fragmento de cántaro</i> | 195 |
| Figura 262. <i>Fragmento de olla</i> | 196 |

| | |
|---|-----|
| Figura 263. <i>Fragmento de cántaro</i> | 196 |
| Figura 264. <i>Fragmento de tinaja</i> | 197 |
| Figura 265. <i>Fragmento de olla</i> | 197 |
| Figura 266. <i>Fragmento de plato</i> | 198 |
| Figura 267. <i>Fragmento de olla</i> | 198 |
| Figura 268. <i>Fragmento de cántaro</i> | 199 |
| Figura 269. <i>Muestra del material lítico</i> | 199 |
| Figura 270. <i>Muestra de Spondylus</i> | 200 |
| Figura 271. <i>Muestra de caracol (Thais haemastoma)</i> | 200 |
| Figura 272. <i>Muestra de Donax obesulus</i> | 200 |
| Figura 273. <i>Fragmento de cuenco</i> | 201 |
| Figura 274. <i>Fragmento de olla</i> | 202 |
| Figura 275. <i>Fragmento de plato</i> | 202 |
| Figura 276. <i>Fragmento de olla</i> | 203 |
| Figura 277. <i>Fragmento de olla</i> | 203 |
| Figura 278. <i>Fragmento de botella</i> | 204 |
| Figura 279. <i>Fragmento de tinaja</i> | 204 |
| Figura 280. <i>Fragmento de botella</i> | 205 |
| Figura 281. <i>Ruta de acceso libre (señalado en rojo), hacia Cerro Gallinazo</i> | 206 |
| Figura 282. <i>Límite Norte de Cerro Gallinazo</i> | 206 |
| Figura 283. <i>Límite Sur de Cerro Gallinazo</i> | 207 |
| Figura 284. <i>Límite Este de Cerro Gallinazo</i> | 207 |
| Figura 285. <i>Límite Oeste de Cerro Gallinazo</i> | 208 |
| Figura 286. <i>Plano Catastral de Cerro Gallinazo, escala 1/7500</i> | 208 |
| Figura 287. <i>Plano de la poligonal trazada en Cerro Gallinazo, escala 1/750</i> | 209 |
| Figura 288. <i>Ambos planos de ubicación comparten una misma leyenda</i> | 209 |
| Figura 289. <i>Mosaico de elevación, Cerro Gallinazo, Agisoft Metashape</i> | 210 |

| | |
|--|-----|
| Figura 290. <i>Plano de curvas a nivel de Cerro Gallinazo, escala 1/1000</i> | 211 |
| Figura 291. <i>Sectorización Cerro Gallinazo</i> | 211 |
| Figura 292. <i>Reconocimiento de Cerro Gallinazo</i> | 213 |
| Figura 293. <i>Detalle del punto de colocación de estacas</i> | 213 |
| Figura 294. <i>Proceso del tendido de hilo</i> | 214 |
| Figura 295. <i>Proceso de limpieza de material encontrado</i> | 214 |
| Figura 296. <i>Proceso de toma de medidas a los fragmentos</i> | 215 |
| Figura 297. <i>Vista del soporte sobre la cima de Cerro Gallinazo</i> | 215 |
| Figura 298. <i>Detalle del petroglifo</i> | 216 |
| Figura 299. <i>Recreación digitalizada del petroglifo</i> | 216 |
| Figura 300. <i>Fragmento de cántaro</i> | 217 |
| Figura 301. <i>Fragmento de olla</i> | 217 |
| Figura 302. <i>Muestra de material lítico</i> | 218 |
| Figura 303. <i>Muestra malacológica de <i>Donax obesulus</i></i> | 218 |
| Figura 304. <i>Fragmento de plato</i> | 219 |
| Figura 305. <i>Fragmento de tinaja</i> | 219 |
| Figura 306. <i>Fragmento de olla</i> | 220 |
| Figura 307. <i>Fragmento de olla</i> | 220 |
| Figura 308. <i>Fragmento de olla</i> | 221 |
| Figura 309. <i>Fragmento de olla</i> | 221 |
| Figura 310. <i>Fragmento de tinaja</i> | 222 |
| Figura 311. <i>Fragmento de tinaja</i> | 223 |
| Figura 312. <i>Fragmento de olla</i> | 223 |
| Figura 313. <i>Fragmento de figurina</i> | 224 |
| Figura 314. <i>Fragmento de olla</i> | 224 |
| Figura 315. <i>Fragmento de cántaro</i> | 225 |
| Figura 316. <i>Fragmento de olla</i> | 225 |

| | |
|---|-----|
| Figura 317. <i>Fragmento de olla</i> | 226 |
| Figura 318. <i>Fragmento de olla</i> | 227 |
| Figura 319. <i>Fragmento de cántaro</i> | 227 |
| Figura 320. <i>Fragmento de olla</i> | 228 |
| Figura 321. <i>Fragmento de olla</i> | 228 |
| Figura 322. <i>Leyenda utilizada en la identificación de cerámica</i> | 229 |
| Figura 323. <i>Porcentajes de material identificado</i> | 230 |
| Figura 324. <i>Porcentajes de fragmentos de cerámica diagnóstica identificado</i> | 231 |
| Figura 325. <i>Cantidad de tipos de decoración</i> | 232 |
| Figura 326. <i>Porcentajes de material identificado</i> | 233 |
| Figura 327. <i>Porcentajes de cerámica diagnóstica identificado</i> | 234 |
| Figura 328. <i>Cantidad de tipos de decoración</i> | 235 |
| Figura 329. <i>Porcentajes de material identificado</i> | 237 |
| Figura 330. <i>Porcentajes de cerámica diagnóstica identificado</i> | 238 |
| Figura 331. <i>Cantidad de tipos de decoración</i> | 239 |
| Figura 332. <i>Porcentajes de material identificado</i> | 240 |
| Figura 333. <i>Porcentajes de cerámica diagnóstica identificado</i> | 241 |
| Figura 334. <i>Cantidad de tipos de decoración</i> | 242 |
| Figura 335. <i>Porcentajes comparativos de los sitios prospectados</i> | 244 |
| Figura 336. <i>Porcentajes comparativos de cerámica diagnóstica</i> | 245 |
| Figura 337. <i>Porcentajes comparativos de material lítico</i> | 246 |
| Figura 338. <i>Porcentajes comparativos de material malacológico</i> | 247 |

ÍNDICE DE TABLA

| | |
|--|------------|
| Tabla 1. <i>Detalle de coordenadas tomadas en los puntos de control, Cerro Pulato.....</i> | 97 |
| Tabla 2. <i>Detalle de coordenadas tomadas en los puntos de control, Huaca Los Chinos... </i> | 98 |
| Tabla 3. <i>Detalle de coordenadas tomadas en los puntos de control, Cerro Mirador.</i> | 100 |
| Tabla 4. <i>Detalle de coordenadas tomadas en los puntos de control, Cerro Gallinazo. ...</i> | 101 |
| Tabla 5. <i>Coordenadas de los vértices del Cerro Pulato.</i> | 107 |
| Tabla 6. <i>Coordenadas de vértices de las líneas trazadas en la sectorización de Cerro Pulato.</i> | 108 |
| Tabla 7. <i>Coordenadas de los vértices de Huaca Los Chinos.</i> | 133 |
| Tabla 8. <i>Coordenadas de vértices de las líneas trazadas en la sectorización de Huaca los Chinos.</i> | 135 |
| Tabla 9. <i>Coordenadas de los vértices de Cerro Mirador.....</i> | 184 |
| Tabla 10. <i>Coordenadas de vértices de las líneas trazadas en la sectorización de Cerro Mirador.....</i> | 186 |
| Tabla 11. <i>Coordenadas de los vértices de Cerro Gallinazo.</i> | 210 |
| Tabla 12. <i>Coordenadas de vértices de las líneas trazadas en la sectorización de Cerro Gallinazo.</i> | 212 |
| Tabla 13. <i>Material identificado en Cerro Pulato.</i> | 229 |
| Tabla 14. <i>Distintas formas identificadas en Cerro Pulato.</i> | 230 |
| Tabla 15. <i>Distintos tipos de decoración identificados en Cerro Pulato.</i> | 231 |
| Tabla 16. <i>Fragmentos de cerámica asociada a una filiación cultural.....</i> | 232 |
| Tabla 17. <i>Material identificado en Huaca Los Chinos.</i> | 233 |
| Tabla 18. <i>Distintas formas identificadas en Huaca Los Chinos.</i> | 234 |
| Tabla 19. <i>Distintos tipos de decoración identificados en Huaca Los Chinos.</i> | 235 |
| Tabla 20. <i>Cerámica asociada a una filiación cultural.</i> | 236 |
| Tabla 21. <i>Material identificado en Cerro Mirador.</i> | 236 |
| Tabla 22. <i>Distintas formas identificadas en Cerro Mirador.</i> | 237 |

| | |
|--|-----|
| Tabla 23. <i>Distintos tipos de decoración identificados en Cerro Mirador.</i> | 238 |
| Tabla 24. <i>Cerámica asociada a una filiación cultural.</i> | 239 |
| Tabla 25. <i>Material identificado en Cerro Gallinazo.</i> | 240 |
| Tabla 26. <i>Distintas formas identificadas en Cerro Gallinazo.</i> | 241 |
| Tabla 27. <i>Distintos tipos de decoración identificados en Cerro Gallinazo.</i> | 242 |
| Tabla 28. <i>Cerámica asociada a una filiación cultural.</i> | 243 |
| Tabla 29. <i>Cantidad general y porcentajes por lugar prospectado.</i> | 243 |
| Tabla 30. <i>Cantidad general y porcentajes de cerámica diagnóstica.</i> | 244 |
| Tabla 31. <i>Cerámica diagnóstica con filiación cultural determinada.</i> | 245 |
| Tabla 32. <i>Cantidad general y porcentajes de material lítico</i> | 246 |
| Tabla 33. <i>Cantidad general y porcentajes de material malacológico.</i> | 247 |

RESUMEN

La investigación presentada, aborda una problemática en torno a las evidencias arqueológicas existentes en la zona oriental del distrito de Pátapo, valle medio Chancay – Lambayeque. Presentando como objetivo principal determinar los restos arqueológicos encontrados en superficie, como parte de la prospección que abarca los siguientes sitios; Huaca Los Chinos; cerro Mirador, Gallinazo y Pulato. La investigación está orientada al registro de las evidencias culturales, realizando un estudio descriptivo simple, no experimental, sistematizando evidencias arqueológicas a través del reconocimiento e identificación del material cultural; teniendo como sustento teórico el uso de la arqueología espacial. Producto de la investigación en los cuatro sitios prospectados se presentó evidencias de fragmentos de cerámica, restos malacológicos, líticos, arquitectura y petroglifos. Se presentan fragmentos de cerámica del Periodo Formativo, con mayor presencia del Periodo Intermedio Tardío (Filiación Lambayeque y Chimú), lo que sugiere que estos sitios tuvieron un vínculo administrativo y político vinculado a cerro Pátapo.

Palabras clave: Prospección, restos malacológicos, evidencias arqueológicas, petroglifos.

ABSTRACT

The research presented addresses an issue surrounding the archaeological evidence found in the eastern part of the district of Pátapo, in the middle Chancay-Lambayeque valley. Its main objective is to identify the archaeological remains found on the surface as part of the survey covering the following sites: Huaca Los Chinos, Cerro Mirador, Gallinazo, and Pulato. The research is focused on recording cultural evidence, conducting a simple, non-experimental descriptive study, systematizing archaeological evidence through the recognition and identification of cultural material, with the use of spatial archaeology as its theoretical basis. The research at the four surveyed sites yielded evidence of ceramic fragments, malacological and lithic remains, architecture, and petroglyphs. Pottery fragments from the Formative Period are presented, with a greater presence from the Late Intermediate Period (Lambayeque and Chimú affiliations), suggesting that these sites had an administrative and political link to Cerro Pátapo.

Keywords: Prospecting, malacological remains, archaeological evidence, petroglyphs.

INTRODUCCIÓN

La prospección arqueológica ha venido en una crecida constante en términos teóricos y metodológicos; la evolución se ha visto desde los inicios teóricos de la arqueología y los avances tecnológicos. Tendremos un panorama de las prospecciones realizadas en el mundo, para ello mostraremos diferentes casos. En la zona del golfo pérsico; Moghaddam (2016), realizó un proyecto en el valle de Zohreh, su objetivo fue desarrollar una prospección arqueológica completa del valle, empleando varias técnicas como el levantamiento topográfico, levantamiento geofísico, análisis de imágenes satelitales, mapeo y recolección de materiales superficiales.

En la zona de Europa; Para los alemanes la exploración de yacimientos arqueológicos mediante métodos geofísicos se ha transformado en un importante campo de la investigación. Por ello, Fassbinder (2017), mencionó que los estudios magnetométricos proporcionan planos precisos de asentamientos, ciudades, estructuras monumentales y los elementos de construcción. En España la prospección arqueológica Lull (1991), sirvió de base para los cambios teóricos posteriores en los estudios andinos; paso del simple hecho de localizar yacimientos a integrar el análisis espacial, los paisajes arqueológicos; interesándose no solo de la localización de los yacimientos sino también de la descripción del entorno de los mismos.

En el caso de África; Thabeng et al. (2019), realizó una prospección arqueológica al sitio Shashi-Limpopo, ubicado al sur de África. Su objetivo es probar la viabilidad de detectar sitios arqueológicos directamente, evaluar la contribución de nuevas bandas de satélites. El método utilizado fueron las imágenes de satélite VHR (Very High Resolution) y algoritmos de clasificación avanzada RF (Random Forest) y SVM (Support vector machine).

En Estados Unidos de Norteamérica; Kvamme (2008), realizó una prospección al sitio Histórico Estatal Doble Ditch, ubicado en las llanuras de Dakota del Norte en Estados Unidos. Su objetivo fue comprender la naturaleza dimensional de los asentamientos complejos, para ello utilizó un reconocimiento aéreo desde un paracaídas motorizado complementándolo con la gradiometría magnética, dando como resultado imágenes digitales en alta resolución.

En el caso de América del sur, se presenta los estudios de Carretero y Samaniego (2017), realizó una prospección arqueológica en el cerro Collay ubicado en la cuenca del río Chico en Argentina, documentando cerámica del estilo Puruhá, Cañari y Costeña; Santiago, et al. (2007), haciendo uso de un método que busco información geológica y cartográfica del sitio, fotografías áreas que se han tomado de prospecciones anteriores y por último trazar sectores. Actualmente en Chile, los trabajos de prospección componen una de las actividades más usadas al momento de planificar diferentes proyectos de investigación. Munita, et al. (2010), implementó un modelo de prospección terrestre, utilizando como método los SIG (Sistema de información geográfica).

La prospección, hasta los años 80 eran considerados como el simple hecho de búsqueda de yacimientos, aportando no mucho más que un acercamiento de datos y la localización de sitios arqueológicos. Presentándose una escasa valoración y jugando un papel secundario, subordinado a la excavación del yacimiento Ruiz (1988), considerada como un aporte escaso académicamente hablando y siendo incluso un aporte hecho por aficionados y no profesionales.

Sin lugar a duda en el campo de la arqueología, la práctica de la prospección constituye una actividad de índole fundamental, permitió abordar distintas cuestiones de la investigación científica. Como ya se definió el aumento de trabajos a partir de la década de los ochenta, supuso un avance cualitativo importante respecto a la naturaleza y volumen de los documentos arqueológicos. Las tendencias a partir de los nuevos aportes a la prospección arqueológica, nos muestra con buenos ojos los avances en el campo teórico y metodológico a partir de los buenos precedentes realizados en temas de prospección.

En lo que respecta a determinar algunos factores y destacar la importancia de la prospección; es necesario mencionar a Cerrato (2011); quien se refirió acerca de la importancia de la localización de evidencias de actividad humana. Se tienen pues así factores que condicionan en la elección del lugar a prospectar, dos puntos importantes previos a esto; el factor material y la información previa del sitio; siendo factores a visitar y analizar previamente las condiciones del sitio elegido.

En cuanto a la ubicación de la zona de investigación; nos referimos a la localidad de Pátapo, fue creado mediante Ley como el distrito de Pátapo, durante el mandato de Alberto Fujimori en el año 1998, se encuentra ubicado en la parte sureste del departamento de Lambayeque, siendo uno de los veinte distritos parte de la jurisdicción de Chiclayo, con un

espacio de 182.81 km², altura de 78 m.s.n.m. Tiene por límites al norte a Manuel Mesones Muro (jurisdicción de Ferreñafe), al sur (jurisdicción de Pucalá), este (jurisdicción de Chongoyape) y oeste (jurisdicción de Tumbay). La zona a prospectar se ubica entre los ejes noreste y sureste de la parte oriental de Pátapo, comprendiendo un área de 17 hectáreas; dentro de las cuales se encuentran cuatro Sitios Arqueológicos; Huaca los Chinos, cerro Mirador, Gallinazo y Pulato.

Presentándose como problema que las investigaciones arqueológicas en la región Lambayeque se centraron en su mayoría en los complejos arqueológicos, dejando de lado las evidencias de los cerros y huacas que lo rodean; es así que para esta parte de promontorios rocosos menores de la zona oriental y parte de cerro Pátapo, no se tiene un claro panorama de identificación de materiales culturales en estos sitios arqueológicos, presentando errores en su denominación, no siendo descritos dentro del panorama; pese a las estructuras y la gran diversidad de material en superficie, como lo es el número de fragmentos de cerámica, restos malacológicos, líticos, petroglifos y estructuras arquitectónicas en las distintas Huacas y cerros del distrito de Pátapo.

La ubicación de los sitios en relación al río, la existencia de construcciones, los campos de cultivo que fueron irrigados por canales secundarios, siendo el principal el canal Taymi; la presencia de la cadena montañosa, donde las huacas se ubican de manera estratégica, el control y uso de los espacios, la temporalidad, así como el empleo de recursos; en consecuencia, poder brindar un acercamiento de relación entre los sitios arqueológicos de la zona oriental, respecto a cerro Pátapo – Sinto.

Así la investigación planteó como formulación del problema: ¿Cuáles son las evidencias arqueológicas existentes en la zona oriental del distrito de Pátapo, como parte de la prospección, en la parte media del valle Chancay – Lambayeque, en la provincia de Chiclayo? Para ello se propuso como hipótesis, la prospección arqueológica en la zona oriental del distrito de Pátapo, presenta una ocupación intensiva del Periodo Intermedio Tardío; se muestra evidencias de bienes inmuebles, como arquitectura del tipo administrativa (depósitos, muros trapezoidales) y petroglifos, así como bienes muebles, incluyendo fragmentos de cerámica doméstica (Ollas, cuenco, platos, tinajas), restos malacológicos y restos líticos, que reflejan el control y almacenamiento de recursos, vínculo político y administrativo que mantenía con Cerro Pátapo, para la concreción de la referida hipótesis se propuso como objetivo general, Determinar los restos arqueológicos encontrados en

superficie, como parte de la prospección en la zona oriental del distrito de Pátapo, parte media del valle Chancay – Lambayeque, concretar el objetivo general, se sustenta en los siguientes objetivos específicos, Reconocer el escenario geo cultural a través de la prospección arqueológica en la zona oriental del distrito de Pátapo, provincia de Chiclayo, departamento de Lambayeque e identificar el material cultural a partir de la prospección arqueológica en la zona oriental del distrito de Pátapo, provincia de Chiclayo, departamento de Lambayeque.

La investigación está desarrollada a través de cuatro capítulos, el primer capítulo abordamos el diseño teórico, en el segundo se abordó el diseño metodológico, en el tercer capítulo se tratará acerca de los resultados, el cuarto capítulo trata acerca de la discusión de resultados obtenidos como producto de la prospección arqueológica, terminando con las conclusiones, las referencias y los anexos correspondientes.

CAPÍTULO I. DISEÑO TEÓRICO

En el presente capítulo se abordaron los antecedentes, enfocándose en los estudios relacionados a la prospección en diversos contextos a nivel mundial, así mismo se describe las bases teóricas centrándose en la arqueología del análisis espacial. Posteriormente se detallaron las bases conceptuales que se han ido abordando en la investigación como prospección arqueológica, reconocimiento arqueológico, sectorización, levantamiento topográfico, entre otros. Finalmente, se presenta el cuadro de operacionalización de variables en donde se destaca la variable, las dimensiones, las categorías y los indicadores.

1.1. Antecedentes.

1.1.1. Prospección en Europa.

Ruiz (2004), mencionó que la arqueología española en los años setenta solo le interesaba excavar, pero esto cambió con el surgimiento de nuevos investigadores que proponían nuevos enfoques teóricos, ingresando la prospección superficial, donde la geografía juega un rol importante en el entendimiento de la dinámica de las ocupaciones humanas. Donde la prospección no la ven de una manera simple si no en su totalidad con los enfoques espaciales y la arqueología del paisaje.

Pueyo et al. (2005), aplicó una prospección geofísica al convento agustino, que está ubicado en el poblado de Fraga (Huesca). Su objetivo es delimitar y caracterizar estructuras arqueológicas en el monasterio Agustino de Fraga. Su método fue usar un georradar, este método ayuda a localizar estructuras arqueológicas y delimitar sectores antes de las labores de excavación.

En el caso de Francia; presenta otro tipo de metodología que utilizan en la prospección; Tenemos el estudio Djindjian (2017), mencionó la utilización del muestreo en la prospección arqueológica, para ello se tiene que realizar simulaciones sobre datos considerados exhaustivos (mapas de yacimientos arqueológicos, distribución espacial de estructuras y artefactos).

1.1.2. Prospección en Norteamérica.

Batayneh, (2011), resalta la importancia de la prospección geofísica y su capacidad de localizar evidencias culturales enterradas de forma no destructiva, menciona las técnicas geofísicas más utilizadas, como la magnetometría, GPR (Ground penetrating radar), resistividad eléctrica, el magnetismo y el georradar. Estas técnicas son muy beneficiosas en la detección de estructuras superficiales y se pueden utilizar en diferentes contextos arqueológicos, considerando las limitaciones técnicas y económicas de utilizar estas herramientas.

Trinks et al. (2012), mencionó la importancia del Instituto Ludwig Boltzmann de prospección arqueológica y arqueología virtual, tiene la función de desarrollar técnicas novedosas y conceptos metodológicos para la arqueología combinándolos con la geofísica, informática, geología. La prospección arqueológica ha tenido una mejora con la introducción de tecnologías sofisticadas como el escaneo láser aéreo, el método magnético GPR (Ground penetrating radar), fotografía por teledetección.

1.1.3. Prospección en Sudamérica.

Rivolta (2005), presenta los resultados obtenidos de la prospección arqueológica realizada en el yacimiento Los Cardones, es una quebrada ubicada en la parte oriental del Valle Yocavil, provincia de Catamarca en Argentina; los objetivos de esta investigación fueron estimar el tamaño, tipo y distribución de los yacimientos. La metodología utilizada fue hacer relevamientos planimétricos, topográficos, recolección de material superficial con el fin de realizar una tipología.

Patané (2013), realizó una prospección al yacimiento Salinas Grandes ubicado en el departamento La Poma, provincia de Salta en Argentina, los objetivos para esta investigación fueron presentar un extracto de los resultados obtenidos de la investigación. Su metodología se basó en una prospección superficial conformado por transectos adecuándolo a la geomorfología del terreno, para recorrer los sectores se utilizó una prospección de tipo extensiva.

1.1.4. Prospección en los andes centrales.

Giersz (2017), realizó un proyecto de investigación en el sitio arqueológico de Huarney ubicado en Ancash, donde participaron especialistas polacos provenientes de la Universidad de Varsovia. Llevaron a cabo una prospección arqueológica, utilizando métodos no destructivos: mapeo con GPS, fotogrametría aérea, estación total robotizada, gradiometría de saturación.

Ríos y Piscitelli (2018), ejecutaron una prospección en el sitio arqueológico Caballete ubicado en el departamento de Lima, los objetivos de esta investigación es identificar y reconocer la arquitectura ceremonial mediante la utilización de técnicas geofísicas y teledetección. Para ello, se emplearon equipos como el georradar, el magnetómetro, adicional emplearon fotografías manuales combinándolo con el software Agisoft Photoscan generaron modelos digitales en 3D de muy buena resolución.

1.1.5. Prospección en la costa norte del Perú.

Bast (1991), realizó una prospección sistemática en el valle bajo de Yapatera en el Alto Piura, los objetivos de esta investigación es desarrollar un método para el material cerámico encontrado en superficie y caracterizar la ocupación humana del valle bajo de Yapatera. Su metodología se basó en buscar información cartográfica del sitio y las fotografías aéreas aportadas por la F.A.P.

Alva (2013), se registró la primera prospección con georradar hecha por el italiano Nicola Massini al conjunto arenal, que está ubicado al oeste del cerro Ventarrón. Después de realizar el sondeo la máquina detectó sistemas de terrazas junto con plataformas que corresponderían al Formativo Inicial.

1.1.6. Prospecciones realizadas en la zona de estudio.

Como antecedentes primero encontramos referencias sobre Pátapo por parte del cronista Xerez (1985), describió construcciones durante las expediciones de los españoles, la presencia de Pizarro en las reparticiones en esta zona por el año de 1540, haciendo mención de un descanso de las huestes en el sitio llamado Sinto, encontrándose murallas, en lo que fuera el Tambo de Posope.

Posteriormente los estudios monográficos de Brüning (1922), donde trata el origen y fundación del antiguo Lambayeque. Brüning nos dice: “Frente a la casa de la hacienda Pátapo, sobre la margen derecha del Taimi, existen una cadena de cerros; al pie de los cuales se encuentran ruinas de una población antigua”.

Hyslop (1992), reconoció un alineamiento de piedras en el transcurso de Tambo Real y Tambo de Posope, cita a Kosok respecto a la asociación de la cerámica hallada con ocupaciones Chimú e Inca, proponiendo que estas construcciones fueron hechas en ocupaciones pre Incas y no planeados por ellos.

Kosok (1959), realizó investigaciones sobre los sistemas hidráulicos de la costa norte, siendo su objetivo estudiar el valle de Lambayeque. Kosok categoriza a Pátapo (Cinto) como un centro secular de primera categoría, constituyendo un centro de control para la irrigación entre valles.

Zevallos (1995) realizó un estudio histórico de Pátapo, resaltando la presencia de diversas etnias en este espacio cultural y en distintos tiempos que abarcaron desde el formativo hasta la incorporación del antiguo Sinto al imperio Inca y posterior invasión española, de la colonia europea.

Tschauner (2001) mencionó al cerro Pátapo como un sitio administrativo Chimú, teniendo una organización política bien estructurada y su ubicación estratégica hace del sitio que sea uno de los más importantes del valle. Para la costa norte, la ocupación Chimú se caracterizó por construir estructuras arquitectónicas al margen del valle, sugiriendo una relación fuertemente con el Canal Taymi y siendo este de interés primordial para la sociedad Chimú.

Fernández (2004), brindó una visión arqueológica e histórica del sitio Sinto. Siendo una de las investigaciones más completas del sitio, abarcando desde los prehispánico hasta la actualidad del sitio. Documento evidencias existentes que pertenecen a ocupaciones Mochica, Lambayeque y Chimú, ubicadas en Huaca Los Chinos, cerro Pátapo y cerro Mirador, siendo este último donde no se reportó presencia Chimú.

Canziani (2009), señaló el estilo arquitectónico de los complejos político-administrativos y su separación del resto de la ciudad, así como los datos arqueológicos y etnohistóricos, sugieren que la sociedad Chimú era una organización social dividida en diferentes clases con claras distinciones sociales. Como ya se ha mencionado, estos complejos de élite debían cumplir no sólo posibles funciones residenciales, sino también una amplia gama de actividades sociales y administrativas. Esto puede verse en los numerosos complejos que sólo tienen espacios visuales y de almacenamiento.

Mackey (2013), mencionó las estrategias administrativas de las élites Chimú, donde destacan provincias anexadas como, Farfán, Manchan y Túcume, ubicadas en los valles de Jequetepeque, Casma y la Leche respectivamente. Asimismo, resalta la reutilización de centros Lambayeque como Pátapo y la importancia de este sitio por su cercanía al canal Taymi.

Shimada (2014), señaló que los canales Taymi y Racarumi fueron importantes para el manejo del valle de Lambayeque, llegando así una unificación total, siendo un claro ejemplo de desarrollo y expansión reflejado en la arquitectura. Dentro de la arquitectura existen espacios con funciones específicas tales como los centros ceremoniales. Estos pueden ser observados desde el punto de vista arquitectónico como una relación simbólica o la materialización de la geografía social.

Bracamonte (2015), señaló que el valle Chancay-Lambayeque está compuesto por tres grandes secciones: la parte alta, media y baja. La sección baja se trata de un extenso y fértil territorio dedicado a la agricultura y al urbanismo. Tenemos las ciudades de Lambayeque, Reque, Eten, Chiclayo, Monsefú, Pomalca y Santa Rosa. En la sección media hay presencia de médanos, afloramiento rocoso, gran parte de la superficie es fértil y ha sido empleado para la agricultura. Se han asentado centros poblados como Pátapo, Zaña, Picsi, Pomalca, Pucalá y Tumán. En la sección alta aparece un relieve bastante escarpado y un valle estrecho, pese al limitado tamaño del terreno cultivable, todo el valle es aprovechado para campos de cultivo y asentamientos de pequeños pueblos pertenecientes a la jurisdicción de Chongoyape.

Chero (2020), mencionó la importancia que cobra Saltur durante el Periodo Intermedio Tardío, los denominados complejos rectangulares, situados en la parte baja septentrional del cerro, daban acceso directo a las zonas más ricas del valle Chancay - Lambayeque. Concentrando una población con suficiente poder sociopolítico y replicando las características arquitectónicas de los centros provinciales Chimú. La alta productividad económica del valle y su posición estratégica les daban acceso directo a las rutas de tránsito más convenientes del valle de Zaña.

1.2. Bases teóricas.

La investigación se enmarcó bajo la dirección de efectuar el reconocimiento y registro de evidencias arqueológicas en la zona oriental de Pátapo, en tal sentido, se menciona a continuación el criterio teórico en los cuales se cimentará la investigación.

1.2.1. La prospección.

En cuanto a la variable de prospección; estamos frente a una estrategia de carácter no destructivo, la cual permite recolectar datos importantes en distintas escalas; teniendo en cuenta tres factores como la estimación, evaluación e interpretación del material arqueológico. Prestando mayor importancia para la localización de yacimientos y el material cultural en los mismos (Schiffer et al., 1978).

Respecto a la planificación en una prospección está recurre a responder a tres cuestiones básicas: qué prospectamos, donde prospectamos, y cómo prospectamos; preguntas que son claves a la hora de una investigación. La prospección realizada, independiente de los objetivos enmarcados, requiere una metodología exacta, orientada a resolver las dudas y relacionado a las necesidades de nuestra investigación. Debemos resaltar que es necesario un plan de prospección fiables y que reúnan los requisitos, coordinado con las características del sitio, la pregunta de nuestra investigación y los recursos a utilizar; por lo tanto, debemos ser conscientes de la toma de decisiones, identificando las lagunas y los errores causados por las mismas, permitiendo una corrección a tiempo y así encaminar nuestra investigación (Chapa et al., 2003).

Adicional a esto se debe considerar a la prospección como una exploración, siendo parte del procedimiento adecuado para registrar y situar sitios arqueológicos,

mediante la observación en superficie; ofreciendo detalles de localización, condición y ocupación; un punto importante es el detalle en las descripciones, levantamiento topográfico y gráficos son la base sobre la cual se alcanza a elaborar conceptos y análisis de mayor relevancia; esto sin la necesidad de una excavación (Ravines, 1989).

Prospección debe ser concebida de forma distinta al trabajo arqueológico, pues significa una aproximación global hacia el yacimiento excavado, dejando de lado la forma de ver un yacimiento aislado y al contrario mostrar la interrelación con su medio geográfico de modo activo y a su vez relacionarlo con una dinámica humana del poblamiento en una determinada zona geográfica.

Avanzando en el tema, el desarrollo metodológico; la prospección superficial, es uno de los métodos más reconocidos al momento de localizar evidencia de actividades humanas (Renfrew & Bahn, 2011), puesto que estos al encontrarse en la superficie son fácilmente de localizar, como la cerámica, restos malacológicos y la arquitectura; al respecto Burillo realiza alcances sobre que la prospección refiere un acercamiento entre el sitio excavado y el entendimiento global de territorio, entendiendo la interrelación con su medio; esto permite ser un sostén entre el análisis del medio geográfico con los sitios excavados y a su vez entender los procesos de interacción del poblamiento humano.

La prospección superficial considerada como un método arqueológico, consiste en una exploración visual de los materiales conservados en la zona, a su vez documentar mediante un método planificado, relacionados a nuestros objetivos trazados. Este tipo de prospección engloba una variedad de técnicas; muestreo de recursos, tanto de origen mineral como natural. A su vez este método ocupa un lugar importante en el quehacer arqueológico y su valor va en aumento dentro del campo de la arqueología; sin embargo, en la actualidad este método debe ir acompañado de un reconocimiento aéreo por Dron, el cual complementa de forma idónea a una prospección superficial.

García (2005) y Cerrato (2011), coinciden que con la invención de la new archaeology la prospección dejó de ser un paso previo a la excavación, sino más bien se habría transformado en una tarea con técnicas y disciplinas diferentes a las de la arqueología convencional. Además, García (2005) y Flors (2009) destacan

que una de las principales ventajas de la prospección es proteger el patrimonio, así como su función base para poder investigar y analizar múltiples aspectos de la vida de las sociedades humanas, tales como las estrategias económicas, territorialidad, ideologías y explicar la distribución espacial de las muestras estudiadas.

Un punto aparte, pero de vital importancia es el enfoque cuantitativo; métodos y técnicas numéricas, mediante la observación y la medición de los conjuntos de análisis, posterior muestreo y análisis estadístico. Utiliza para esto la recolección de datos y su posterior estudio, de la variable e instrumentos de investigación, con el apoyo de la estadística. La aplicación del método científico y métodos específicos rigurosos se afirma como la principal forma de alcanzar conocimientos científicos (Cerdeña, 1997).

Este tipo de enfoque aspira a un control de los factores que sesgan la representatividad de materiales en el registro superficial. Por otro lado, podemos tener una conexión entre la experiencia de este tipo de trabajos con otros contextos geográficos e históricos. Esto supone poner de manifiesto criterios de control estadísticos, mediante muestras aleatorias. Es por ende que esta técnica de muestreo ha tenido una tendencia de generalizarse en las inspecciones de superficie.

1.2.2. La arqueología espacial.

La corriente del “Análisis Espacial en Arqueología”, el cual brinda un balance de la investigación espacial, mencionando tres razones; la primera que no se vea limitada a cumplir sólo los objetivos y métodos; que termina siendo de escasa utilidad para una posterior interpretación; segunda tiene que ver con la subjetividad respecto a la valoración de las distribuciones y la tercera por el manejo de ciertos métodos, respecto a la información sobre las distribuciones (Hodder & Orton, 1990). Tomando previamente las propuestas por Orton y Hodder, Morales hace un análisis sintético de los mismos; cuyo argumento se centra en reconstruir la dimensión espacial de épocas antiguas a través de la materialización y huellas dejados por grupos humanos, de modo en que se encarga de estudiar la interacción del hombre con su espacio geográfico, por medio de sus

asentamientos, usos, significado cultural o ideológico que le asignaron (Morales, 2000, pp. 355 - 368).

La arqueología espacial en la nueva arqueología se basa en la conexión que el hombre expresa con su entorno, esto puede ser favorecedor o en contra de su desarrollo ya que es tanto escenario como obstáculo, crecimiento de intereses, maneras de comunicación, ideologías, etc. Este concepto parte de la necesidad de proceder desde los elementos materiales a una interpretación más complicada (Orejas, 1991).

1.3. Operacionalización o categorización de variables.

| VARIABLE | DIMENSIÓN | INDICADOR | ESCALA DE MEDICIÓN |
|-----------------|------------------|------------------|---------------------------|
| Prospección | | Carta geográfica | Nominal |
| | | Google Earth | |
| | | Fotografía aérea | |
| | Reconocimiento | Sector A | Ordinal |
| | | Sector B | |
| | | Sector C | |
| | | Sector D | |
| | | Territorio | Nominal |
| | | Hidrografía | |
| | | Orografía | |
| | Flora | | |
| | Fauna | | |
| | | Cerámica | |

| | | | |
|--|----------------|-------------------------------|---------|
| | Identificación | Lítico | Nominal |
| | | Malacológicos | |
| | | Metales | |
| | | Morfología de la arquitectura | Nominal |
| | | Técnica constructiva | |
| | | Poligonal | Nominal |
| | | Planos topográficos | |
| | | Coordenadas geográficas | |
| | | Sitio de arte rupestre | Nominal |
| | | Sitio con arquitectura | |
| | | Sitio doméstico | |

1.3.1. Definición conceptual.

- 1) Prospección Arqueológica. “Es el registro corográfico por excelencia, en el que deben acumularse datos que van más allá de la simple exploración superficial de los restos arqueológicos” (Lumbreras, 2005, p. 91).

1.3.2. Definición operacional.

1. Cartografía. “Es la ciencia que estudia los distintos sistemas o métodos para representar sobre un plano una parte o la totalidad de la superficie terrestre” (Santamaría, 2011, p. 11).
2. Levantamiento Topográfico. “Se define como tal el conjunto de operaciones ejecutadas sobre un terreno con los instrumentos adecuados para poder confeccionar una correcta representación gráfica o plano” (Franquet & Querol, 2010, p. 17).
3. Malacología. “Estudia el desarrollo dinámico de la taxonomía del grupo molusco y las relaciones entre éstos con el ambiente y la sociedad” (Gordillo et al., 2013, p. 24).
4. Morfología. “Atributo fundamental que va a determinar la función de la pieza. Para la descripción del objeto es preciso considerar su forma total, recurriendo a las figuras y términos geométricos, evitando así la utilización subjetiva de términos” (Echeverría, 2011, p. 224).
5. Reconocimiento Arqueológico. “Contempla la visita indiscutible al área a investigarse y es imprescindible la realización de diagnósticos bibliográficos completos de la zona” (Echeverría, 2011, p. 119).
6. Registro arqueológico. “Podría definirse como aquellas evidencias manejadas por los arqueólogos en su pretensión por dilucidar las pautas de comportamiento de las sociedades del pasado” (Segura, 2007, p. 45).
7. Sectorización. “Es un proceso mediante el cual se determinan unidades o sectores en los cuales se subdivide el territorio; se identifica a la población que habita en cada uno de ellos y se obtiene una descripción” (Altobelli et al., 2012, p. 15).
8. Técnica constructiva. “Puede ser la conductora de formas arquitectónicas diferentes, el acumulamiento de piezas materiales de igual o diferente tamaño generará resultados diferentes” (Ledezma, 2014, p. 35).

CAPÍTULO II. DISEÑO METODOLÓGICO

Respecto al diseño metodológico, se abarcará los aspectos fundamentales para el desarrollo y validación de los objetivos. Se iniciará con la contrastación de hipótesis, seguido del tipo de investigación, estableciendo la metodología empleada en el estudio; posteriormente se delimitará a la población y la muestra seleccionada, relacionado con los criterios de inclusión y exclusión. Se exponen a su vez las técnicas de recolección de datos aplicadas, así como los instrumentos utilizados. Además, se identifican los equipos y materiales necesarios para llevar a cabo el estudio de manera efectiva, asegurando la fiabilidad de los resultados obtenidos.

2.1. Tipo de investigación

La investigación fue de tipo exploratoria y descriptiva. Exploratoria porque se encarga de los problemas que no han sido estudiados, analizándolos a partir de una perspectiva actualizada, preparan el terreno para estudios posteriores (Hernández, et al., 2014). Es de tipo descriptiva porque consideró al fenómeno estudiado y sus elementos, cuantifican conceptos y delimitan variables (Hernández et al., 2014).

2.2. Diseño de contrastación de hipótesis.

La estrategia para la redacción de contrastación de hipótesis, se refiere a la estrategia para poder obtener la información deseada, que brinde la oportunidad de que nuestra hipótesis pueda ser comprobada, haciendo uso del análisis estadístico para su posterior interpretación. Hernández et al., (2014).

X = SI (Causa).

Y = ENTONCES (Efecto).

Manteniendo el principio de Si, Entonces, la propuesta de contrastación de hipótesis sería la siguiente:

Si las evidencias identificadas en la superficie durante la prospección arqueológica demuestran la existencia de arquitectura administrativa, fragmentos de cerámica, restos malacológicos, restos líticos y petroglifos, entonces, podremos entender la manera por la cual se relacionaban entre sí los sitios arqueológicos en el distrito de Pátapo.

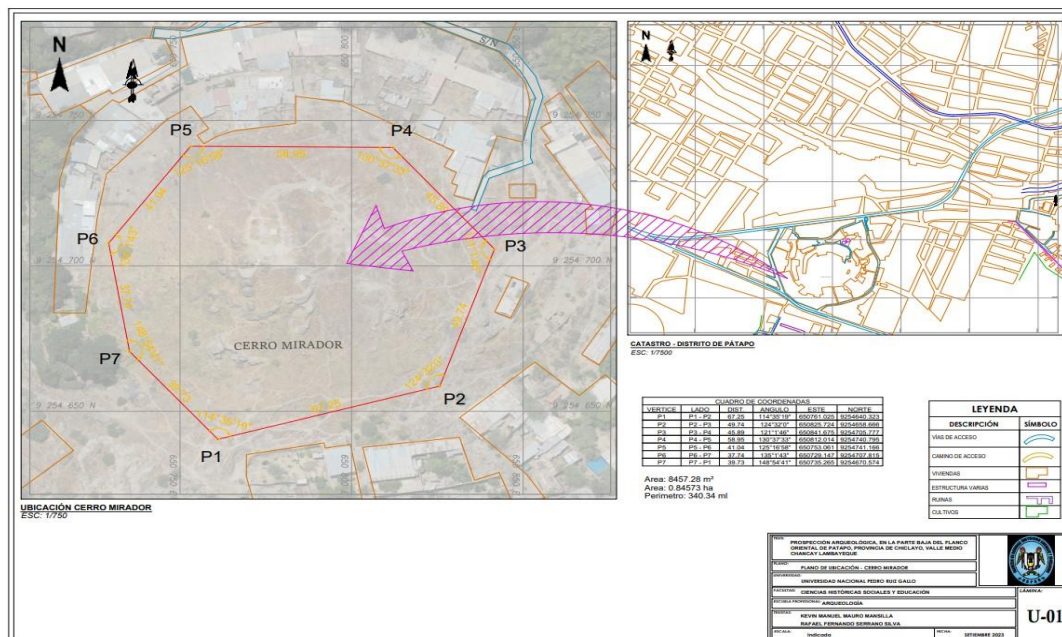
2.3. Procedimiento a seguir en la investigación

A. Fuentes escritas: Por parte de Muñoz (1998), se toma lo propuesto en torno a la aplicación de estudios exploratorios, recopilar información a partir de fuentes escritas y análisis de documentos. Es necesario dejar en claro que se tomaron los procedimientos de distintos autores y se adaptaron a la realidad de la investigación.

B. Investigación en campo: Se iniciará con la categoría de Mapeo, el análisis de los planos y mapas de la zona a prospectar (Figura 1), esto tomando lo propuesto por Cerrato (2011) y García (2005), estos mapas nos permitirán conocer la geografía y las construcciones que presenta la zona.

Figura 1

Plano y mapa de cerro Mirador



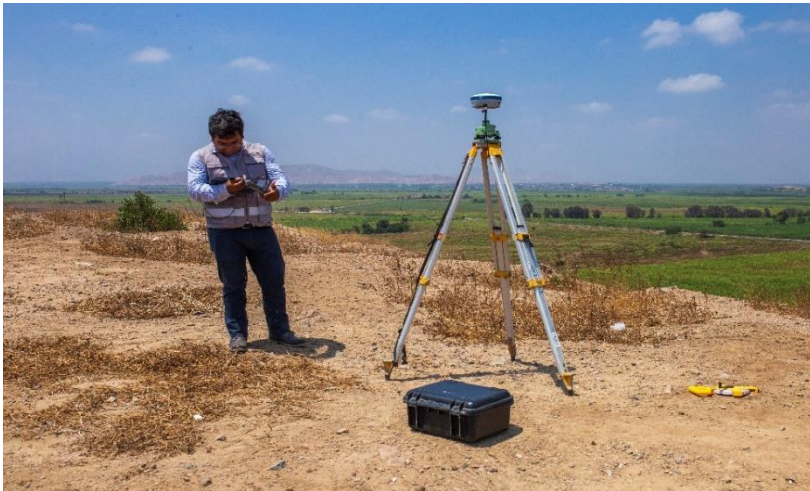
Nota. Mapas de ubicación y delimitación de Cerro Mirador, parte del análisis de planos y mapas.

C. Levantamiento Topográfico: La observación detallada previa de los mapas y cartas de la zona se complementará con la información que nos proporcionará las fotos aéreas realizadas con Dron (Figura 2), durante el levantamiento topográfico, permite observar los desniveles en superficie y brindando una idea de presencia material, Cerrato (2011), que será ubicada con mayor precisión en la prospección, a la vez se complementa con el apoyo de las fotografías satelitales, mediante el

uso del Google Earth. Seguido de la sectorización, se trazó una poligonal de los sitios haciendo uso de lo que llamamos en arqueología SIG (sistemas de información geográfica), que brinda el soporte para poder sectorizar y ubicar los materiales a reconocer en campo (García & Wheatley, 2003).

Figura 2

Vista del uso del GPS diferencial.



D. Recorrido en campo: Ravines (1989); propone una correcta descripción respecto al registro de muestras y la arquitectura de los sitios. Posteriormente el recorrido de los sitios se hará teniendo previa base en cuanto a la geografía de la zona y localización de restos, el recorrido de las áreas se hará a pie (Figura 3), siguiendo una trayectoria lineal y ondeante (Fernández, 1989).

Figura 3

Reconocimiento del área de estudio.



E. Registro de muestras: A partir de esto al ubicar los restos en superficie se procederá a tener un registro, para esto se emplearán los cuadernos de campo, la fotografía y posterior llenado de fichas. Añadido a esto se procederá a la recopilación de la información ecológica del yacimiento (Figura 4), considerando clima, suelos, hidrografía, relieve, tipos de suelos, flora y fauna; son factores a complementar para registrar en la prospección.

F. Etnografía: A su vez durante la prospección, la recopilación de información en el ámbito etnográfico de los pobladores del alrededor respecto a los sitios arqueológicos y los recursos naturales. Sumado a esto el tema de la Toponimia, que brinda información útil para localizar lugares concretos por su nombre propio.

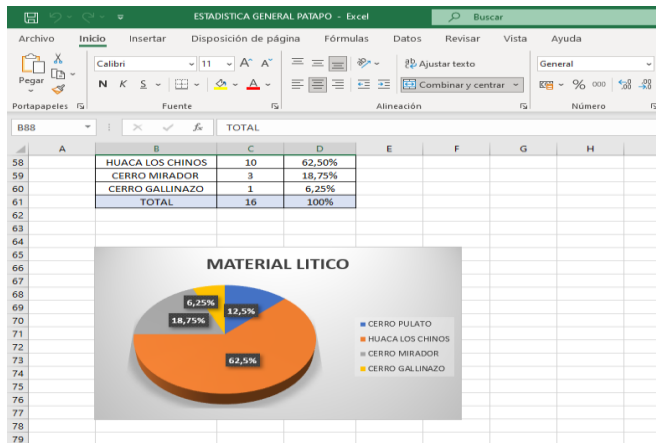
Figura 4

Proceso de recopilación de información ecológica, tomado de fotografías.



G. Gabinete: Respecto al trabajo a realizar en gabinete, se considerará como primer paso los criterios de selección, esto permite tener una idea concisa de lo trabajado. Seguido de un registro fotográfico y recolección de datos mediante fichas, con el fin de extraer la información necesaria de las evidencias encontradas en la zona oriental del distrito de Pátapo. Luego, se procederá a cuantificar los datos obtenidos en campo, empleando gráficos y tablas estadísticas (Figura 5). Esto está asociado a nuestro enfoque cuantitativo tomado de Cerda (1997).

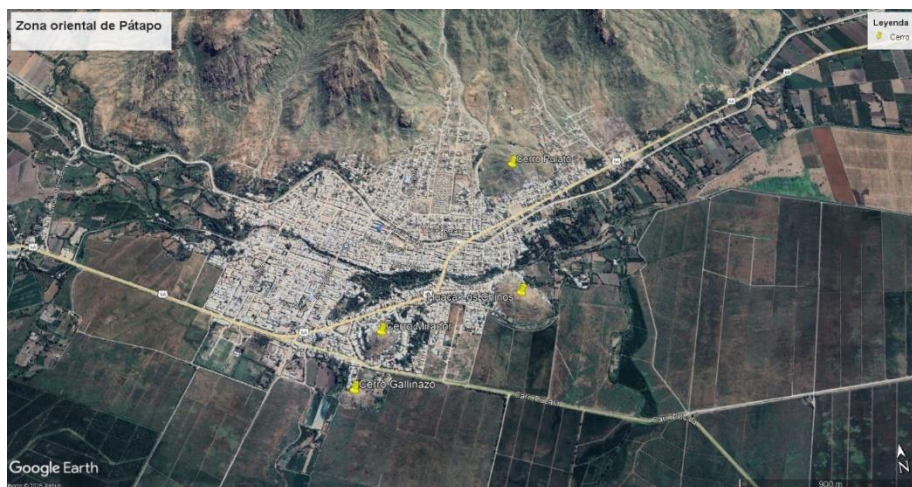
Figura 5
Empleo de gráficos y tablas estadísticas.



2.4. Población y muestra

La población considerada en la investigación sobre prospección viene a ser delimitada geográficamente por la zona oriental del distrito de Pátapo (Figura 6). En consecuencia, como nuestro universo es amplio para el desarrollo de nuestra variable, se hará necesario examinar una muestra de las unidades que lo componen; en este caso será la zonificación oriental del distrito de Pátapo que se encuentra entre los ejes noreste y sureste, dentro de la zona se encuentran cuatro sitios arqueológicos, Huaca los Chinos, cerro Mirador, Gallinazo y Pulato; ubicados en la parte baja de cerro Pátapo.

Figura 6
Delimitación geográfica de área de estudio.



Nota. Población y muestra (marcado en amarillo), seleccionada en la zona oriental de Pátapo.

El tipo de muestra es un muestreo no probabilístico, siendo el más adecuado cuando hablamos de prospección. En el caso de los criterios inclusión, se considerará la cercanía de los sitios arqueológicos, respecto a Cerro Pátapo, la delimitación realizada por la poligonal, los fragmentos de cerámica diagnóstica, no diagnóstica para desarrollo de cuadros estadísticos y el estado de conservación regular de los restos materiales. En el caso de los criterios de exclusión se ha considerado no incluir a los sitios alejados de la zona oriental del distrito de Pátapo, los sectores afectados por la presencia de construcciones por parte de la población actual, los fragmentos de cerámica no diagnóstica de pequeñas dimensiones, menores a 3 centímetros y el estado de conservación malo de los materiales culturales.

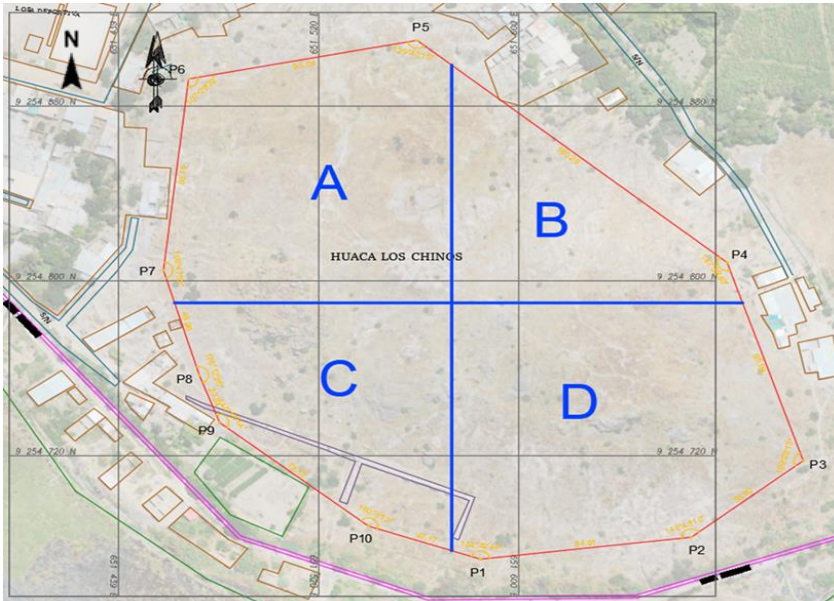
2.5. Técnicas e instrumentos.

2.5.1. Técnica.

- 1) Reconocimiento del área de prospección. primero, se realizó una revisión de fuentes documentales (Figura 7), de las investigaciones realizadas a manera de antecedentes que existen sobre el área a prospectar comprendiendo la zona oriental de Pátapo, en la parte media del valle Chancay – Lambayeque, teniendo en cuenta las fuentes informáticas como el SIGRID, SIGDA (Figura 8), y el Google Earth que ayudará a delimitar el lugar a trabajar. Haciendo el reconocimiento previo de la presencia de materiales de cerámica, lítico, malacológico, rupestre y construcciones arquitectónicas, se procederá a su recolección mediante la ayuda de las fichas de registro adecuadas. Al tratarse de una prospección, los materiales serán registrados en campo, considerando su ubicación exacta.

Figura 9

Proceso de sectorización marcada dentro de la poligonal.



- 3) Fotogrametría. Esta técnica permitirá realizar mediciones, dimensiones, formas y posiciones de objetos en el espacio a investigar, a través de la superposición de imágenes captadas (Figura 10). Nos permite generar planos y mapas con mucha precisión, luego nos permitirá producir una imagen en 3D del sitio, haciendo uso del programa Agisoft Metashape (Figura 11).

Figura 10

Proceso de toma de imágenes mediante la fotogrametría.

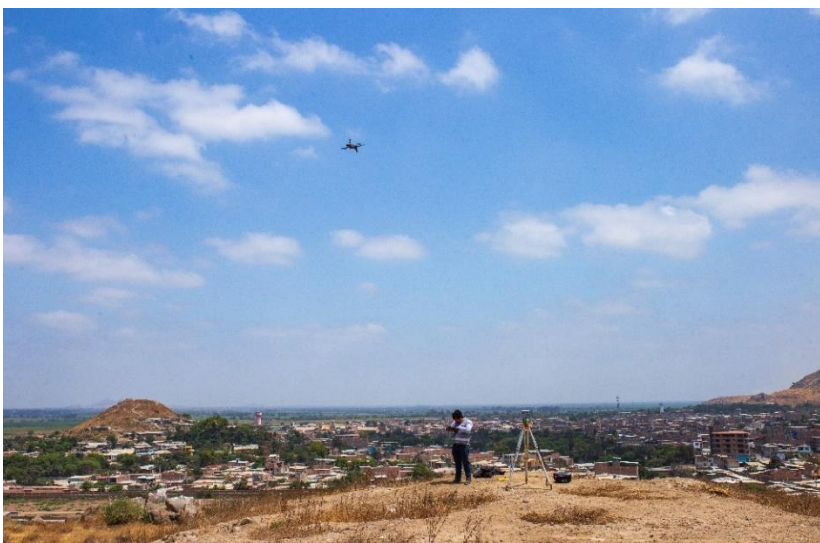
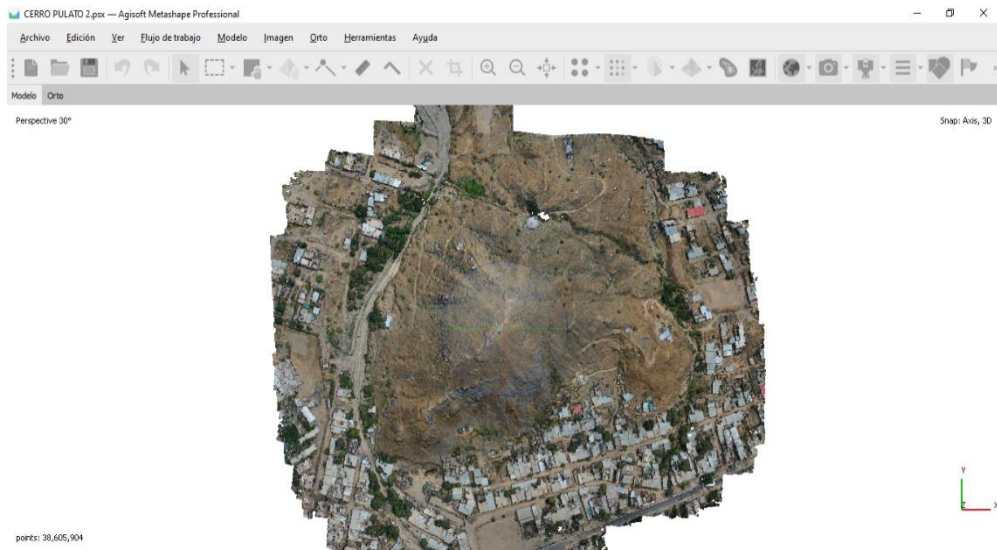


Figura 11

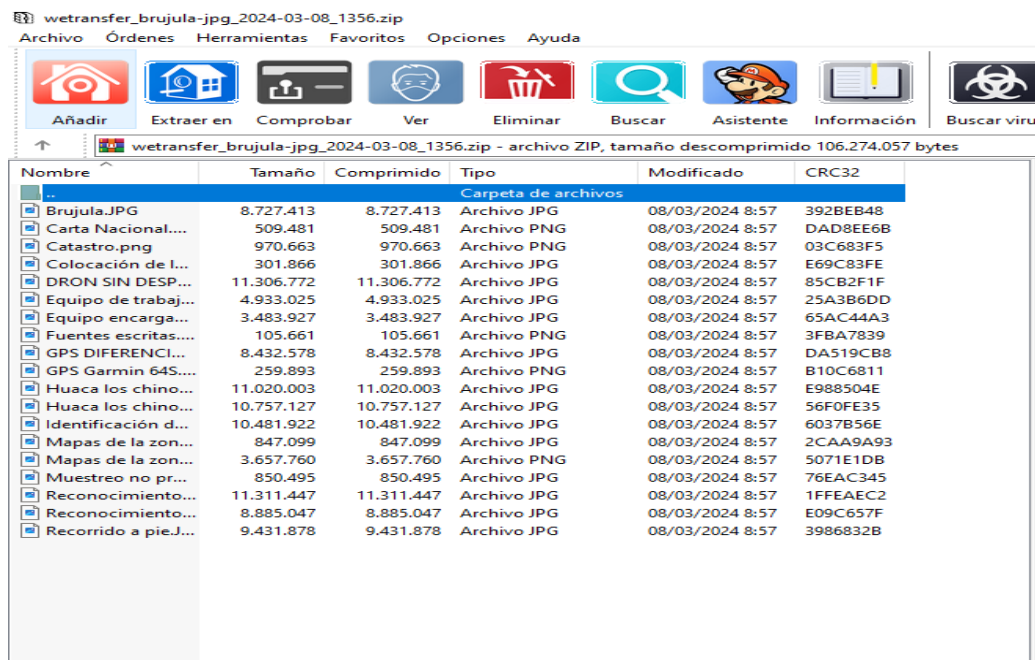
Proceso de digitalización 3D, mediante el programa Agisoft Metashape.



- 4) Trabajo de Gabinete. Respecto a la sistematización de los resultados, consideraremos la digitalización, que incluirá tanto los planos y fotografías (Figura 12), realizadas en la prospección.

Figura 12

Proceso de digitalización de las fotografías.



- 5) Descripción de materiales arqueológicos. Se procederá con el llenado del cuaderno de campo (Figura 13), donde se considerará la ubicación, sector, medidas y aspectos de filiación de las muestras registradas previamente. Posteriormente se procederá a pasar toda la información a un cuadro de Excel para su respectivo análisis.

Figura 13

Proceso de llenado del cuaderno de campo.



- 6) Descripción de arquitectura: material y técnica constructiva. Se comenzará a describir en el cuaderno de campo donde se encontró, las alturas (ancho, largo), el material con el que está constituido y la técnica constructiva (Figura 14).

Figura 14

Toma de medidas a la arquitectura registrada.



- 7) Fichas de registros. Se elaborará fichas de registró (Figura 15), cerámico (ANEXO 1), lítico (ANEXO 2), malacológico (ANEXO 3), arquitectónico (ANEXO 4), arte rupestre (ANEXO 5), fotográfico (ANEXO 6), prospección (ANEXO 7), del sitio (ANEXO 8); con la finalidad de registrar de manera minuciosa los datos encontrados in situ en superficie; para luego procesar los datos y realizar el análisis correspondiente.

Figura 15

Ejemplo de ficha de registro utilizado.

| FICHA DE REGISTRO LÍTICO | | | |
|--------------------------------|---------------|----------------|-----------|
| Nombre del Sitio Arqueológico: | | | |
| Ficha N°: | Departamento: | Provincia: | Distrito: |
| Sector: | Ubicación | | |
| Número del lítico | | | |
| Morfología del lítico | | | |
| Descripción | | | |
| | | | |
| Dimensiones: | | | |
| Ancho máximo | m | Ancho mínimo | m |
| Espesor máximo | m | Espesor mínimo | m |
| largo | | | |
| Tipo de roca | | | |
| Técnicas de fabricación | | | |

2.5.2. Instrumentos.

Carta nacional, dron (Dron Mavic 2 PRO), SIG (Sistema de Información Geográfica), jalones, escala, wincha de 3, 5, 10 y 30 metros, GPS (Figura 16), GPS Garmin 64S, Cámara Canon T7 (Figura 17 y 18), Cámara réflex, con una pantalla LCD de 3.0 pulgadas, el tamaño de las fotos son de 24.1 megapíxeles, viene con un lente de 18 a 55 milímetros, brújula.

Figura 16

Uso del GPS, Wincha y Tablet.



Figura 17

Uso de la cámara réflex.



Figura 18

Equipo de trabajo durante el proceso de fotogrametría.



2.6. Aspectos éticos de la investigación.

Los aspectos éticos de la investigación que se aplicaron en la presente tesis fueron los siguiente:

- 1. Honestidad Intelectual:** implica el compromiso del investigador con la verdad y la integridad del conocimiento, reflejando una correcta recolección y análisis de los datos obtenidos en campo, no cayendo en la manipulación, plagio y falsificación de resultados. Reconocer las limitaciones del estudio, citar las fuentes correctamente y dar crédito a las ideas de otros autores, esto garantiza que los hallazgos presentados sean auténticos y confiables (Ojeda de López et al., 2007). (Figuras 5, 10, 12, 13, 104 y 110 – Anexos 1, 2, 3 y 4).
- 2. Valor Científico:** una investigación con valor científico aporta datos, teorías y nuevos enfoques que ayudan a fortalecer el campo de estudio, este principio ético fortalece a la comunidad académica, fomenta el pensamiento crítico y sirve como base para futuros estudios, garantizando que el trabajo de investigación realizado tenga un aporte real al desarrollo de las ciencias sociales. (González, 2002). (Figuras 1, 11, 82, 87, 144 y 242 – Anexos 7 y 8).

CAPÍTULO III. RESULTADOS

En el siguiente capítulo presentaremos información relacionada a los objetivos de la investigación; como primer punto tenemos al reconocimiento geográfico y cultural de la zona oriental de Pátapo; estos datos nos serán de importancia en el tema de una descripción del entorno geográfico, la ubicación, geomorfología, recursos hídricos, ecología, flora, fauna, toponimia y como punto de reconocimiento espacial el levantamiento topográfico; estos datos serán de complemento a la identificación de elementos obtenidos en la prospección del terreno.

3.1. Reconocimiento.

3.1.1 Ubicación.

En cuanto a la ubicación de la zona de investigación; nos referimos a la localidad de Pátapo (Figura 19), el distrito de Pátapo se ubica a unos 22 km en dirección este de la ciudad de Chiclayo, zona media del valle Chancay – Lambayeque, a unos 78 m.s.n.m. (Metros sobre el nivel de mar)

Latitud sur: 5° 28" 37"

Longitud oeste: entre meridianos 79° 53" 48"" y 80° 37" 24""

Figura 19

Mapa político de Lambayeque.



Nota. Gobierno Regional de Lambayeque 2016.

Pátapo presenta en sus límites los poblados: Pósope Alto, Pósope Bajo, Conchucos, Tulipe, La Planta, La Cría, Desaguadero, Pampa La Victoria, El Progreso, Las Canteras, Cruz Tres de Mayo, (Figura 20). La jurisdicción de Pátapo se conforma por 10 caseríos y sectores urbanos, mencionados líneas arriba.

Figura 20

Mapa del distrito de Pátapo y sus caseríos.

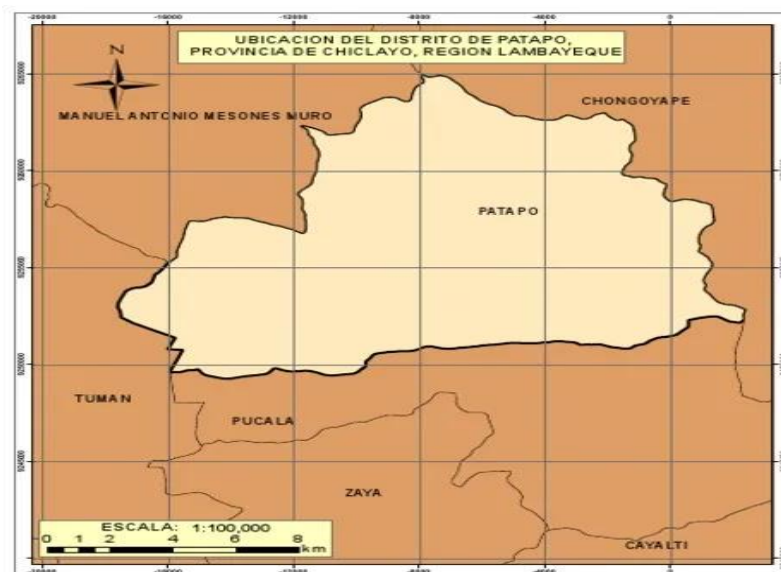


Nota. INEI

Tiene por límites al Norte a Manuel Mesones Muro (jurisdicción de Ferreñafe), al Sur (jurisdicción de Pucallá), Este (jurisdicción de Chongoyape) y Oeste (jurisdicción de Tuman), (Figura 21).

Figura 21

Mapa limítrofe del distrito de Pátapo.



La zona a prospectar se encuentra ubicada entre los ejes noreste y sureste; lo que se entiende como la zona oriental del distrito de Pátapo (Figura 22); dentro de las cuales se encuentran, cuatro Sitios Arqueológicos (Figura 23); los cuales fueron prospectados en el siguiente orden:

| | |
|----------------------|---------------------|
| 1. Cerro Pulato | 3. Cerro Mirador. |
| 2. Huaca los Chinos. | 4. Cerro Gallinazo. |

Figura 22

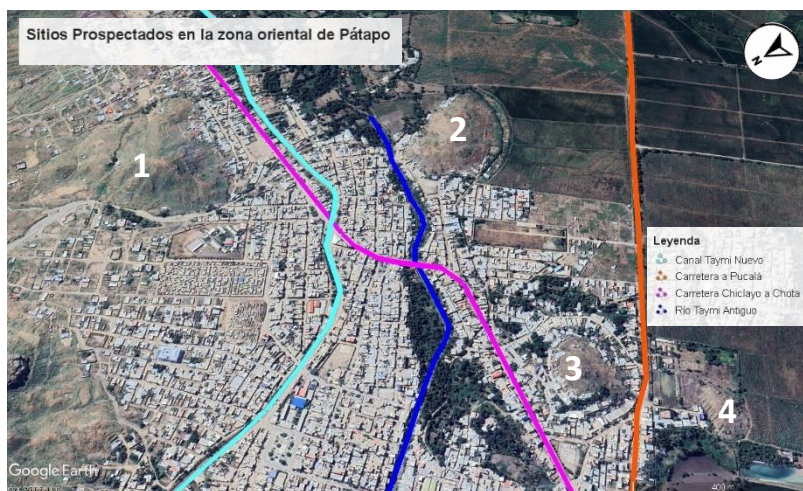
Delimitación de la zona oriental de Pátapo, 1(Norte), 2 (Sur), 3 (Oeste) y 4 (Este).



Nota. Google Earth.

Figura 23

Sitios prospectados en la zona oriental de Pátapo.



Nota. 1. Cerro Pulato, 2. Huaca los Chinos, 3. Cerro Mirador, 4. Cerro Gallinazo, Google Earth.

3.1.2. Geomorfología.

El Distrito de Pátapo presenta una geografía con presencia de vertientes montañosas y colinas (Figura 24), propias de las estribaciones andinas; los cuales están relacionados tanto a procesos de erosión hídrica, como procesos gravitacionales.

Respecto al paisaje de nuestra zona de estudio, están asociados a los paisajes de Valle Encañonado y Llanura Aluvial (Figura 25 y 26). El Paisaje de Valle Encañonado, recorre desde la unión del Chancay y Maichil, por el suroeste hasta el reservorio de Tinajones. En cuanto a la llanura aluvial está en sus inicios en La Puntilla, formando depósitos de limo, arena y cantos rodados.

En superficie se pueden encontrar distintos tipos rocas ígneas como la Adamelita y Diorita; son piedras calizas areniscosas de color gris claro (Figura 28). También se encuentra sedimentos de cantos rodados, arena arcillosa, grava, estratos de piroclásticos (Figura 27), sedimentos de arenisca, grauvacas (Figura 29) y tobas.

Las terrazas en el distrito de Pátapo (Figura 30), son mayoría planas con baja pendiente, lo que favorece la agricultura en los campos de cultivo, esto sin duda nos brinda una visión de la manera en cómo se desarrolló la agricultura en tiempos prehispánicos. Presentan a su vez depósitos de limo con arena y cantos rodados, lo que brinda un aspecto de vegetación escasa ribereña y de carácter mayormente herbácea.

Figura 24

Vertientes montañosas, vista desde Cerro Pulato.



Figura 25

Paisaje Valle Encañonado. Vista del Cerro Pulato.



Figura 26

Paisaje Llanura Aluvial.



Figura 27

Estratos piroclásticos, ubicados en Cerro Gallinazo.



Figura 28

Presencia de piedras calizas grises claras.



Figura 29

Roca detrítica Grauwaca en las superficies de Pátapo.



Figura 30

Terrazas de la zona este de Pátapo, usados para la agricultura.



3.1.3. Hidrografía.

Pátapo se conforma de la cuenca Chancay- Lambayeque; políticamente, la cuenca del río Chancay – Lambayeque, se sitúa dentro de las provincias de Cutervo, Chota, Ferreñafe, Chiclayo y Lambayeque, jurisdicción de los departamentos de Cajamarca y Lambayeque.

Este importante recurso hídrico suministra al valle Lambayeque, aguas pluviales del Chancay y sus afluentes; además cuenta con una partidora de la cual nace el canal de derivación, seguido de lateral 1 del canal- Chancay; las aguas subterráneas se componen de tres tipos: mixto, tubular, tajo abierto.

En la zona inferior del valle Lambayeque; la zona de la Puntilla el Chancay se divide en dos ramales: el que se dirige al sur, el llamado río Reque y el que va al norte que derivan en el antiguo Taymi cuya bocatoma nace en la Puntilla (Figura 31, 33 y 34). Actualmente el canal Taymi moderno (Figura 32) es la matriz de esta parte del valle, abarcando grandes áreas de cultivo en el distrito de Pátapo.

Figura 31

Cauce del canal Taymi antiguo, surcaba sus aguas al norte de Huaca Los Chinos.



Figura 32

Canal Taymi actualmente.



Figura 33

Cauce antiguo, vista norte, descendiendo de Cerro Pátapo y surca por la zona oeste de Cerro Pulato.



Figura 34

Cauce antiguo, vista sur. Cerro Pulato.



3.1.4. Ecología.

Respecto al tema ecológico, la descripción del sitio nos brinda evidencias relacionadas a lo que se conoce de manera general como las once eco-regiones del Perú. La zona de Pátapo, se encuentra relacionada a las eco-regiones; Desierto del Pacífico y Bosque Seco Ecuatorial (Figura 35 y 36).

Figura 35

Desierto del Pacífico. Zona norte y oeste de Pátapo.



Figura 36

Bosque Seco Ecuatorial. Zona sur y este de Pátapo.



3.1.5. Clima.

El clima se encuentra en relación respecto a la eco-región de las cuales se señala; en el caso de la eco-región del Desierto del Pacífico, nos referimos a un clima árido subtropical, con medias entre los 17 a 19 °C, mientras que en la eco-región del Bosque Seco Ecuatorial hablamos de un clima cálido y seco, con una temperatura media entre los 24°C y 23°C.

Otro punto a destacar en el clima, son las inundaciones que ocurren cada cierto tiempo en esta zona de la región, el llamado Fenómeno de El Niño; este evento que se genera por el calentamiento del océano Pacífico, lo que provoca lluvias de diferente intensidad a lo largo de la costa peruana.

3.1.6. Biodiversidad.

En cuanto a la flora y fauna relacionada a nuestra zona de estudio, tiene vinculación directa con el tipo de eco-región a la cual está asociada; comprende pues así los ecosistemas del Desierto del Pacífico y Bosque Seco Ecuatorial.

3.1.7. Flora.

Figura 37

Árbol de algarrobo, (Prosopis pallida).



Figura 38

"Grana salada" (Distichlis spicata).



Figura 39

Faique, (Acacia macracantha).



Figura 40

Algodón blanco, (Gossypium barbadense).



Figura 41

"Tomatillo" (*Lycopersicon peruvianum*).



Figura 42

Curi, (*Galvezia fruticosa*).



Figura 43

Flor de Molle, (Schinus molle).

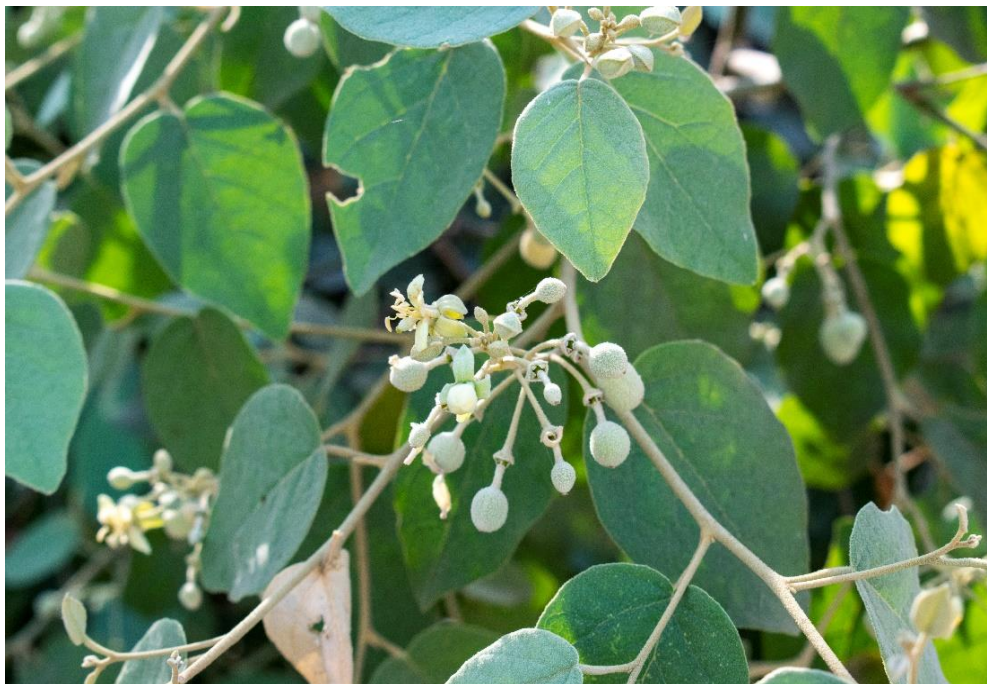


Figura 44

Frutos secos del llamado "Jaboncillo" (Luffa operculata).



Figura 45

Concuno, (Vallesia dichotoma).



Figura 46

Planta de Achicoria, (Picrosia longifolia).



Figura 47

Higuerilla, (Ricinus communis).



Figura 48

Flor de Overo, (Cordia lutea).



Figura 49

Planta de Tuna, (Opuntia ficus-indica).



Figura 50

"Flor de arena" (Tiquilia dichotoma).



Figura 51

Planta de Llantén, (Plantago major).



Figura 52

Planta cactus, (Melocactus peruvianus).



Figura 53

Cactus, (Gymnocalycium mostii).



Figura 54

"Cola de caballo" (Andropogon bicornis).



Figura 55

Cactus cola de mono, (Cleistocactus colademononis).



3.1.8. Fauna.

Figura 56

Mariposa pasionaria de alas largas, (Dione juno).

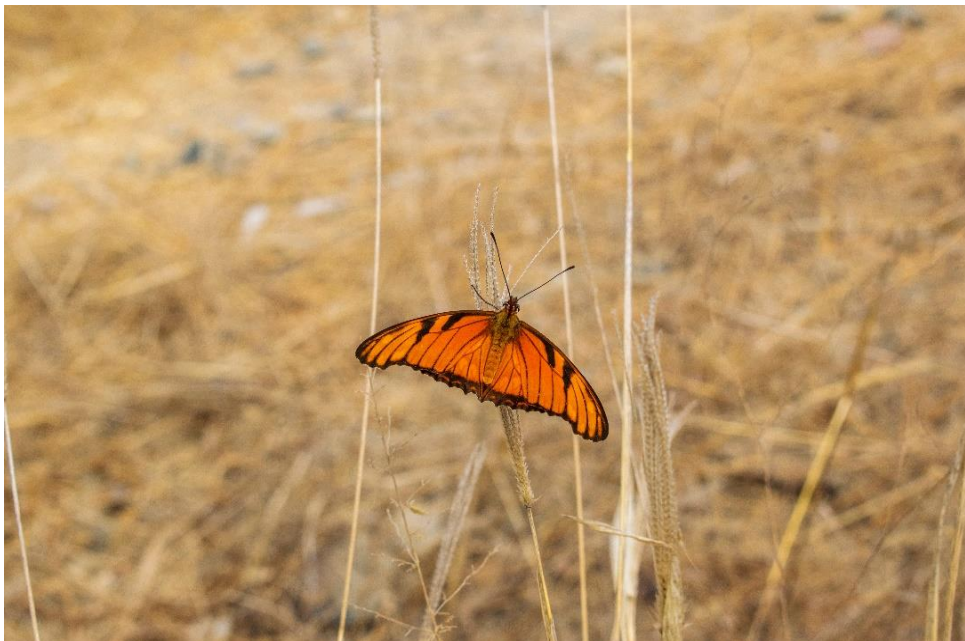


Figura 57

Mariposa pasionaria oscura, (Dione juno).

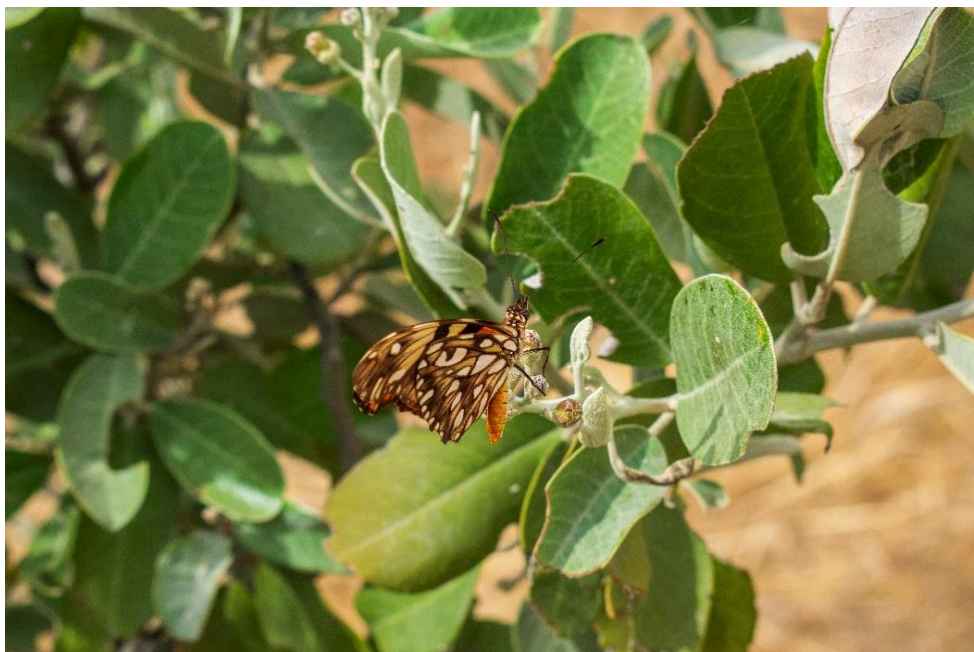


Figura 58

Ave "arrocera", (Sicalis flaveola).



Figura 59

Avispa papelera, peruana, (Polistes peruvianus).



Figura 60

Avispa "Pulato", (Polybia simillima).



Figura 61

Avispa negra, (Polybia Occidentalis).



Figura 62

"Putilla", (Pyrocephalus rubinus).



Figura 63

Polilla gris, familia (Erebidae).



Figura 64

Araña de la familia Oxyopidae, atrapando una avispa negra.



Figura 65

Escorpión, (Hadrroides lunatus).



Figura 66

Abeja doméstica, (Apis mellifera).



Figura 67

Cola-Espina Acollarada, (Synallaxis stictothorax maculata).



Figura 68

Calandria de Cola Larga, (Mimus longicaudatus).



Figura 69

Abejorro negro, (Xylocopa californica).



Figura 70

Gallinazo de Cabeza Roja (Cathartes aura).

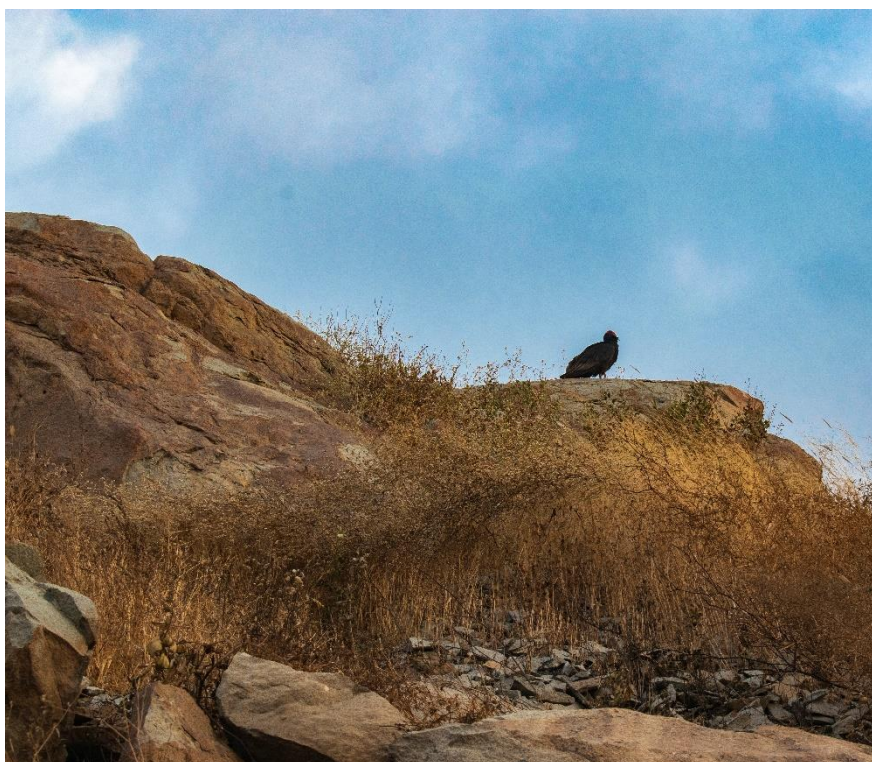


Figura 71

"Lagartija", (Dicrodon heterolepis).



Figura 72

Caracara Crestada, (Caracara cheriway).



Figura 73

"Zorro", (*Dusicyon sechurae*).



3.1.9. Toponimia.

Los datos toponímicos fueron brindados por las personas del lugar; se dieron posterior a una conversación con los pobladores de las zonas cercanas a los sitios arqueológicos.

-Cerro Pulato: Este cerro tenía una anterior denominación; cerro la Cruz; los pobladores lo llamaban así puesto que había una cruz en la cima de este promontorio rocoso, el cual era parte de la conocida extirpación de idolatrías desde tiempos de los españoles; posterior se dio la extracción de material rocoso por parte de empresas de construcción, con lo cual la cruz desapareció y con el transcurso del tiempo se hizo uso del nombre Pulato, por la presencia de una avispa denominada así por la población y de la cual es oriunda de esta zona.

-Huaca los Chinos: Este sitio se le denomina de dos diferentes maneras; la primera donde la mayoría de la población la conoce como cerro la Mezcladora; esto por la extracción de material en esta zona; la segunda denominación se rescata por las personas de la tercera edad, quienes la conocen como Huaca los Chinos, por los enterramientos de los antiguos pobladores japoneses que trabajaban en las haciendas de la zona.

-Cerro Mirador: Este cerro es el más conocido en el ámbito de Pátapo, se le denomina así por la presencia de un Mirador en su cima, privilegio que le confiere una vista panorámica del distrito.

-Cerro Gallinazo: Se le denomina así por parte de la población por la cercanía a un reservorio de aguas residuales, lo cual atrae a estos animales llamados Gallinazos, los cuales abundan por esta zona, dándose a conocer así por los pobladores.

3.2. Identificación del material cultural.

3.2.1. Levantamiento topográfico.

El primer paso fundamental fue el levantamiento topográfico del tipo planialtimétrico, utilizando el método de la poligonal; realizado en cada zona de estudio en el distrito de Pátapo fue un aspecto fundamental para tener el conocimiento de las condiciones actuales en las cuales se encuentran las huacas y cerros de intervención, los cuales nos ayudaran a explicar el análisis espacial de los mismos; los puntos tomados durante el levantamiento poseen un formato de coordenadas UTM WGS 84.

El propósito de la fotogrametría aplicada es:

*Realizar los trabajos de campo que permitan elaborar los planos topográficos tanto Altimétrico y Planimétrico.

*Identificar las condiciones actuales de las zonas en estudio de la tesis.

*Identificar el tipo de orografía.

Macro localización

Figura 74

Ubicación provincial de la zona de estudio.



Figura 75

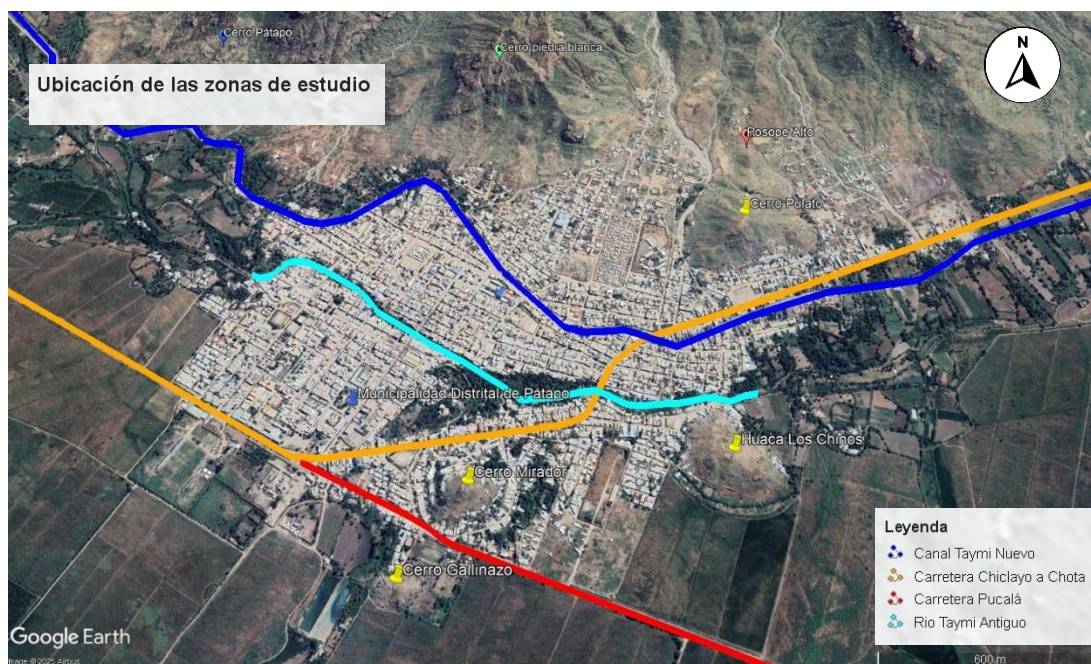
Ubicación distrital de Pátapo dentro de la región.



Posterior a la localización macro de la zona de estudio (Figura 74 y 75), se procedió a tomar referencia de las cuatro zonas de interés, las cuales fueron ubicadas con apoyo del programa digital Google Earth Pro (Figura 76).

Figura 76

Ubicación de las zonas de estudio en Google Earth Pro.



Nota. Cerro Pulato, Huaca los Chinos, Cerro Mirador y Cerro Gallinazo.

Posterior a la ubicación digital y cartográfica macro de los sitios, se procedió a realizar la fotogrametría, mediante la visita y recorrido efectuada por el equipo técnico.

Se efectuó partiendo de la estación posicionada mediante el sistema GPS, se realizó el levantamiento topográfico de la zona de estudio al detalle, haciendo uso del GPS doble frecuencia (Figura 77, 78, 79 y 80). El cual permite el almacenamiento de la información recopilada, así como su procesamiento en el software interno del equipo. Se detalla a continuación el personal y los equipos empleados para el trabajo topográfico:

| PERSONAL | EQUIPO |
|--|--|
| Ing. responsable de Brigada Topográfica. | GPS Garmin 64s |
| Topógrafo. | GPS Diferencial |
| Especialista en AutoCAD Civil 3D | Dron Mavic 2 PRO. |
| Piloto de Dron Mavic 2 PRO | IPad 9.7" |
| | Cinta métrica de 30 metros, marca Trupper. |

Se muestra las fotografías tomadas en los cuatro sitios analizados según el orden establecido.

Figura 77

Proceso de toma de puntos de control en Cerro Pulato, mediante el uso del GPS.



Figura 78

Vuelo del dron, durante el levantamiento en Cerro Pulato.

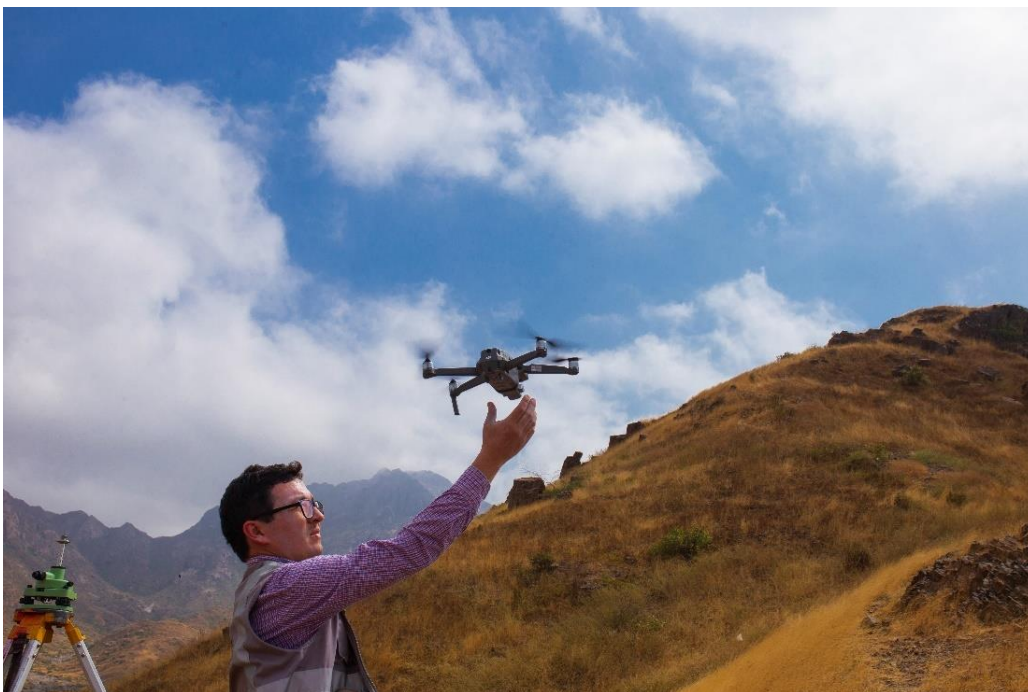


Figura 79

Se utiliza el GPS diferencial para tener un mínimo de margen de error.



Figura 80

GPS diferencial base, para la toma de puntos de control en Cerro Gallinazo y elevación de Drone.



Un punto importante a su vez del proceso de levantamiento topográfico es la toma de puntos de control (Figura 81), durante el recorrido por las zonas de estudio. La importancia radica en que permitirán la autocorrección de los datos tomados por el dron, aumentando la precisión en el levantamiento topográfico.

Figura 81

GPS Colocación de punto de control. Acción realizada en los cuatro sitios de estudio.



Para el procesamiento de los datos posteriores se hizo uso de dos softwares: Agisoft Metashape (Figura 82) y Autocad Civil 3D.

El Agisoft nos ayuda a procesar los datos tomados por el dron (Figura 83 y 84), el cual se descarga toda la fotogrametría al software y se realiza las configuraciones pertinentes para sacar la topografía existente del proyecto, cabe recalcar que en el programa se inserta como datos los puntos de control para una mayor exactitud.

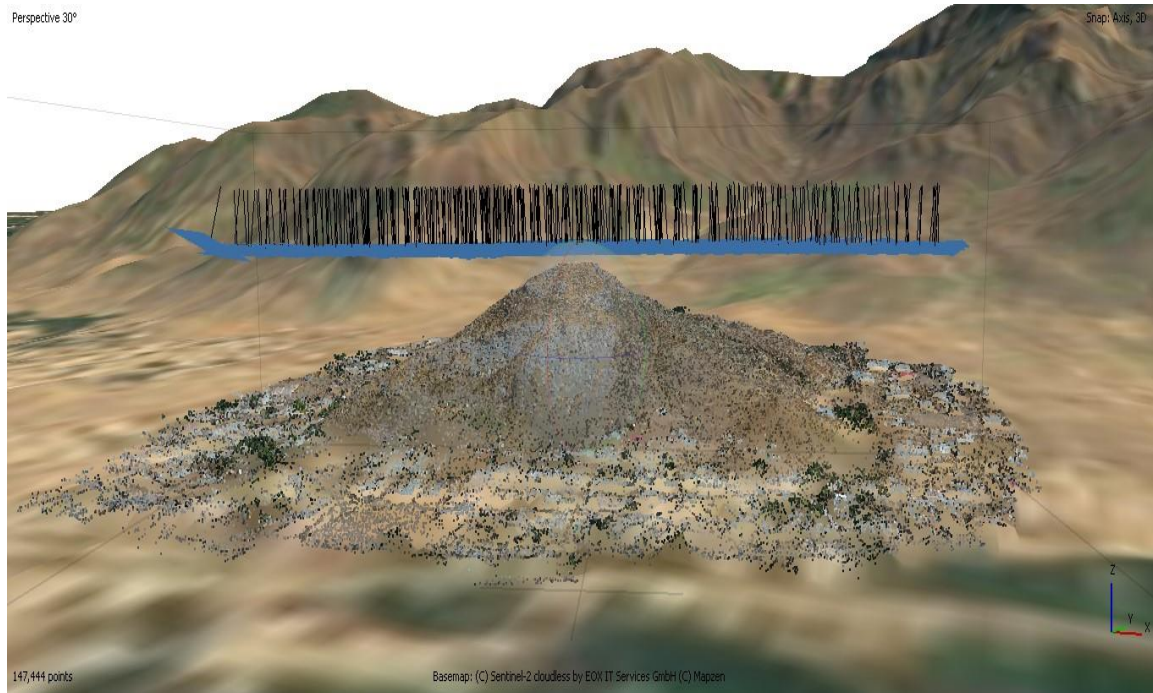
En el caso del Autocad Civil 3D, permitirá la realización de planos, poligonales sectorización y curvas a nivel de los sitios prospectados.

Algo a describir del uso de los programas mencionados es la facilidad para ubicar en el espacio a los sitios prospectados, brindando una visión espacial de los lugares; permitiendo la realización de poligonales, planos a escala, medidas de elevación, proceso de sectorización y mediciones de estructuras que podamos identificar; con un alcance mínimo de error.

La ortofoto, que nos proporciona una visión general en tercera dimensión del sitio prospectado.

Figura 82

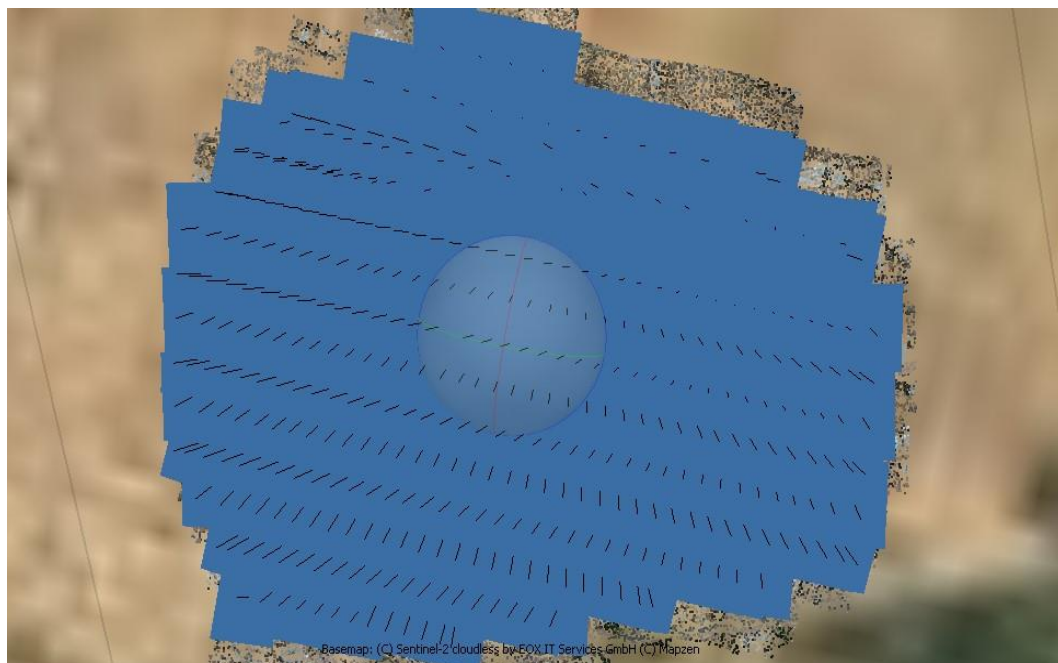
Detalle en 3D de la nube de puntos y superior a ella las fotografías tomadas por el dron.



Nota. Agisoft Metashape.

Figura 83

Nube de fotografías tomadas por el dron, para el posterior traslado de imagen en 3D.



Nota. Agisoft Metashape.

Figura 84

Detalle del conjunto de fotografías tomadas por el dron.



Nota. Agisoft Metashape.

La toma de puntos de control (Figura 85, 87, 89, 91), se traduce en marcadores (Tabla 1, 2, 3 y 4), los cuales se señalan en el programa de Agisoft Metashape, lo que se traduce posteriormente en ortofotos (Figura 86, 88, 90, 92), las cuales proporcionan una visión general, en tercera dimensión de los lugares prospectados. A continuación, detallamos los marcadores de cada uno de los lugares y su respectiva ortofoto.

3.2.1.1. Cerro Pulato.

Figura 85

Se establecieron 15 puntos de control (marcadores), en Cerro Pulato.



Nota. Agisoft Metashape.

Tabla 1

Detalle de coordenadas tomadas en los puntos de control, Cerro Pulato.

| PUNTOS DE CONTROL CERRO PULATO | | | |
|--------------------------------|------------|------------|-----------|
| PUNTO | ESTE | NORTE | ELEVACIÓN |
| 1 | 651574.552 | 9255531.96 | 168.418 |
| 2 | 651667.053 | 9255634.78 | 217.99 |
| 3 | 651674.707 | 9255644.33 | 218.232 |
| 4 | 651674.796 | 9255644.63 | 218.166 |
| 5 | 651676.057 | 9255653.13 | 217.21 |
| 6 | 651697.939 | 9255720.23 | 192.542 |
| 7 | 651697.877 | 9255720.21 | 192.547 |
| 8 | 651753.503 | 9255698.52 | 168.095 |
| 9 | 651759.84 | 9255645.28 | 165.484 |
| 10 | 651759.849 | 9255645.27 | 165.49 |
| 11 | 651762.601 | 9255643.1 | 166.404 |
| 12 | 651717.613 | 9255521.28 | 136.16 |
| 13 | 651662.858 | 9255514.85 | 144.03 |
| 14 | 651537.763 | 9255511.18 | 151.723 |
| 15 | 651527.824 | 9255652.46 | 141.788 |

Figura 86

Ortofoto Cerro Pulato.



3.2.1.2. Huaca Los Chinos.

Figura 87

Se establecieron 12 puntos de control (marcadores), en Huaca Los Chinos.



Nota. Agisoft Metashape

Tabla 2

Detalle de coordenadas tomadas en los puntos de control, Huaca Los Chinos.

| PUNTOS DE CONTROL HUACA LOS CHINOS | | | |
|------------------------------------|------------|------------|-----------|
| PUNTO | ESTE | NORTE | ELEVACIÓN |
| 1 | 651551.747 | 9254807.97 | 150.882 |
| 2 | 651546.801 | 9254812.05 | 150.381 |
| 3 | 651546.65 | 9254811.76 | 150.179 |
| 4 | 651564.999 | 9254796.89 | 150.71 |
| 5 | 651564.762 | 9254796.81 | 150.748 |
| 6 | 651451.772 | 9254795.61 | 119.573 |
| 7 | 651451.752 | 9254795.6 | 119.579 |
| 8 | 651486.177 | 9254890.72 | 130.368 |
| 9 | 651534.728 | 9254911.36 | 137.115 |
| 10 | 651608.065 | 9254831.31 | 133.736 |
| 11 | 651683.732 | 9254736.25 | 130.644 |
| 12 | 651503.835 | 9254728.85 | 119.394 |

Figura 88

Ortofoto Huaca Los Chinos.



3.2.1.3. Cerro Mirador.

Figura 89

Se establecieron 7 puntos de control (marcadores), en Cerro Mirador.



Nota. Agisoft Metashape.

Tabla 3

Detalle de coordenadas tomadas en los puntos de control, Cerro Mirador.

| PUNTOS DE CONTROL CERRO MIRADOR | | | |
|---------------------------------|------------|------------|-----------|
| PUNTO | ESTE | NORTE | ELEVACIÓN |
| 1 | 650799.464 | 9254705.63 | 149.044 |
| 2 | 650794.639 | 9254718.76 | 149.063 |
| 3 | 650816.335 | 9254726.07 | 140.502 |
| 4 | 650782.599 | 9254748.05 | 137.318 |
| 5 | 650853.289 | 9254733.17 | 128.842 |
| 6 | 650836.689 | 9254681.42 | 130.783 |
| 7 | 650756.979 | 9254637.42 | 122.66 |

Figura 90

Ortofoto Cerro Mirador.



3.2.1.4. Cerro Gallinazo.

Figura 91

Se establecieron 8 puntos de control (marcadores), en Cerro Gallinazo.



Nota. Agisoft Metashape.

Tabla 4

Detalle de coordenadas tomadas en los puntos de control, Cerro Gallinazo.

| PUNTOS DE CONTROL CERRO GALLINAZOS | | | |
|------------------------------------|------------|------------|-----------|
| PUNTO | ESTE | NORTE | ELEVACIÓN |
| 1 | 650587.929 | 9254421.82 | 120.496 |
| 2 | 650599.532 | 9254421.81 | 120.837 |
| 3 | 650627.783 | 9254438.39 | 115.214 |
| 4 | 650653.453 | 9254409.22 | 108.917 |
| 5 | 650620.467 | 9254366.93 | 103.797 |
| 6 | 650553.639 | 9254387.02 | 99.871 |
| 7 | 650553.619 | 9254387.02 | 99.87 |
| 8 | 650568.385 | 9254452.54 | 108.133 |

Figura 92

Ortofoto Cerro Gallinazo.



Como segundo paso de la prospección arqueológica en la zona oriental de Pátapo, se encuentra el proceso de identificación de los materiales culturales, para lo cual se iniciará con el desglose de planos y la delimitación de los sitios a prospectar; esto a partir del apoyo brindado por la fotogrametría, seguido de los procesos realizados en campo para la identificación y registro de material y posterior desarrollo de cuadros estadísticos que brindarán soporte a nuestra investigación.

3.2.2. Cerro Pulato.

Cerro Pulato se encuentra ubicado al norte, en la zona centro del distrito de Pátapo, cuenta con acceso hasta cierto punto con vías pavimentadas. En la zona baja del Cerro Pulato se encuentra un número regular de viviendas lo que ha reducido su superficie libre.

Para comenzar, la ubicación del Cerro Pulato, es indicar el recorrido que se hace desde las vías principales hacia el sitio arqueológico (Figura 93). El ingreso hacia el Cerro se hace a partir de la vía principal Chiclayo-Chota, a partir de la cual se voltea hacia la izquierda en dirección norte por la calle Francisco Bolognesi, un trayecto de 254 m desde la carretera, llegando al cauce seco, circundante de Cerro Pulato.

Figura 93

Ruta de acceso principal (señalado en rojo), hacia Cerro Pulato.



3.2.2.1. Límites de Cerro Pulato.

| | |
|---|---|
| Norte: Cerro Pátapo (Figura 94) | Este: Cerro Pátapo y canteras (Figura 96) |
| Sur: Huaca los Chinos, campos de cultivo (Figura 95) | Oeste: Poblado de Posope alto. (Figura 97) |

Figura 94

Límite norte de Cerro Pulato.



Figura 95

Límite sur de Cerro Pulato.



Figura 96

Límite Este de Cerro Pulato.



Figura 97

Límite Oeste de Cerro Pulato.



Seguidamente se muestran los planos de ubicación facilitados por el levantamiento topográfico; en el primero observamos un plano catastral (Figura 98), seguido del plano de ubicación con su respectiva poligonal del sitio prospectado (Figura 99 y 100).

Figura 98

Plano Catastral de Cerro Pulato, escala 1/7500.

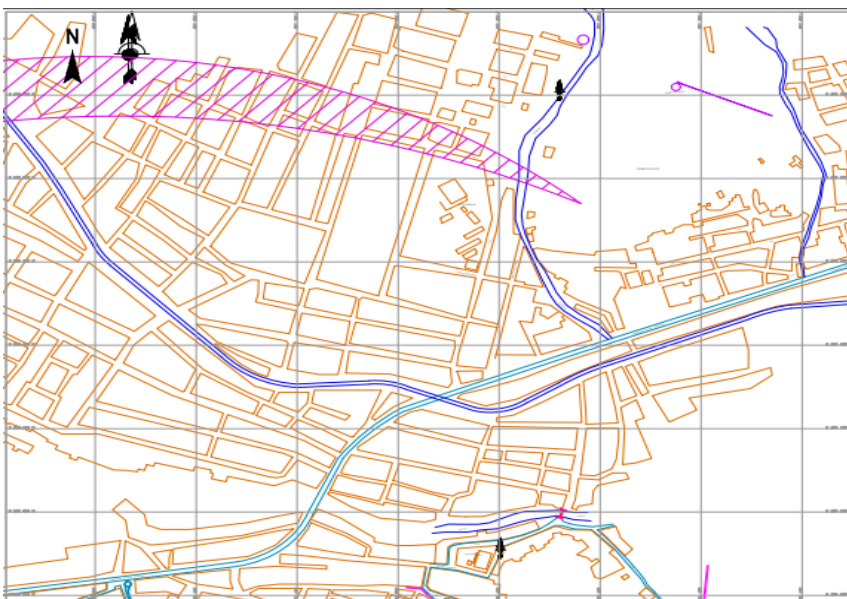


Figura 99

Plano de la poligonal trazada en Cerro Pulato, escala 1/200.

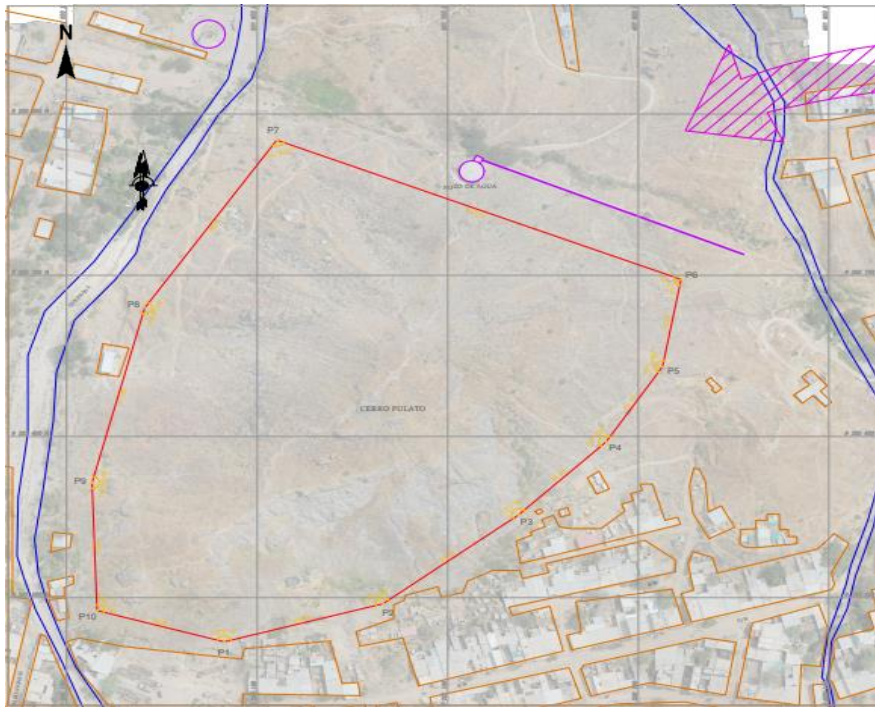


Figura 100

Ambos planos de ubicación comparten una misma leyenda.

| LEYENDA | |
|-------------------|---------|
| DESCRIPCIÓN | SÍMBOLO |
| VÍAS DE ACCESO | |
| CAMINO DE ACCESO | |
| VIVIENDAS | |
| ESTRUCTURA VARIAS | |
| RUINAS | |
| CULTIVOS | |

El trazado poligonal contó con una serie de puntos de control, a partir de los cuales se realizó la toma de coordenadas (Tabla 5), las cuales se detallan a continuación:

Tabla 5

Coordenadas de los vértices del Cerro Pulato.

| CUADRO DE COORDENADAS | | | | | |
|-----------------------|----------|--------|------------|------------|-------------|
| VERTICE | LADO | DIST. | ANGULO | ESTE | NORTE |
| P1 | P1 - P2 | 86.54 | 148°3'15" | 651582.684 | 9255472.622 |
| P2 | P2 - P3 | 90.18 | 158°4'32" | 651665.953 | 9255496.188 |
| P3 | P3 - P4 | 64.46 | 173°3'34" | 651737.280 | 9255551.368 |
| P4 | P4 - P5 | 55.15 | 167°4'53" | 651783.121 | 9255596.679 |
| P5 | P5 - P6 | 55.08 | 157°44'46" | 651812.684 | 9255643.238 |
| P6 | P6 - P7 | 229.02 | 102°0'24" | 651822.401 | 9255697.453 |
| P7 | P7 - P8 | 125.01 | 101°28'31" | 651610.313 | 9255783.863 |
| P8 | P8 - P9 | 111.85 | 160°41'52" | 651541.056 | 9255679.790 |
| P9 | P9 - P10 | 79.53 | 163°46'38" | 651513.351 | 9255571.420 |
| P10 | P10 - P1 | 69.46 | 108°1'34" | 651515.964 | 9255491.935 |

Los planos en planta nos brindan una detallada ubicación de Cerro Pulato, lo cual nos servirá para una posterior sectorización del sitio. Los datos que nos brinda estos mapas se basan principalmente en dos puntos, el área y perímetro prospectado; sin embargo, llegan a abarcar tres aspectos importantes:

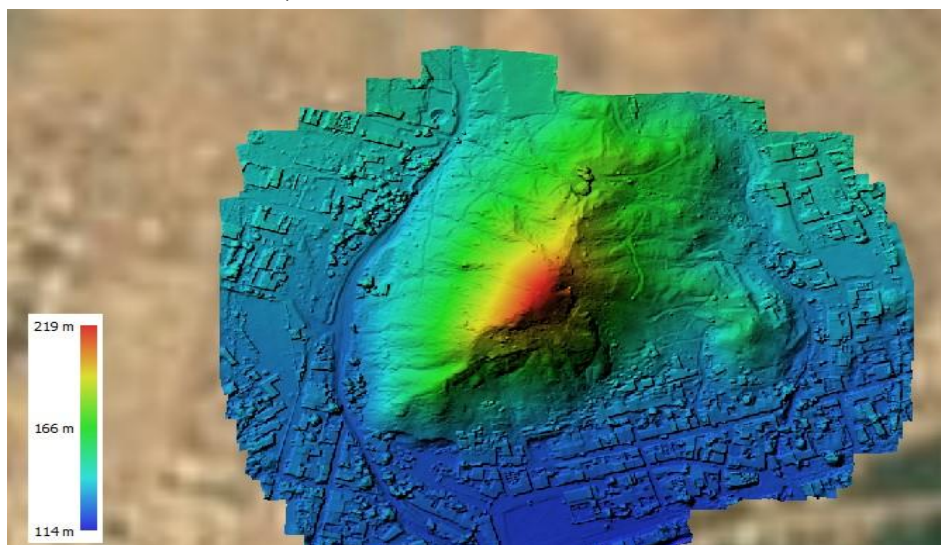
Área: 62683.56 m² - 6.26836 ha

Altura: 219.00 msnm (Figura 101)

Perímetro: 966.27 ml

Figura 101

Mosaico de elevación, Cerro Pulato.

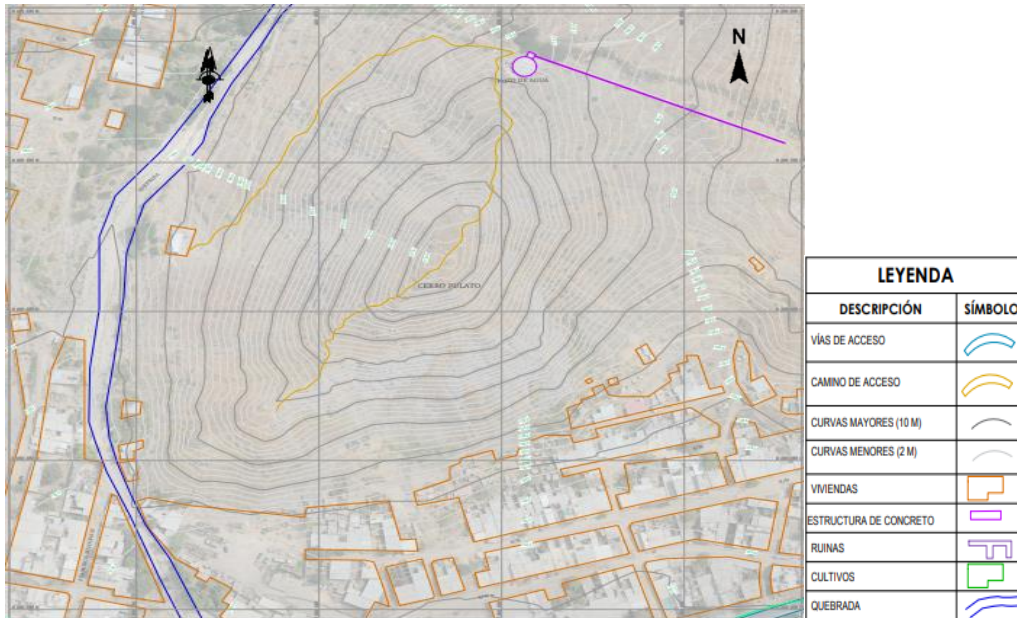


Nota. Agisoft Metashape.

Otro punto importante que brinda el levantamiento topográfico, es el plano de curvas (Figura 102), la cual nos permitió diferenciar entre superficies planas y aquellas superficies empinadas.

Figura 102

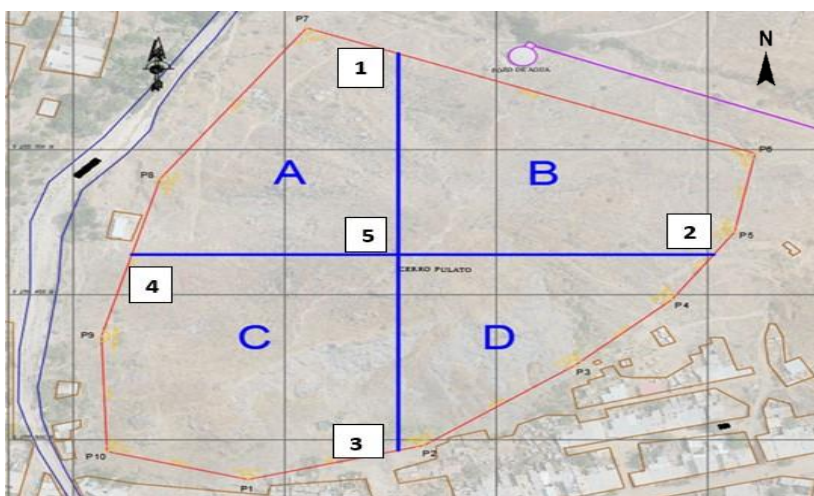
Plano de curvas a nivel de Cerro Pulato, escala 1/1500.



Como siguiente paso, después de la ubicación y trazado de la poligonal de Cerro Pulato, se procedió a la sectorización (Figura 103), tomando en cuenta 4 sectores: A, B, C, D.

Figura 103

Sectorización de Cerro Pulato.



Nota. Autocad Civil 3D.

Los puntos fueron tomados siguiendo el orden de Norte, Este, Sur, Oeste y el punto central del cual se procedió el trazado en línea recta hacia la poligonal del sitio. En la siguiente tabla se presentarán coordenadas de los vértices (Tabla 6), de las líneas trazadas para la sectorización:

Tabla 6

Coordenadas de vértices de las líneas trazadas en la sectorización de Cerro Pulato.

| ORIENTACIÓN | ESTE | NORTE |
|--------------------|-------------|--------------|
| NORTE (1) | 651653.691 | 9255766.190 |
| ESTE (2) | 651802.798 | 9255627.668 |
| SUR (3) | 651653.691 | 9255492.717 |
| OESTE (4) | 651527.028 | 9255627.668 |
| CENTRO (5) | 651653.691 | 9255627.668 |

Luego de contar con los planos de ubicación, topografía y sectorización de la zona a prospectar se procedió al reconocimiento del sitio arqueológico (Figura 104); como primer paso se ubicó el centro (Figura 105); debemos tener en cuenta que los puntos de sectorización fueron marcados previamente el día del levantamiento topográfico, para lo cual se hizo uso del GPS; una vez ubicado el centro se procedió a la colocación de estacas y tendido de hilo (Figura 106), para la diferenciación entre sectores.

Figura 104

Reconocimiento Sector norte de Cerro Pulato.



Figura 105

Posicionamiento del centro de Cerro Pulato.



Figura 106

Detalle del centro, colocación de estaca y tendido de hilo.



Luego de la sectorización del lugar, se procedió al uso de la brújula (Figura 107), para la identificación de los cuatro puntos cardinales, lo cual nos permitió la verificación de sectores y a su vez brindar el posicionamiento para la toma de fotografías de los límites del Cerro.

Figura 107

Uso de la Brújula.



El siguiente paso fue el de identificar los materiales arqueológicos en campo; para lo cual se realizó el recorrido a pie, con un espaciado de 3 metros entre persona, el recorrido se realizó en línea recta; por subsectores de cada sector; dividiéndolo en sector superior (Figura 108) y sector medio – inferior (Figura 109); esta división se debió a la gran altitud del promontorio rocoso y por las pendientes que la misma tiene.

Figura 108

Proceso de prospección en la zona superior de Cerro Pulato.

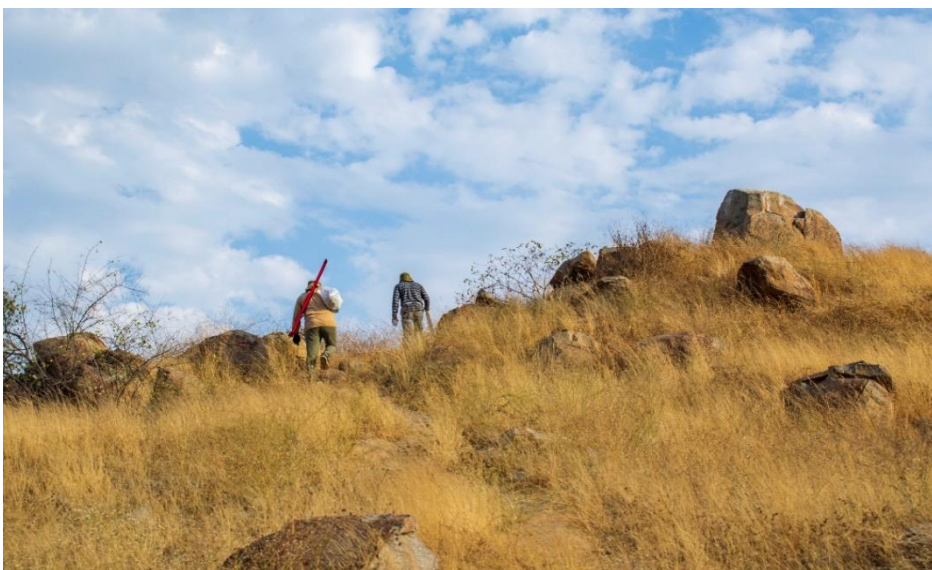


Figura 109

Proceso de prospección en la zona media e inferior de Cerro Pulato.



Posterior al reconocimiento del material arqueológico, se procedió a la identificación del material (Figura 110), la descripción de los materiales encontrados se presentará por sectores y subsectores correspondientes.

Figura 110

Proceso de limpieza y posterior toma de medidas y peso del material identificado.



Para la diferenciación entre subsectores se tomará en cuenta el mosaico de elevación, (figura 101). La altura superior, representados en color rojo y amarillo; y como subsector medio - inferior, representado en los colores verde y azul. Esta metodología aplica en los cuatro sectores prospectados.

3.2.2.2. Sector A.

El sector A, ubicado entre los ejes Oeste y Norte del sitio, fue el sector con menos material identificado, esto debido al proceso de poblamiento de la zona, así como el uso de esta parte del cerro como cantera. A su vez la presencia de abundante vegetación dificultó la visión para la identificación de material cultural.

Durante el recorrido se logró identificar 10 fragmentos malacológicos (Figura 111). A su vez fragmentos de cerámica entre los que se encuentra; 10 fragmentos de cerámica, no diagnóstica y 7 fragmentos de cerámica diagnóstica, entre los que se identificaron en el subsector superior, 2 fragmentos de olla (Figura 112) y 1 fragmento de plato; en el subsector medio e inferior se identificó, 1 fragmento de plato, 1 fragmento de cántaro (Figura 113) y 2 fragmentos de tinaja.

Figura 111

Restos malacológicos (Donax obesulus).



Figura 112

Fragmento de olla.



| | |
|---------------------------|---------|
| Subsector superior | 1 |
| Forma | F. olla |
| Altura | 3,5 cm |
| Ancho | 3,4 cm |
| Peso | 10 g |
| Grosor (Labio) | 0,5 cm |
| Decoración | Pintura |

Descripción: vasija cerrada con cuello carenado, por su forma tiene borde carenado, labio redondeado. Técnica de manufactura es modelado, cocción oxidante, su acabado superficial es alisado.

Figura 113

Fragmento de cántaro.



| | |
|---------------------------------|------------|
| Subsector Medio Inferior | 7 |
| Forma | F. cántaro |
| Altura | 4 cm |
| Ancho | 3,7 cm |
| Peso | 13 g |
| Grosor | 0,5 cm |
| Decoración | ND |

Descripción: vasija cerrada, no presenta cuello, borde, ni labio. Técnica de manufactura es modelado, cocción oxidante, su acabado superficial es alisado.

3.2.2.3. Sector B.

El sector B, ubicado entre los ejes Norte y Este, es el sector con mayor cantidad de material encontrado, esto se debe a la poca presencia de la población en este sector y la dificultad para su acceso.

Se logró identificar 142 fragmentos de cerámica no diagnóstica y 110 fragmentos de cerámica diagnóstica, entre los que se identificaron 3 fragmentos de platos (Figura 114), 37 fragmentos de olla (Figura 116), 39 fragmentos de cántaro (Figura 115, 118 y 120), 5 fragmentos de tinaja (Figura 119), 1 fragmento de botella (Figura 117) y 25 fragmentos no determinados (ND).

Figura 114

Fragmento de plato.



| | |
|---------------------------|----------|
| Subsector superior | 1 |
| Forma | F. plato |
| Altura | 3,7 cm |
| Ancho | 4,8 cm |
| Peso | 20 g |
| Grosor | 0,4 cm |
| Decoración | Pintura |

Descripción: vasija abierta, por su forma tiene borde directo, labio redondeado. Técnica de manufactura es modelado, cocción oxidante, con un acabado superficial exterior alisado, en la parte interior presenta pulido.

Figura 115

Fragmento de cántaro.



| | |
|---------------------------|------------|
| Subsector superior | 5 |
| Forma | F. cántaro |
| Altura | 8,8 cm |
| Ancho | 6,3 cm |
| Peso | 54 g |
| Grosor | 0,8 cm |
| Decoración | Pintura |

Descripción: vasija cerrada con cuello evertido divergente, por su dirección tiene borde evertido, labio redondeado. Técnica de manufactura es modelado, cocción oxidante, su acabado superficial es alisado.

Figura 116

Fragmento de olla.



| | |
|---------------------------|-----------|
| Subsector superior | 11 |
| Forma | F. olla |
| Altura | 4 cm |
| Ancho | 4 cm |
| Peso | 15 g |
| Grosor | 0,3 cm |
| Decoración | Paleteado |

Descripción: vasija cerrada, no presenta cuello, borde, ni labio. Técnica de manufactura es modelado, cocción oxidante, su acabado superficial es alisado. En el cuerpo tiene diseños geométricos de rombos.

Figura 117

Fragmento de botella.



| | |
|---------------------------|------------|
| Subsector superior | 30 |
| Forma | F. botella |
| Altura | 4 cm |
| Ancho | 4 cm |
| Peso | 15 g |
| Grosor | 0,3 cm |
| Decoración | Moldeado |

Descripción: vasija cerrada, no presenta cuello, borde, ni labio. Técnica de manufactura es moldeado, cocción reductora, su acabado superficial es alisado. En el cuerpo tiene diseños geométricos de cuadrados con un círculo en el centro y olas.

Figura 118

Fragmento de cántaro.



| | |
|---------------------------|------------|
| Subsector superior | 32 |
| Forma | F. cántaro |
| Altura | 3,8 cm |
| Ancho | 5,1 cm |
| Peso | 20 g |
| Grosor (labio) | 0,4 cm |
| Decoración | ND |

Descripción: vasija cerrada con cuello carenado, por su forma tiene borde carenado, labio redondeado. Técnica de manufactura es modelado, cocción oxidante, su acabado superficial es alisado. Presencia de quema en la parte exterior de la pieza.

Figura 119

Fragmento de tinaja.



| | |
|---------------------------|-----------|
| Subsector superior | 46 |
| Forma | F. tinaja |
| Altura | 13,5 cm |
| Ancho | 9,5 cm |
| Peso | 204 g |
| Grosor (labio) | 1,2 cm |
| Decoración | ND |

Descripción: vasija abierta, por su dirección tiene borde invertido, labio redondeado. Técnica de manufactura es modelado, cocción oxidante, su acabado superficial es alisado.

Figura 120

Fragmento de cántaro.



| | |
|---------------------------------|------------|
| Subsector Medio Inferior | 75 |
| Forma | F. cántaro |
| Altura | 7 cm |
| Ancho | 8,9 cm |
| Peso | 54 g |
| Grosor (labio) | 0,8 cm |
| Decoración | Incisión |

Descripción: vasija cerrada con cuello evertido divergente, por su dirección tiene borde evertido, no presenta labio. Técnica de manufactura es modelado, cocción oxidante, su acabado superficial es alisado. Presencia de quema en la parte exterior de la pieza.

A su vez se pudo identificar dos piezas de material lítico (Figura 121).

Figura 121

Material lítico identificado en el subsector superior.



Dentro de este sector es preciso mencionar la presencia de un pozo de huaqueo de gran tamaño (Figura 122), se encuentra en el límite del sector B, con el sector A; se encontró fragmentos de cerámica en su interior y en los alrededores del mismo.

El pozo de huaqueo presentaba las siguientes medidas: Largo: 3.6 m, Ancho: 2.20 m, Profundidad: 84 cm.

Figura 122

Pozo de huaqueo, sector B.



3.2.2.4. Sector C.

El sector C, ubicado entre los ejes Oeste y Sur, este sector presenta regular cantidad de material encontrado, se pudo identificar fragmentos de cerámica; la mayor parte se encontró en el subsector superior. Este sector se encuentra poblado en su parte baja y media por los pobladores, quienes han ocupado parte del promontorio rocoso a manera de corrales para sus animales, lo que a su vez dificultó el proceso de reconocimiento de material cultural.

Se logró reconocer 56 fragmentos de cerámica no diagnóstica y 88 fragmentos de cerámica diagnóstica, entre los que se identificaron 8 fragmentos de platos (Figura 125), 38 fragmentos de olla (Figura 123, 124, 126 y 131), 15 fragmentos de cántaro (Figura 127), 5 fragmentos de tinaja (Figura 129), 2 fragmento de botella (Figura 130), 1 fragmento de cuenco (Figura 128) y 19 fragmentos no determinados (ND).

Figura 123

Fragmento de olla.



| | |
|---------------------------|-----------|
| Subsector superior | 14 |
| Forma | F. olla |
| Altura | 5,4 cm |
| Ancho | 7,2 cm |
| Peso | 32 g |
| Grosor | 0,5 cm |
| Decoración | Paleteado |

Descripción: vasija cerrada, no presenta cuello, borde, ni labio. Técnica de manufactura es modelado, cocción oxidante, su acabado superficial es alisado. En el cuerpo tiene diseños de olas.

Figura 124

Fragmento de olla.



| | |
|---------------------------|---------------|
| Subsector superior | 34 |
| Forma | F. olla |
| Altura | 9,7 cm |
| Ancho | 10,1 cm |
| Peso | 80 g |
| Grosor | 0,6 cm |
| Decoración | Piel de ganso |

Descripción: vasija cerrada. Técnica de manufactura modelado, cocción oxidante, su acabado superficial es alisado. En el cuerpo tiene diseños geométricos de círculos. Presencia de quema en la parte exterior de la pieza.

Figura 125

Fragmento de plato.



| | |
|---------------------------|-----------|
| Subsector superior | 41 |
| Forma | F. plato |
| Altura | 4 cm |
| Ancho | 4,6 cm |
| Peso | 20 g |
| Grosor (labio) | 0,4 cm |
| Decoración | ND |

Descripción: vasija abierta, no presenta cuello, borde, ni labio, presenta base anular. Técnica de manufactura es modelado, cocción oxidante, su acabado superficial es alisado.

Figura 126

Fragmento de olla.



| | |
|---------------------------|-----------|
| Subsector superior | 50 |
| Forma | F. olla |
| Altura | 3,7 cm |
| Ancho | 4,7 cm |
| Peso | 17 g |
| Grosor | 0,4 cm |
| Decoración | Paleteado |

Descripción: vasija cerrada, no presenta cuello, borde, ni labio. Técnica de manufactura es modelado, cocción oxidante, su acabado superficial es alisado. En el cuerpo tiene diseños de olas.

Figura 127

Fragmento de cántaro.

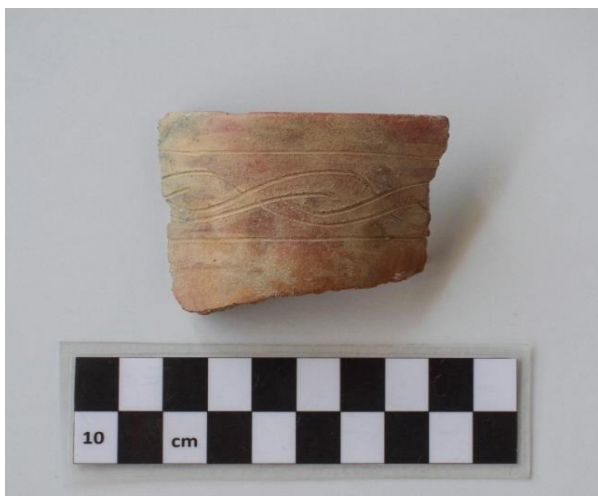


| | |
|---------------------------|------------|
| Subsector superior | 66 |
| Forma | F. cántaro |
| Altura | 4,5 cm |
| Ancho | 4,2 cm |
| Peso | 9 g |
| Grosor | 0,2 cm |
| Decoración | Aplicación |

Descripción: vasija cerrada, no presenta cuello, borde, ni labio. Técnica de manufactura es modelado, cocción oxidante, su acabado superficial es alisado. En el cuello tiene un ojo circular doble.

Figura 128

Fragmento de cuenco.



| | |
|---------------------------|-----------|
| Subsector superior | 67 |
| Forma | F. cuenco |
| Altura | 5,3 cm |
| Ancho | 6,5 cm |
| Peso | 29 g |
| Grosor (labio) | 0,5 cm |
| Decoración | Incisión |

Descripción: vasija abierta, por su forma tiene borde directo, labio redondeado. Técnica de manufactura es modelado, cocción oxidante, su acabado superficial es alisado. Presenta pintura, rastro de quema en la parte exterior de la pieza

Figura 129

Fragmento de tinaja.



| | |
|---------------------------------|-----------|
| Subsector Medio Inferior | 70 |
| Forma | F. tinaja |
| Altura | 5,7 cm |
| Ancho | 9 cm |
| Peso | 94 g |
| Grosor (labio) | 0,8 cm |
| Decoración | ND |

Descripción: vasija abierta, por su dirección tiene borde invertido, labio refuerzo exterior redondeado. Técnica de manufactura es modelado, cocción oxidante, su acabado superficial es alisado. Presencia de quema en la parte exterior de la pieza.

Figura 130

Fragmento de botella.



| | |
|-------------------|------------|
| Subsector | |
| Medio | 77 |
| Inferior | |
| Forma | F. botella |
| Altura | 3,2 cm |
| Ancho | 3,5 cm |
| Peso | 7 g |
| Grosor | 0,2 cm |
| Decoración | ND |

Descripción: vasija cerrada, no presenta cuello, borde, ni labio. Técnica de manufactura es modelado, cocción oxidante, su acabado superficial es pulido. En el cuerpo presenta pintura.

Figura 131

Fragmento de olla.



| | |
|-------------------|-----------|
| Subsector | |
| Medio | 85 |
| Inferior | |
| Forma | F. olla |
| Altura | 5 cm |
| Ancho | 5,4 cm |
| Peso | 23 g |
| Grosor | 0,4 cm |
| Decoración | Paleteado |

Descripción: vasija cerrada, no presenta cuello, borde, ni labio. Técnica de manufactura es modelado, cocción oxidante, su acabado superficial es alisado. En el cuerpo tiene diseños de olas, presencia de quema en la parte exterior de la pieza.

3.2.2.5. Sector D.

El sector D, ubicado entre los ejes Sur y Este, este sector presenta poca cantidad de material identificado, en su mayoría fragmentos de cerámica, además de arquitectura en la parte media – baja. Se logró reconocer 26 fragmentos de cerámica no diagnóstica y 20 fragmentos de cerámica diagnóstica, entre los que se identificaron 3 fragmentos de platos (Figura 134), 9 fragmentos de olla (Figura 133), 4 fragmentos de cántaro (Figura 132), 1 fragmento de botella (Figura 135) y 3 fragmentos no determinados (ND).

Figura 132

Fragmento de cántaro.



| | |
|---------------------------|------------|
| Subsector superior | 1 |
| Forma | F. cántaro |
| Altura | 3,7 cm |
| Ancho | 4,3 cm |
| Peso | 24 g |
| Grosor (labio) | 0,4 cm |
| Decoración | ND |

Descripción: vasija cerrada con cuello evertido divergente, por su dirección tiene borde evertido, no presenta labio. Técnica de manufactura es modelado, cocción oxidante, su acabado superficial es alisado. Presencia de quema en la parte exterior de la pieza.

Figura 133

Fragmento de olla.



| | |
|---------------------------|----------|
| Subsector superior | 2 |
| Forma | F. olla |
| Altura | 3,8 cm |
| Ancho | 5,2 cm |
| Peso | 19 g |
| Grosor (labio) | 0,3 cm |
| Decoración | ND |

Descripción: vasija cerrada, por su dirección tiene borde evertido, no presenta labio. Técnica de manufactura es modelado, cocción oxidante, su acabado superficial es alisado. Presencia de quema en la parte exterior de la pieza.

Figura 134

Fragmento de plato.



| | |
|---------------------------------|-----------|
| Subsector Medio Inferior | 14 |
| Forma | F. plato |
| Altura | 5,4 cm |
| Ancho | 4,8 cm |
| Peso | 25 g |
| Grosor | 0,4 cm |
| Decoración | Pintura |

Descripción: vasija abierta, no presenta borde, ni labio, presenta base anular. Técnica de manufactura es modelado, cocción oxidante, su acabado superficial es alisado.

Figura 135

Fragmento de botella.



| | |
|-------------------|------------|
| Subsector | |
| Medio | 15 |
| Inferior | |
| Forma | F. botella |
| Altura | 3,6 cm |
| Ancho | 2,3 cm |
| Peso | 5 g |
| Grosor | 0,3 cm |
| Decoración | ND |

Descripción: vasija cerrada, no presenta cuello, borde, ni labio. Técnica de manufactura es modelado, cocción oxidante, su acabado superficial es alisado. Presencia de quema en la parte exterior de la pieza.

En este sector también se pudo identificar en sentido sur este, la presencia de arquitectura rectangular (Figura 136 y 137), hecho de piedra. Se construyó utilizando piedras sin mortero de barro, tiene 0.90 cm de alto, 7,5 metros de ancho y 14,6 metros de largo.

Figura 136

Detalle de la arquitectura.



Figura 137

Arquitectura de planta rectangular.



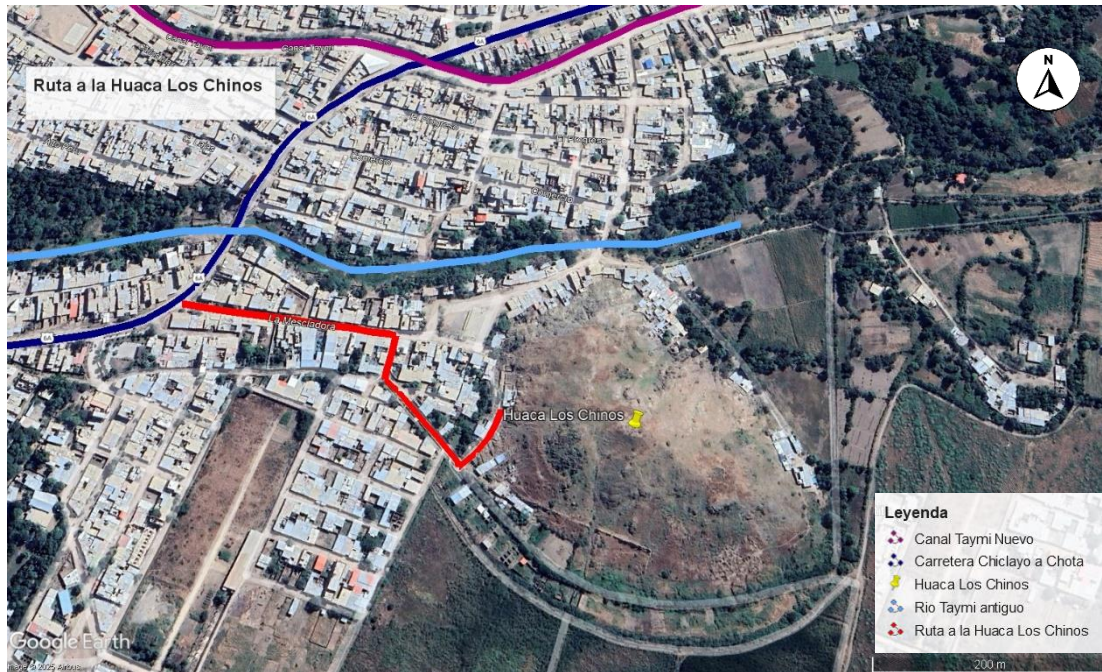
3.2.3. Huaca Los Chinos.

Huaca los Chinos, se encuentra ubicada en la parte sur, zona perimétrica del distrito de Pátapo, cuenta con acceso hasta cierto punto con vías pavimentadas. En la zona baja, sector sur y sur este de Huaca los Chinos, se encuentran viviendas, provocando pérdida de estructuras en estas zonas.

El paso inicial para reconocer el sitio arqueológico, es averiguar sus vías de acceso (Figura 138). El único ingreso que hay hacia el Cerro se hace a partir de la vía principal, Chiclayo-Chota, entramos a la derecha por una vía sin asfaltar, la calle Mezcladora en línea recta por 215 m, luego hacia la derecha unos 41 m, giramos hacia la izquierda por 112 m, giramos por última vez hacia la izquierda alrededor de 46 m y se llega a la parte oeste de Huaca los Chinos, siendo este el único acceso hacia el sitio; esto debido a que la población ha circundado prácticamente a la Huaca.

Figura 138

Ruta de único acceso (señalado en rojo), hacia Huaca Los Chinos.



3.2.3.1. Límites de Huaca Los Chinos.

| | |
|--|--|
| Norte: Cerro Pulato y Cerro Pátapo (Figura 139) | Este: Campos de cultivo. (Figura 141) |
| Sur: Campos de cultivo (Figura 140) | Oeste: Cerro Mirador. (Figura 142) |

Figura 139

Límite Norte de Huaca Los Chinos.



Figura 140

Límite Sur de Huaca Los Chinos.



Figura 141

Límite Este de Huaca Los Chinos.



Figura 142

Límite Oeste de Huaca Los Chinos.



Debemos a su vez tener en cuenta, los planos de ubicación facilitados por el levantamiento topográfico; como primer punto se presentará un plano catastral (Figura 143), seguido del plano de ubicación con su respectiva poligonal del sitio prospectado (Figura 144 y 145).

Figura 143

Plano Catastral de Huaca Los Chinos, escala 1/7500.

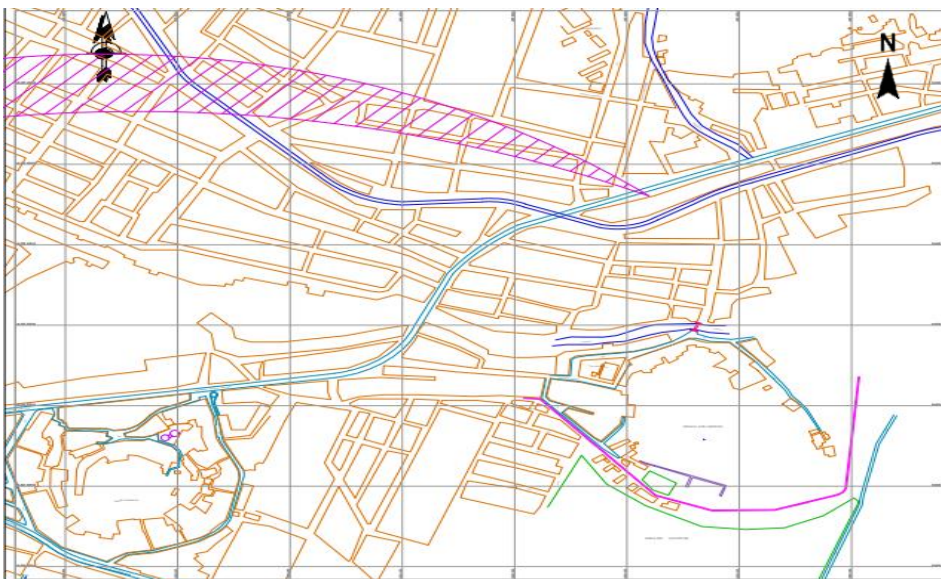


Figura 144

Plano de la poligonal trazada en Huaca Los Chinos, escala 1/1250.

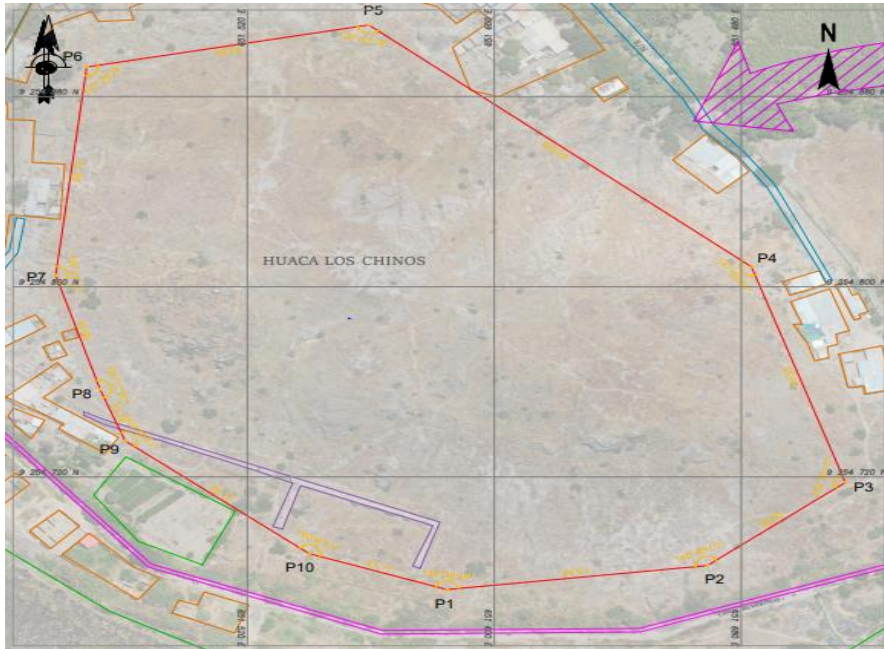


Figura 145

Ambos planos de ubicación comparten una misma leyenda.

| LEYENDA | |
|-------------------|---------|
| DESCRIPCIÓN | SÍMBOLO |
| VÍAS DE ACCESO | |
| CAMINO DE ACCESO | |
| VIVIENDAS | |
| ESTRUCTURA VARIAS | |
| RUINAS | |
| CULTIVOS | |

El trazado poligonal contó con una serie de puntos de control (Tabla 7), a partir de los cuales se realizó la toma de coordenadas, las cuales se detallan a continuación:

Tabla 7

Coordenadas de los vértices de Huaca Los Chinos.

| CUADRO DE COORDENADAS | | | | | |
|-----------------------|----------|--------|------------|------------|-------------|
| VERTICE | LADO | DIST. | ANGULO | ESTE | NORTE |
| P1 | P1 - P2 | 84.91 | 154°32'44" | 651584.631 | 9254672.648 |
| P2 | P2 - P3 | 56.80 | 148°46'10" | 651668.943 | 9254682.687 |
| P3 | P3 - P4 | 95.69 | 109°28'13" | 651713.687 | 9254717.671 |
| P4 | P4 - P5 | 160.29 | 147°55'40" | 651683.243 | 9254808.393 |
| P5 | P5 - P6 | 93.04 | 129°40'15" | 651559.339 | 9254910.087 |
| P6 | P6 - P7 | 88.19 | 107°29'32" | 651467.991 | 9254892.410 |
| P7 | P7 - P8 | 49.96 | 156°47'53" | 651457.946 | 9254804.799 |
| P8 | P8 - P9 | 23.24 | 176°12'26" | 651472.271 | 9254756.934 |
| P9 | P9 - P10 | 76.12 | 148°58'54" | 651480.393 | 9254735.159 |
| P10 | P10 - P1 | 47.17 | 160°8'12" | 651539.944 | 9254687.743 |

Los planos en planta nos brindan una detallada ubicación de Huaca los Chinos, lo cual nos servirá para una posterior sectorización del sitio. Los datos que nos brinda estos mapas se basan principalmente en dos puntos, el área y perímetro prospectado; sin embargo, llegan abarcar tres aspectos importantes:

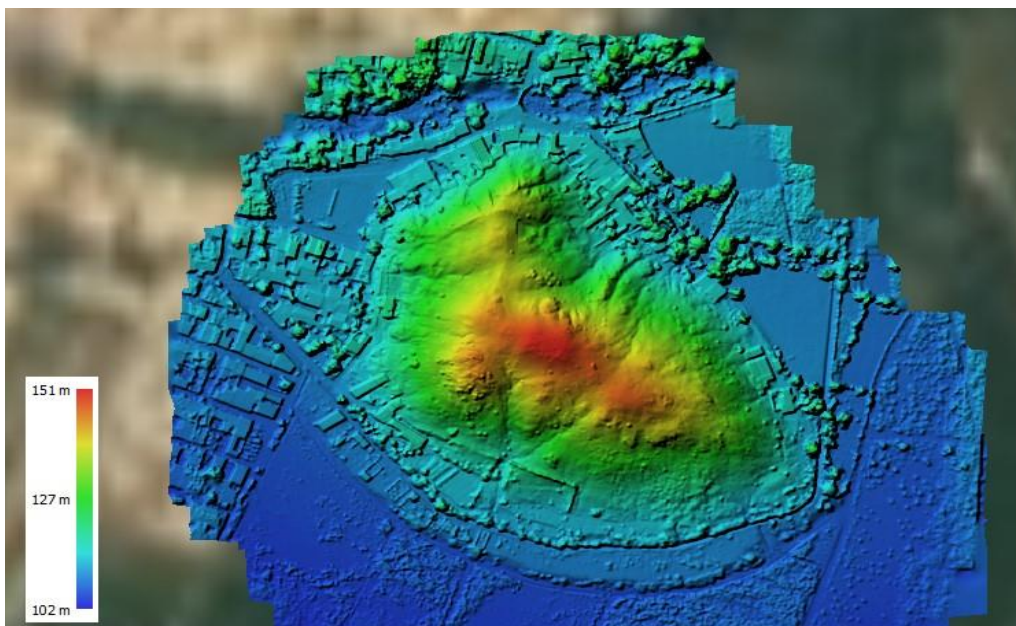
Área: 42071.26 m² - 4.20713 ha

Altura: 151 m

Perímetro: 775.41 ml.

Figura 146

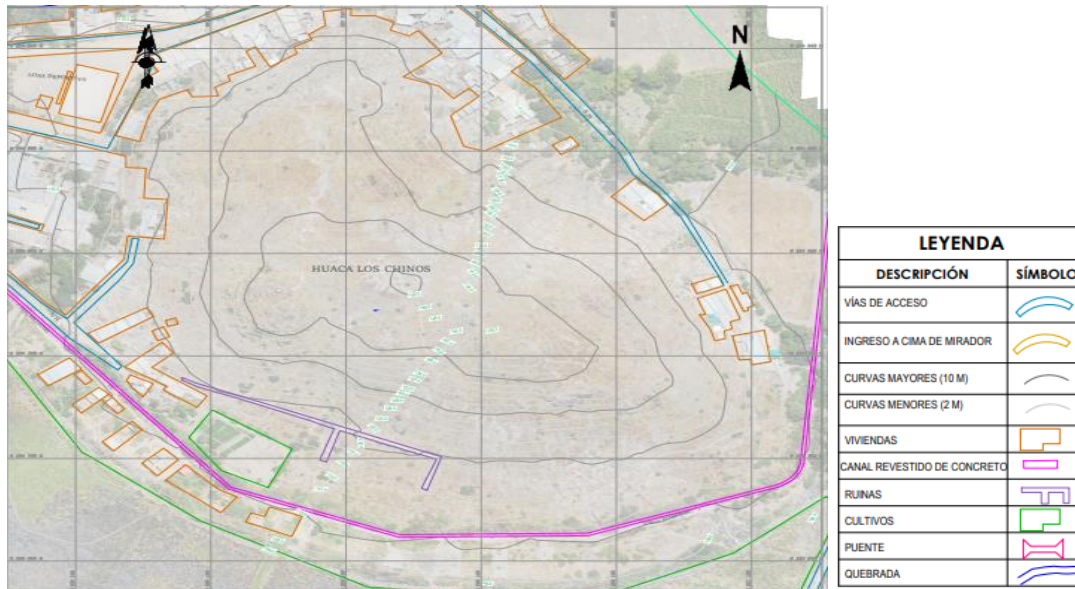
Mosaico de elevación, Huaca Los Chinos, Agisoft Metashape.



Otro punto importante que brinda el levantamiento topográfico, es el plano de curvas a nivel (Figura 147), el cual nos brinda las diferencias entre superficies planas y aquellas superficies empinadas.

Figura 147

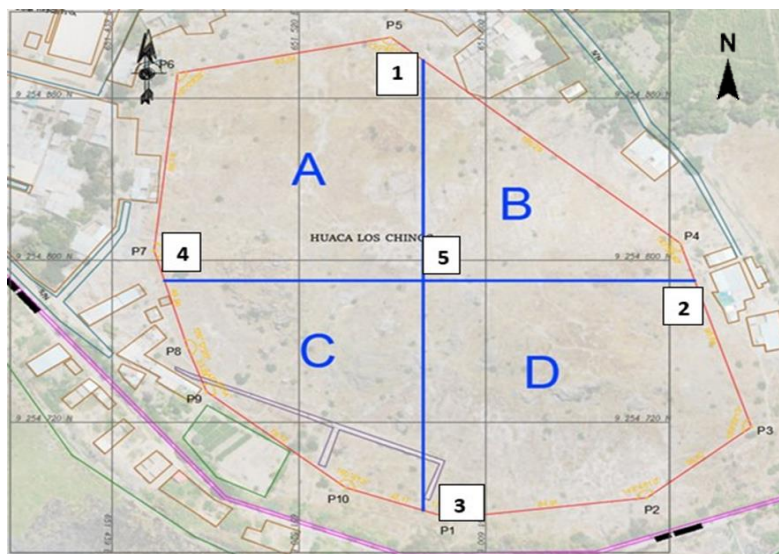
Plano de curvas a nivel de Huaca Los Chinos, escala 1/1250.



Después de tener una ubicación precisa y posterior trazado de la poligonal en Huaca los Chinos, se procede a la sectorización del sitio, tomando en cuenta 4 sectores: A, B, C, D. (Figura 148).

Figura 148

Sectorización Huaca Los Chinos.



Nota. Autocad Civil 3D.

Los puntos fueron tomados siguiendo el orden de Norte, Este, Sur, Oeste y el punto central del cual se procedió el trazado en línea recta hacia la poligonal del sitio. En la siguiente tabla 8 se presentarán las coordenadas de los vértices, de las líneas trazadas para la sectorización:

Tabla 8

Coordenadas de vértices de las líneas trazadas en la sectorización de Huaca los Chinos.

| ORIENTACIÓN | ESTE | NORTE |
|--------------------|-------------|--------------|
| NORTE (1) | 651573.166 | 9254898.738 |
| ESTE (2) | 651689.431 | 9254789.953 |
| SUR (3) | 651573.166 | 9254676.521 |
| OESTE (4) | 651462.389 | 9254789.953 |
| CENTRO (5) | 651573.166 | 9254789.953 |

Luego de tener los planos de ubicación, la topografía y posterior sectorización de la zona a prospectar se procedió al reconocimiento del sitio arqueológico (Figura 149); se inició con el ascenso por el sector oeste, para la colocación de estacas en el centro de nuestra poligonal, una vez ubicado el centro (Figura 150), se procedió a la colocación de estacas y tendido de hilo, para poder diferenciar entre sectores y tener una precisa identificación de materiales.

Figura 149

Reconocimiento, Huaca Los Chinos.



Figura 150

Ubicación del centro de la poligonal en Huaca Los Chinos.



Luego de la sectorización del sitio, se procedió a la identificación de material, para lo cual se hizo un registro in situ (Figura 152 y 153).

El proceso de identificación se realizó a pie en línea recta y dividiéndose en subsectores (Figura 151), esta metodología se debe a la altitud del promontorio rocoso. Para la diferenciación entre subsectores se tomará en cuenta el mosaico de elevación, (Figura 146). La altura superior, representado en color rojo y amarillo; y como subsector medio - inferior, representado en los colores verde y azul.

Figura 151

Recorrido para la identificación de material cultural.

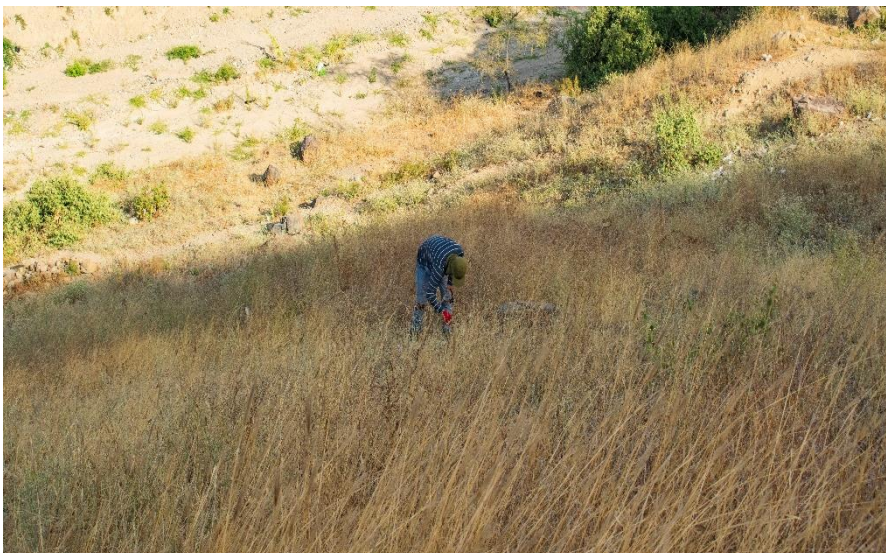


Figura 152

Registro de material.



Figura 153

Toma de medidas del material cerámico.



3.2.3.2. Sector A.

El sector A, ubicado entre los ejes Oeste y Norte del sitio, este sector presento regular material identificado, esto a pesar de la ubicación de la población en todos los alrededores del promontorio rocoso. A su vez la presencia de abundante vegetación dificulto la visión para la identificación de material cultural.

Durante el recorrido se pudo identificar fragmentaria de cerámica, entre los que se encuentra; 188 fragmentos de cerámica no diagnóstica y 133 fragmentos de cerámica diagnóstica, entre los que se identificaron 52 fragmentos de olla (Figura 157, 160 y 162), 14 fragmento de plato (Figura 161), 2 fragmentos de botella (Figura 163), 19 fragmentos de cántaro, 32 fragmentos de tinaja (Figura 154, 155 y 156), 2 fragmentos de rallador (Figura 158) y 12 fragmentos no determinados (Figura 159) (ND).

Figura 154

Fragmento de tinaja.



| | |
|---------------------------|-----------|
| Subsector superior | 11 |
| Forma | F. tinaja |
| Altura | 13,4 cm |
| Ancho | 5,1 cm |
| Peso | 78 g |
| Grosor | 0,6 cm |
| Decoración | Paleteado |

Descripción: vasija abierta, no presenta borde, ni labio. Técnica de manufactura es modelado, cocción oxidante, con un acabado superficial alisado. Presenta en el cuerpo diseños geométricos de olas.

Figura 155

Fragmento de tinaja.



| | |
|---------------------------|-----------|
| Subsector superior | 14 |
| Forma | F. tinaja |
| Altura | 13,4 cm |
| Ancho | 5,1 cm |
| Peso | 78 g |
| Grosor (labio) | 0,6 cm |
| Decoración | ND |

Descripción: vasija abierta, por su dirección tiene borde invertido, labio engrosado redondeado exterior. Técnica de manufactura es modelado, cocción oxidante, con un acabado superficial alisado. Presenta en el cuerpo tres diseños con impresión con dedos.

Figura 156

Fragmento de tinaja.



| | |
|---------------------------|-----------|
| Subsector superior | 19 |
| Forma | F. tinaja |
| Altura | 6,6 cm |
| Ancho | 4,1 cm |
| Peso | 61 g |
| Grosor (labio) | 0,8 cm |
| Decoración | Incisión |

Descripción: vasija abierta, por su dirección tiene borde recto, labio recto aplanado. Técnica de manufactura es modelado, cocción oxidante, con un acabado superficial alisado. Presenta en el cuerpo diseños de rombos con incisiones laterales, tiene pintura.

Figura 157

Fragmento de olla.



| | |
|---------------------------|----------------|
| Subsector superior | 25 |
| Forma | F. olla |
| Altura | 3 cm |
| Ancho | 3,4 cm |
| Peso | 7 g |
| Grosor (labio) | 0,3 cm |
| Decoración | Piel de ganso. |

Descripción: vasija cerrada, no presenta cuello, borde, ni labio. Técnica de manufactura es modelado, cocción oxidante, con un acabado superficial alisado. Presenta en el cuerpo tres diseños lineales, uno horizontal y dos verticales.

Figura 158

Fragmento de rallador.



| | |
|---------------------------|-------------|
| Subsector superior | 44 |
| Forma | F. rallador |
| Altura | 7,6 cm |
| Ancho | 4,9 cm |
| Peso | 54 g |
| Grosor (labio) | 0,3 cm |
| Decoración | Incisión |

Descripción: vasija abierta, por su dirección tiene borde recto, labio recto aplanado. Técnica de manufactura es modelado, cocción oxidante, con un acabado superficial alisado. Presenta incisiones profundas en la parte interior de la pieza.

Figura 159

Fragmento no identificado (ND).



| | |
|---------------------------|-----------|
| Subsector superior | 54 |
| Forma | F. ND |
| Altura | 2,3 cm |
| Ancho | 2,6 cm |
| Peso | 4 g |
| Grosor | 0,2 cm |
| Decoración | Incisión |

Descripción: vasija cerrada, no presenta borde, ni labio. Técnica de manufactura es modelado, cocción oxidante, con un acabado superficial pulido. Presenta en el cuerpo incisiones, forma granos de arroz.

Figura 160

Fragmento de olla.



| | |
|---------------------------|-----------|
| Subsector superior | 71 |
| Forma | F. olla |
| Altura | 4,9 cm |
| Ancho | 3,5 cm |
| Peso | 12 g |
| Grosor | 0,2 cm |
| Decoración | Paleteado |

Descripción: vasija cerrada, no presenta cuello, borde, ni labio. Técnica de manufactura es modelado, cocción oxidante, con un acabado superficial alisado. Presenta en el cuerpo diseños geométricos de triángulos.

Figura 161

Fragmento de plato.



| | |
|-------------------|-----------|
| Subsector | |
| Medio | 85 |
| Inferior | |
| Forma | F. plato |
| Altura | 7,6 cm |
| Ancho | 6 cm |
| Peso | 38 g |
| Grosor | 0,7 cm |
| Decoración | ND |

Descripción: vasija abierta, no presenta borde, ni labio, base anular. Técnica de manufactura modelado, cocción oxidante, con un acabado superficial alisado.

Figura 162

Fragmento de olla.



| | |
|-------------------|------------|
| Subsector | |
| Medio | 128 |
| Inferior | |
| Forma | F. olla |
| Altura | 2,5 cm |
| Ancho | 3,5 cm |
| Peso | 6 g |
| Grosor | 0,4 cm |
| Decoración | Paleteado |

Descripción: vasija cerrada, no presenta cuello, borde, ni labio. Técnica de manufactura es modelado, cocción oxidante, con un acabado superficial alisado. Presenta en el cuerpo diseños geométricos de rombo con un círculo en el centro.

Figura 163

Fragmento de botella.



| | |
|-------------------|------------|
| Subsector | |
| Medio | 133 |
| Inferior | |
| Forma | F. botella |
| Altura | 2,4 cm |
| Ancho | 3,5 cm |
| Peso | 10 g |
| Grosor | 0,7 cm |
| Decoración | ND |

Descripción: vasija cerrada, no presenta gollete, borde, ni labio. Técnica de manufactura moldeado, cocción oxidante, con un acabado superficial alisado. Presenta un asa lateral cintada.

3.2.3.3. Sector B.

El sector B, ubicado entre los ejes Norte y Este del sitio, este sector presenta diversidad de materiales encontrados. Durante el recorrido se pudo identificar 2 materiales líticos (Figura 164), 6 restos malacológicos, entre los que se encuentra 5 *spondylus* (Figura 165) y 1 caracol terrestre (Figura 166).

Figura 164

Material lítico.



Figura 165

Restos malacológicos de Spondylus.



Figura 166

Restos malacológicos de Prisogaster niger.



Respecto a la descripción de cerámica se identificó; 127 fragmentos de cerámica, no diagnóstica y 143 fragmentos de cerámica diagnóstica, entre los que se encuentra, 53 fragmentos de olla (Figura 167 y 169), 24 fragmentos de plato (Figura 168 y 172), 35 fragmentos de cántaro (Figura 173), 20 fragmentos de tinaja (Figura 171), 3 fragmentos de rallador (Figura 170) y 8 fragmentos no determinados (ND).

Figura 167

Fragmento de olla.

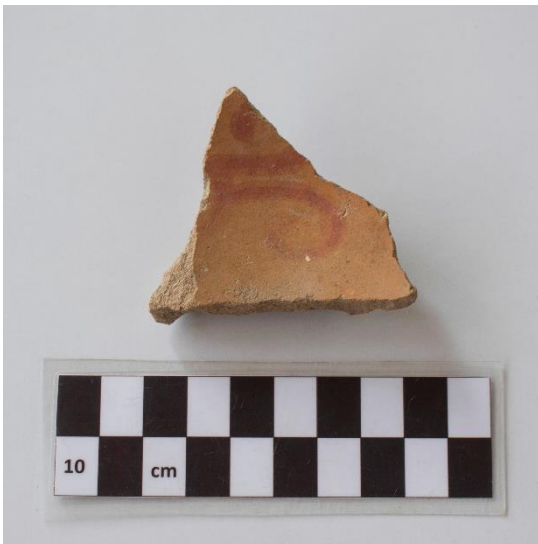


| | |
|---------------------------|-----------|
| Subsector superior | 6 |
| Forma | F. olla |
| Altura | 4,3 cm |
| Ancho | 5,4 cm |
| Peso | 32 g |
| Grosor | 0,6 cm |
| Decoración | Paleteado |

Descripción: vasija cerrada, no presenta cuello, borde, ni labio. Técnica de manufactura modelado, cocción reductora, con un acabado superficial alisado. Presenta diseños geométricos de rombos.

Figura 168

Fragmento de plato.



| | |
|---------------------------|-----------|
| Subsector superior | 14 |
| Forma | F. plato |
| Altura | 5,1 cm |
| Ancho | 5,3 cm |
| Peso | 22 g |
| Grosor | 0,6 cm |
| Decoración | Pintura |

Descripción: vasija abierta, no presenta borde, ni labio, base anular. Técnica de manufactura modelado, cocción oxidante, con un acabado superficial pulido. En la parte interior de la pieza, tiene un diseño de dos volutas.

Figura 169

Fragmento de olla.



| | |
|---------------------------|-----------|
| Subsector superior | 24 |
| Forma | F. olla |
| Altura | 7 cm |
| Ancho | 6,4 cm |
| Peso | 79 g |
| Grosor (labio) | 0,6 cm |
| Decoración | ND |

Descripción: vasija cerrada con cuello evertido divergente, por su dirección tiene borde evertido, labio redondeado. Técnica de manufactura modelado, cocción oxidante, con un acabado superficial alisado.

Figura 170

Fragmento de rallador.



| | |
|---------------------------|-------------|
| Subsector superior | 32 |
| Forma | F. rallador |
| Altura | 10,2 cm |
| Ancho | 8,6 cm |
| Peso | 201 g |
| Grosor | 1,8 cm |
| Decoración | Incisión |

Descripción: vasija abierta, no presenta borde, ni labio. Técnica de manufactura modelado, cocción oxidante, con un acabado superficial alisado. Presenta incisiones profundas en la parte interior de la pieza.

Figura 171

Fragmento de tinaja.



| | |
|---------------------------|-----------|
| Subsector superior | 35 |
| Forma | F. tinaja |
| Altura | 7,6 cm |
| Ancho | 9,7 cm |
| Peso | 243 g |
| Grosor (labio) | 3,1 cm |
| Decoración | Incisión |

Descripción: vasija abierta, por su dirección tiene borde invertido, labio engrosado redondeado exterior. Técnica de manufactura modelado, cocción oxidante, con un acabado superficial alisado. Presenta en el cuerpo incisiones onduladas.

Figura 172

Fragmento de plato.



| | |
|---------------------------|-----------|
| Subsector superior | 48 |
| Forma | F. plato |
| Altura | 5,4 cm |
| Ancho | 6,5 cm |
| Peso | 56 g |
| Grosor (labio) | 3,1 cm |
| Decoración | ND |
| Diámetro | 3,3 cm |

Descripción: vasija abierta, no presenta borde, ni labio, base anular. Técnica de manufactura modelado, cocción oxidante, con un acabado superficial alisado. Presencia de quema en la parte interior de la pieza.

Figura 173

Fragmento de cántaro.



| | |
|-----------------------|------------|
| Subsector | |
| Medio | 56 |
| Inferior | |
| Forma | F. cántaro |
| Altura | 4,4 cm |
| Ancho | 6,6 cm |
| Peso | 41 g |
| Grosor (labio) | |
| Decoración | Pintura |

Descripción: vasija cerrada con cuello evertido divergente, por su dirección tiene borde evertido, labio redondeado. Técnica de manufactura modelado, cocción oxidante, con un acabado superficial alisado.

Debemos mencionar a su vez que los materiales identificados en este sector, la totalidad de material malacológico y algunos fragmentos de cerámica, fueron reconocidos dentro de dos pozos de huaqueo (Figura 174 y 175) en el subsector superior. El primer pozo posee medidas de 1.40 m de largo y 1.20 m de ancho; el segundo pozo, 1m de largo y 90 cm de ancho.

Figura 174

Primer pozo de huaqueo.



Figura 175

Segundo pozo de huaqueo.



3.2.3.4. Sector C.

El sector C, ubicado entre los ejes Sur y Oeste, se logró identificar cinco tipos de materiales culturales; presencia de un petroglifo y malacológico en la zona superior, lítico en la parte media, arquitectura en la parte baja y fragmentos de cerámica a lo largo del recorrido del sector.

Se contabilizó, 3 muestras de lítico (Figura 176). Respecto al material malacológico, se contabilizó 11 muestras, entre ellos; 8 fragmentos de *spondylus* (Figura 177) y 3 caracoles de tierra (Figura 178).

Figura 176

Muestra del material lítico.



Figura 177

Fragmentos de Spondylus.



Figura 178

Muestra de Caracol terrestre (Scutalus proteus).



En cuanto a la identificación de los fragmentos de cerámica, se logró reconocer 187 fragmentos de cerámica no diagnóstica y 110 fragmentos de cerámica diagnóstica, entre los que se identificaron; 17 fragmentos de tinaja (Figura 181), 2 fragmentos de figurina (Figura 179), 11 fragmentos de plato (Figura 180 y 183), 44 fragmentos de olla, 3 fragmentos de botella (Figura 182 y 187), 23 fragmentos de cántaro (Figura 185 y 186), 1 fragmento de molde (Figura 184), 2 fragmentos de cuenco y 7 fragmentos no determinados (ND) .

Figura 179

Fragmento de figurina.



| | |
|---------------------------|-------------|
| Subsector superior | 2 |
| Forma | F. figurina |
| Altura | 3,2 cm |
| Ancho | 4,1 cm |
| Peso | 24 g |
| Grosor | 0,6 cm |
| Decoración | Escultórico |

Descripción: figurina antropomorfa, personaje con turbante, ojos almendrados. Técnica de manufactura moldeado, cocción oxidante, con un acabado superficial alisado.

Figura 180

Fragmento de plato.



| | |
|---------------------------|----------|
| Subsector superior | 3 |
| Forma | F. plato |
| Altura | 3,5 cm |
| Ancho | 2,7 cm |
| Peso | 10 g |
| Grosor | 0,3 cm |
| Decoración | Pintura |

Descripción: vasija abierta, no presenta borde, ni labio. Técnica de manufactura modelado, cocción oxidante, con un acabado superficial pulido. Presenta en el cuerpo líneas de color rojo y blanco que dan la apariencia de una red.

Figura 181

Fragmento de tinaja.



| | |
|---------------------------|-----------|
| Subsector superior | 6 |
| Forma | F. tinaja |
| Altura | 8,7 cm |
| Ancho | 15,2 cm |
| Peso | 424 g |
| Grosor (labio) | 3,1 cm |
| Decoración | Paleteado |

Descripción: vasija abierta, por su dirección tiene borde evertido, labio engrosado redondeado exterior. Técnica de manufactura modelado, cocción oxidante, con un acabado superficial alisado. Presenta en el cuerpo diseños que dan la apariencia de una rejilla.

Figura 182

Fragmento de botella.



| | |
|---------------------------|------------|
| Subsector superior | 15 |
| Forma | F. botella |
| Altura | 4,4 cm |
| Ancho | 5,7 cm |
| Peso | 49 g |
| Grosor (labio) | 0,6 cm |
| Decoración | Pintura |

Descripción: vasija cerrada con gollete cónico y asa lateral cintada, labio redondeado. Técnica de manufactura modelado, cocción oxidante, con un acabado superficial alisado.

Figura 183

Fragmento de plato.



| | |
|---------------------------|-----------|
| Subsector superior | 44 |
| Forma | F. plato |
| Altura | 6,4 cm |
| Ancho | 3,8 cm |
| Peso | 33 g |
| Grosor (labio) | 0,4 cm |
| Decoración | Pintura |

Descripción: vasija abierta, por su forma tiene borde directo, labio redondeado. Técnica de manufactura modelado, cocción oxidante, con un acabado superficial exterior alisado, en la parte interior presenta pulido.

Figura 184

Fragmento de molde.



| | |
|---------------------------|-----------|
| Subsector superior | 51 |
| Forma | F. molde |
| Altura | 3,3 cm |
| Ancho | 5,7 cm |
| Peso | 30 g |
| Grosor | 0,6 cm |
| Decoración | ND |

Descripción: molde bivalvo, en el interior se nota el diseño de un ojo. Técnica de manufactura modelado, cocción oxidante, con un acabado superficial alisado.

Figura 185

Fragmento de cántaro.



| | |
|---------------------------|------------|
| Subsector superior | 52 |
| Forma | F. cántaro |
| Altura | 5,4 cm |
| Ancho | 3,8 cm |
| Peso | 30 g |
| Grosor (labio) | 0,4 cm |
| Decoración | ND |

Descripción: vasija cerrada con cuello evertido divergente, por su forma tiene borde evertido, labio redondeado. Técnica de manufactura modelado, cocción oxidante, con un acabado superficial alisado. Presenta en el cuello impresiones de dedos que dan la forma de unos ojos.

Figura 186

Fragmento de cántaro.



| | |
|---------------------------------|------------|
| Subsector Medio Inferior | 86 |
| Forma | F. cántaro |
| Altura | 5,5 cm |
| Ancho | 3,3 cm |
| Peso | 27 g |
| Grosor | 0,6 cm |
| Decoración | Aplicación |

Descripción: vasija cerrada con cuello evertido divergente, por su forma tiene borde evertido, labio redondeado. Técnica de manufactura modelado, cocción oxidante, con un acabado superficial alisado. Presenta en el cuello una aplicación de un ojo circular.

Figura 187

Fragmento de botella.



| | |
|-----------------------|-------------|
| Subsector | |
| Medio Inferior | 88 |
| Forma | F. botella |
| Altura | 4 cm |
| Ancho | 2,9 cm |
| Peso | 15 g |
| Grosor | 0,4 cm |
| Decoración | Escultórica |

Descripción: vasija cerrada, no presenta cuello, borde, ni labio. Técnica de manufactura moldeado, cocción oxidante, con un acabado superficial alisado. Presenta una aplicación de una oreja.

La arquitectura de este sector se encuentra en malas condiciones, debido al avance de la población en esta zona, lo que ha ocasionado pérdida de los muros, incluso uso de los adobes para construcción (Figura 194). Estos muros de tapiales solo se registraron en el sector “c” (Figura 188, 189, 190, 191, 192 y 193), el primer muro en el lado Sur-Oeste, en eje Oeste – Este, tiene 48,4 metros de largo, 1,10 metros de ancho y 5,20 metros de altura. Segundo muro en el lado Sur-Oeste, eje Sur – Norte, tiene 21,7 metros de largo, 1,10 metros de ancho y 5,20 metros de altura. Tercer muro en el lado Sur-Oeste, eje Sur-Norte, tiene 18,3 metros de largo, 1,10 metros de ancho y 5,20 metros de altura. Cuarto muro lado Sur-Oeste, eje Oeste – Este, tiene 59,5 metros de largo, 1,10 metros de ancho y 5,20 metros de altura. Quinto muro lado Sur-Oeste, eje Sur – Norte, tiene 5 metros de largo, 1,10 metros de ancho y 59,5 metros de altura.

Figura 188

Arquitectura del sector C, vista este.



Figura 189

Imagen en 3D de la arquitectura en la parte baja.



Nota. Agisoft Metashape.

Figura 190

Medidas de los muros identificados.

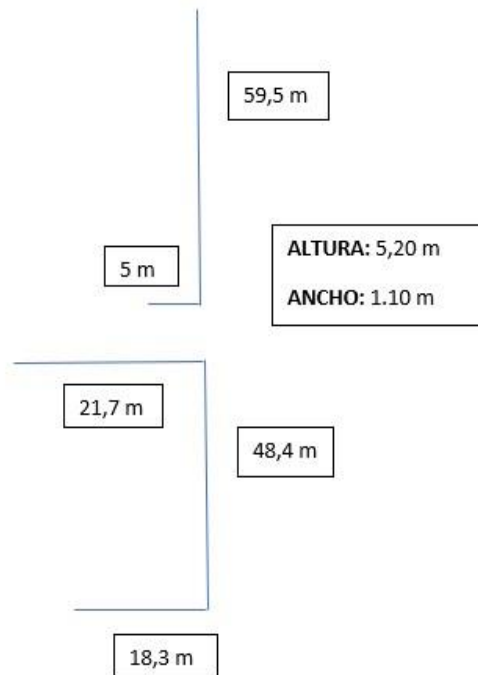


Figura 191

Detalle de la altura de los muros.



Figura 192

Vista lateral de la arquitectura.



Figura 193

Uso de los muros por parte de los pobladores.



Figura 194

Detalle del uso de adobes en las construcciones actuales.



Un aspecto importante, es la presencia de abundantes fragmentos de cerámica dentro del proceso de manufactura de los adobes en los interiores de los muros (Figura 195).

Figura 195

Detalle del interior de los muros.



Respecto al petroglifo hallado (Figura 196), se logró identificar un ser antropomorfo, en la cima del sector, dentro de un conjunto de

rocas. Personaje con rasgos antropomorfo estilizado, tiene la cabeza circular, no presenta rasgos faciales, una sección alargada vincula las extremidades con la cabeza. Las extremidades superiores las tiene flexionadas hacia abajo, las extremidades inferiores están en una postura como si estuviera caminando. Sobresale un apéndice alargado entre las piernas del personaje identificado (Figura 197).

Figura 196

Petroglifo en la cima del sector.

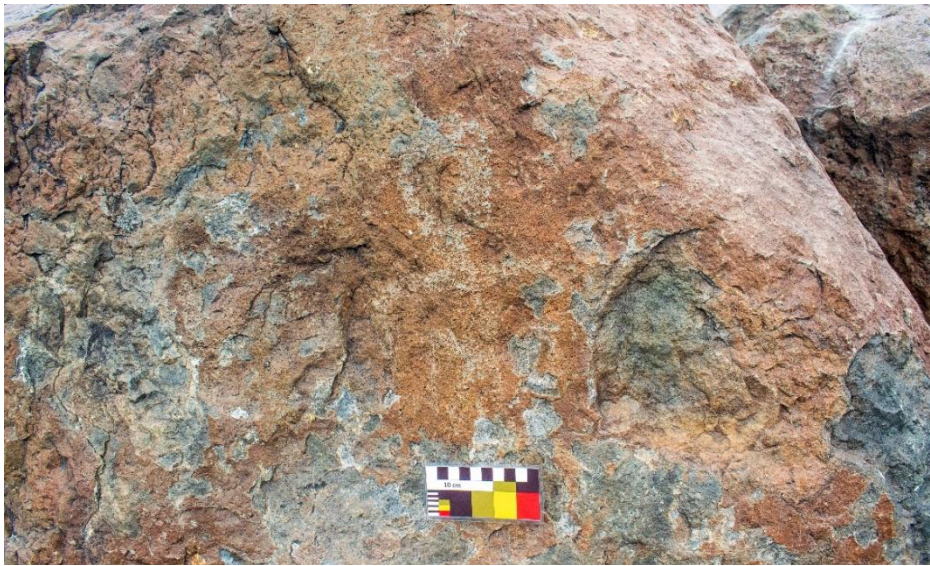
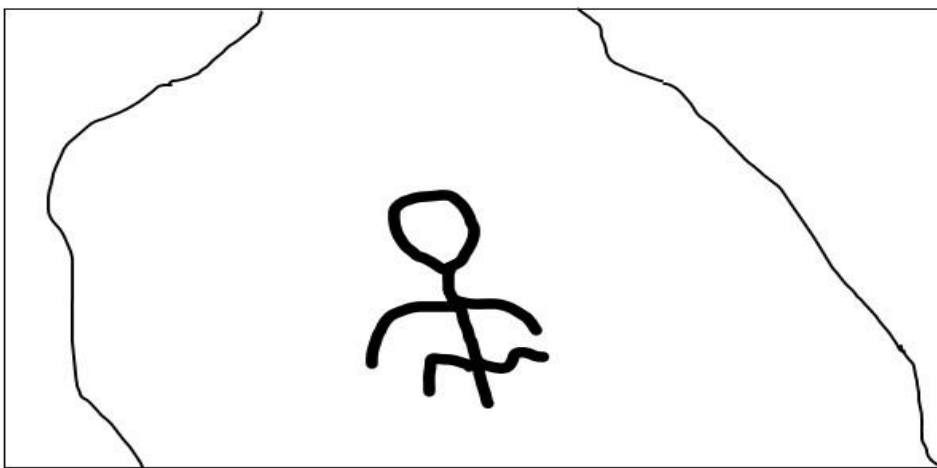


Figura 197

Recreación digitalizada del petroglifo.



3.2.3.5. Sector D.

El sector D, ubicado entre los ejes Sur y Este del sitio, presentó una gran diversidad de material encontrado, esto debido a la gran

cantidad de pozos de huaqueo que han dejado esparcido por este sector gran cantidad de material cultural identificable.

Uno de los primeros materiales reconocidos en campo son dos fragmentos de cobre arsenical (Figura 198), encontrado en la parte baja del sector.

Figura 198

Viruta de cobre arsenical.



A su vez se identificó 5 piezas de material lítico (Figura 199), en cuanto al material malacológico, se encontró en la parte superior del sector, se reconoció 21 muestras malacológicas; 12 *spondylus* (Figura 201), 2 caracol de tierra y 7 *donax obesulus* (Figura 200).

Figura 199

Muestra de material lítico.



Figura 200

Muestras de material Malacológico.



Nota. *Donax obesulus* (Izquierda), caracol de tierra (*Scutalus proteus*) (Derecha).

Figura 201

Muestra de Spondylus.



El huaqueo que se ha producido en este sector, permitió contabilizar gran cantidad de cerámica; un total de 409 fragmentos no diagnóstico; 648 fragmentos diagnóstico, entre ellos 81 fragmentos de tinaja (Figura 208 y 226), 90 fragmentos de cántaro (Figura 202, 207, 211, 220, 232, 233 y 235), 299 fragmentos de olla (Figura 204, 205, 206, 209, 213, 215, 216, 219, 221, 222, 223, 227, 228 y 230), 102 fragmentos de plato (Figura 203), 20 fragmentos de botella (Figura 212, 217, 224, 225, 229 y 231), 21 fragmentos de cuenco, 10 fragmentos de rallador (Figura 234), 1 crisol completo (Figura 210), 1 fragmento de figurina (Figurina 214) y 23 fragmentos no determinados (ND) (Figura 218).

Figura 202

Fragmento de cántaro.



| | |
|---------------------------|------------|
| Subsector superior | 5 |
| Forma | F. cántaro |
| Altura | 9,3 cm |
| Ancho | 7,1 cm |
| Peso | 102 g |
| Grosor (labio) | 0,7 cm |
| Decoración | ND |

Descripción: vasija cerrada con cuello evertido divergente, por su dirección tiene borde evertido, labio redondeado. Técnica de manufactura modelado, cocción oxidante, con un acabado superficial alisado.

Figura 203

Fragmento de plato.



| | |
|---------------------------|-----------|
| Subsector superior | 15 |
| Forma | F. plato |
| Altura | 3,7 cm |
| Ancho | 9,4 cm |
| Peso | 55 g |
| Grosor (labio) | 0,6 cm |
| Decoración | Pintura |

Descripción: vasija abierta, no presenta borde, ni labio, soporte anular. Técnica de manufactura modelado, cocción oxidante, con un acabado superficial pulido. Presenta un orificio circular en el fondo de la pieza.

Figura 204

Fragmento de olla.



| | |
|---------------------------|-----------|
| Subsector superior | 25 |
| Forma | F. olla |
| Altura | 5,4 cm |
| Ancho | 5,6 cm |
| Peso | 44 g |
| Grosor (labio) | 0,7 cm |
| Decoración | Paleteado |

Descripción: vasija cerrada con cuello carenado, por su forma tiene borde carenado, labio redondeado. Técnica de manufactura modelado, cocción oxidante, con un acabado superficial alisado. Presenta en el cuerpo diseños geométricos de rombo, presencia de quema en la parte exterior de la pieza.

Figura 205

Fragmento de olla.



| | |
|---------------------------|-----------|
| Subsector superior | 36 |
| Forma | F. olla |
| Altura | 6,1 cm |
| Ancho | 6,3 cm |
| Peso | 31 g |
| Grosor | 0,5 cm |
| Decoración | Paleteado |

Descripción: vasija cerrada, no presenta cuello, borde, ni labio. Técnica de manufactura modelado, cocción oxidante, con un acabado superficial alisado. Presenta en el cuerpo diseños geométricos de rombo.

Figura 206

Fragmento de olla.



| | |
|---------------------------|-----------|
| Subsector superior | 56 |
| Forma | F. olla |
| Altura | 5,3 cm |
| Ancho | 4,1 cm |
| Peso | 18 g |
| Grosor | 0,4 cm |
| Decoración | Paleteado |

Descripción: vasija cerrada, no presenta cuello, borde, ni labio. Técnica de manufactura modelado, cocción reductora, con un acabado superficial alisado. Presenta en el cuerpo diseños geométricos de rombo con un círculo en el centro.

Figura 207

Fragmento de cántaro.



| | |
|---------------------------|------------|
| Subsector superior | 120 |
| Forma | F. cántaro |
| Altura | 9 cm |
| Ancho | 7,7 cm |
| Peso | 82 g |
| Grosor (labio) | 0,6 cm |
| Decoración | Pintura |

Descripción: vasija cerrada con cuello evertido divergente, por su dirección tiene borde evertido, labio redondeado. Técnica de manufactura modelado, cocción oxidante, con un acabado superficial alisado.

Figura 208

Fragmento de tinaja.



| | |
|---------------------------|------------|
| Subsector superior | 128 |
| Forma | F. tinaja |
| Altura | 6,4 cm |
| Ancho | 8,5 cm |
| Peso | 62 g |
| Grosor | 0,7 cm |
| Decoración | Incisión |

Descripción: vasija abierta, no presenta borde, ni labio. Técnica de manufactura modelado, cocción oxidante, con un acabado superficial pulido. Presenta en el cuerpo diseños con doble círculo, impronta de dedos dejada por el productor local.

Figura 209

Fragmento de olla.



| | |
|---------------------------------|------------|
| Subsector Medio Inferior | 164 |
| Forma | F. olla |
| Altura | 4,8 cm |
| Ancho | 7,6 cm |
| Peso | 49 g |
| Grosor (labio) | 0,7 cm |
| Decoración | Pintura |

Descripción: vasija cerrada con cuello carenado, por su forma tiene borde carenado, labio redondeado. Técnica de manufactura modelado, cocción oxidante, con un acabado superficial alisado. Presenta en el cuerpo diseños geométricos de rombo.

Figura 210

Crisol.



| | |
|-------------------|------------|
| Subsector | |
| Medio | 209 |
| Inferior | |
| Forma | Crisol |
| Altura | 5 cm |
| Ancho | 3,6 cm |
| Peso | 44 g |
| Diámetro | 2,2 cm |
| Decoración | ND |

Descripción: vasija cerrada con cuello evertido divergente, por su dirección tiene borde evertido, labio redondeado, cuerpo globular y la base plana. Técnica de manufactura modelado, cocción oxidante, con un acabado superficial alisado.

Figura 211

Fragmento de cántaro.



| | |
|-----------------------|------------|
| Subsector | |
| Medio | 210 |
| Inferior | |
| Forma | F. cántaro |
| Altura | 6,7 cm |
| Ancho | 6,6 cm |
| Peso | 56 g |
| Grosor (labio) | 0,5 cm |
| Decoración | Paleteado |

Descripción: vasija cerrada con cuello evertido divergente, por su dirección tiene borde evertido, labio redondeado. Técnica de manufactura modelado, cocción oxidante, con un acabado superficial alisado. En la parte inferior del cuello presenta diseños geométricos de círculos concéntricos.

Figura 212

Fragmento de botella.



| | |
|-------------------|------------|
| Subsector | |
| Medio | 255 |
| Inferior | |
| Forma | F. botella |
| Altura | 4,2 cm |
| Ancho | 3,7 cm |
| Peso | 26 g |
| Grosor | 0,4 cm |
| Decoración | ND |

Descripción: vasija cerrada con gollete cónico y asa lateral cintada, labio redondeado. Técnica de manufactura modelado, cocción oxidante, con un acabado superficial alisado.

Figura 213

Fragmento de olla.



| | |
|-----------------------|------------|
| Subsector | |
| Medio | 262 |
| Inferior | |
| Forma | F. olla |
| Altura | 3,8 cm |
| Ancho | 4,5 cm |
| Peso | 31 g |
| Grosor (labio) | 0,4 cm |
| Decoración | Aplicación |

Descripción: vasija cerrada con cuello recto convexo y asa lateral lobulada con un círculo en el centro, labio ojival. Técnica de manufactura modelado, cocción reductora, con un acabado superficial alisado.

Figura 214

Fragmento de figurina.



| | |
|-------------------|-------------|
| Subsector | |
| Medio | 264 |
| Inferior | |
| Forma | F. figurina |
| Altura | 4 cm |
| Ancho | 5,3 cm |
| Peso | 22 g |
| Grosor | 0,5 cm |
| Decoración | Escultórica |

Descripción: figurina zoomorfa, parte de la cabeza del animal. Técnica de manufactura moldeado, cocción oxidante, con un acabado superficial alisado.

Figura 215

Fragmento de olla.



| | |
|-------------------|------------|
| Subsector | |
| Medio | 278 |
| Inferior | |
| Forma | F. olla |
| Altura | 6,2 cm |
| Ancho | 5,4 cm |
| Peso | 33 g |
| Grosor | 0,6 cm |
| Decoración | Paleteado |

Descripción: vasija cerrada, no presenta cuello, borde, ni labio. Técnica de manufactura modelado, cocción oxidante, con un acabado superficial alisado. Presenta en el cuerpo diseños geométricos, improntas de huellas dejado por el productor local. Presencia de quema en la parte exterior de la pieza.

Figura 216

Fragmento de olla.



| | |
|-------------------|------------|
| Subsector | |
| Medio | 289 |
| Inferior | |
| Forma | F. olla |
| Altura | 4,6 cm |
| Ancho | 5,4 cm |
| Peso | 32 g |
| Grosor | 0,6 cm |
| Decoración | Paleteado |

Descripción: vasija cerrada, no presenta cuello, borde, ni labio. Técnica de manufactura modelado, cocción oxidante, con un acabado superficial alisado. Presenta en el cuerpo diseños geométricos de soles con doble círculo en su interior, improntas de huellas dejado por el productor local. Presencia de quema en la parte exterior de la pieza

Figura 217

Fragmento de botella.



| | |
|-------------------|------------|
| Subsector | |
| Medio | 300 |
| Inferior | |
| Forma | F. botella |
| Altura | 2,9 cm |
| Ancho | 5,7 cm |
| Peso | 20 g |
| Grosor | 0,5 cm |
| Decoración | Champlevé |

Descripción: vasija cerrada, no presenta gollete, borde, ni labio. Técnica de manufactura moldeado, cocción oxidante, con un acabado superficial bruñido. Presenta en el cuerpo diseños escalonados.

Figura 218

Fragmento no determinado (ND).



| | |
|-------------------|------------|
| Subsector | |
| Medio | 304 |
| Inferior | |
| Forma | F. ND |
| Altura | 3,5 cm |
| Ancho | 5 cm |
| Peso | 17 g |
| Grosor | 0,4 cm |
| Decoración | Paleteado |

Descripción: vasija cerrada, no presenta cuello, borde, ni labio. Técnica de manufactura modelado, cocción oxidante, con un acabado superficial alisado. Presenta en el cuerpo diseños geométricos, tienen dos bandas horizontales de pintura.

Figura 219

Fragmento de olla.



| | |
|-------------------|------------|
| Subsector | |
| Medio | 309 |
| Inferior | |
| Forma | F. olla |
| Altura | 2,8 cm |
| Ancho | 4,4 cm |
| Peso | 16 g |
| Grosor | 0,4 cm |
| Decoración | Aplicación |

Descripción: vasija cerrada, no presenta cuello, borde, ni labio. Técnica de manufactura modelado, cocción oxidante, con un acabado superficial alisado. Presenta un asa lateral lobulada con un círculo en el centro, una banda horizontal de pintura.

Figura 220

Fragmento de cántaro.



| | |
|-------------------|------------|
| Subsector | |
| Medio | 349 |
| Inferior | |
| Forma | F. cántaro |
| Altura | 4,5 cm |
| Ancho | 4,5 cm |
| Peso | 29 g |
| Grosor | 0,6 cm |
| Decoración | Aplicación |

Descripción: vasija cerrada con cuello evertido divergente, por su dirección tiene borde evertido, labio redondeado. Técnica de manufactura modelado, cocción oxidante, con un acabado superficial alisado. Presenta en el cuello diseño de un ojo granos de café.

Figura 221

Fragmento de olla.



| | |
|-------------------|------------|
| Subsector | |
| Medio | 350 |
| Inferior | |
| Forma | F. olla |
| Altura | 5,5 cm |
| Ancho | 3,4 cm |
| Peso | 29 g |
| Grosor | 0,3 cm |
| Decoración | Paleteado |

Descripción: vasija cerrada, no presenta cuello, borde, ni labio. Técnica de manufactura modelado, cocción reductora, con un acabado superficial alisado. Presenta un asa lateral cintada, con diseños geométricos de rombos con un círculo en el centro.

Figura 222

Fragmento de olla.



| | |
|-------------------|------------|
| Subsector | |
| Medio | 385 |
| Inferior | |
| Forma | F. olla |
| Altura | 5,5 cm |
| Ancho | 3,4 cm |
| Peso | 29 g |
| Grosor | 0,4 cm |
| Decoración | Paleteado |

Descripción: vasija cerrada, no presenta cuello, borde, ni labio. Técnica de manufactura modelado, cocción oxidante, con un acabado superficial alisado. Presenta en el cuerpo diseños geométricos de rombos con un círculo en el centro y una banda horizontal de pintura en la parte superior de la pieza.

Figura 223

Fragmento de olla.



| | |
|-------------------|------------|
| Subsector | |
| Medio | 391 |
| Inferior | |
| Forma | F. olla |
| Altura | 3,7 cm |
| Ancho | 3,5 cm |
| Peso | 15 g |
| Grosor | 0,6 cm |
| Decoración | Aplicación |

Descripción: vasija cerrada, no presenta cuello, borde, ni labio. Técnica de manufactura modelado, cocción oxidante, con un acabado superficial alisado. Presenta una aplicación de un búho, donde los ojos se hicieron con impresión de dedos. Presencia de quema en la parte exterior de la pieza.

Figura 224

Fragmento de botella.



| | |
|-------------------|---------------|
| Subsector | |
| Medio | 398 |
| Inferior | |
| Forma | F. botella |
| Altura | 3,7 cm |
| Ancho | 3,5 cm |
| Peso | 14 g |
| Grosor | 0,5 cm |
| Decoración | Piel de ganso |

Descripción: vasija cerrada, no presenta gollete, borde, ni labio. Técnica de manufactura moldeado, cocción reductora, con un acabado superficial alisado. Presenta en el cuerpo diseños de olas con círculos en su interior.

Figura 225

Fragmento de botella.



| | |
|-------------------|------------|
| Subsector | |
| Medio | 426 |
| Inferior | |
| Forma | F. botella |
| Altura | 1,8 cm |
| Ancho | 3,4 cm |
| Peso | 6 g |
| Grosor | 0,4 cm |
| Decoración | Moldeado |

Descripción: vasija cerrada, no presenta gollete, borde, ni labio. Técnica de manufactura moldeado, cocción oxidante, con un acabado superficial bruñido. Presenta en el cuerpo diseños de bajo relieve de piernas.

Figura 226

Fragmento de tinaja.



| | |
|-------------------|------------|
| Subsector | |
| Medio | 445 |
| Inferior | |
| Forma | F. tinaja |
| Altura | 11,6 cm |
| Ancho | 8,9 cm |
| Peso | 85 g |
| Grosor | 0,4 cm |
| Decoración | Incisión |

Descripción: vasija abierta, no presenta borde, ni labio. Técnica de manufactura modelado, cocción oxidante, con un acabado superficial alisado. Presenta en el cuerpo diseños geométricos de doble círculo.

Figura 227

Fragmento de olla.



| | |
|-------------------|------------|
| Subsector | |
| Medio | 453 |
| Inferior | |
| Forma | F. olla |
| Altura | 6,1 cm |
| Ancho | 6,8 cm |
| Peso | 50 g |
| Grosor | 0,7 cm |
| Decoración | Paletado |

Descripción: vasija cerrada, no presenta cuello, borde, ni labio. Técnica de manufactura modelado, cocción oxidante, con un acabado superficial alisado. Presenta en el cuerpo diseños geométricos de soles con círculos concéntricos. Presencia de quema en la parte exterior de la pieza.

Figura 228

Fragmento de olla.



| | |
|-------------------|---------------|
| Subsector | |
| Medio | 455 |
| Inferior | |
| Forma | F. olla |
| Altura | 6,8 cm |
| Ancho | 10,2 cm |
| Peso | 66 g |
| Grosor | 0,6 cm |
| Decoración | Piel de ganso |

Descripción: vasija cerrada, no presenta cuello, borde, ni labio. Técnica de manufactura modelado, cocción oxidante, con un acabado superficial alisado. Presenta en el cuerpo diseños geométricos de círculos.

Figura 229

Fragmento de botella.



| | |
|-------------------|------------|
| Subsector | |
| Medio | 490 |
| Inferior | |
| Forma | F. botella |
| Altura | 3,2 cm |
| Ancho | 4,9 cm |
| Peso | 18 g |
| Grosor | 0,4 cm |
| Decoración | ND |

Descripción: vasija cerrada, no presenta gollete, borde, ni labio, base plana. Técnica de manufactura moldeado, cocción oxidante, con un acabado superficial pulido.

Figura 230

Fragmento de cántaro.



| | |
|-------------------|------------|
| Subsector | |
| Medio | 498 |
| Inferior | |
| Forma | F. cántaro |
| Altura | 4 cm |
| Ancho | 5 cm |
| Peso | 34 g |
| Grosor | 0,7 cm |
| Decoración | Aplicación |

Descripción: vasija cerrada con cuello carenado, por su forma tiene borde carenado, labio redondeado. Técnica de manufactura modelado, cocción oxidante, con un acabado superficial alisado. Presenta un asa lateral cintada con diseños geométricos de círculos.

Figura 231

Fragmento de botella.



| | |
|-------------------|---------------------|
| Subsector | |
| Medio | 571 |
| Inferior | |
| Forma | F. botella |
| Altura | 2,9 cm |
| Ancho | 3,7 cm |
| Peso | 8 g |
| Grosor | 0,3 cm |
| Decoración | Pintura negativa |

Descripción: vasija cerrada, no presenta gollete, borde, ni labio. Técnica de manufactura moldeado, cocción oxidante, con un acabado superficial alisado. Presenta en el cuerpo diseños de bandas horizontales y verticales de pintura negativa.

Figura 232

Fragmento de cántaro.



| | |
|-----------------------|------------|
| Subsector | |
| Medio | 582 |
| Inferior | |
| Forma | F. cántaro |
| Altura | 10 cm |
| Ancho | 15,3 cm |
| Peso | 375 g |
| Grosor (labio) | 0,7 cm |
| Decoración | Pintura |

Descripción: vasija cerrada con cuello evertido divergente, por su dirección tiene borde evertido, labio redondeado. Técnica de manufactura modelado, cocción oxidante, con un acabado superficial pulido.

Figura 233

Fragmento de cántaro.



| | |
|-------------------|------------|
| Subsector | |
| Medio | 589 |
| Inferior | |
| Forma | F. cántaro |
| Altura | 5,4 cm |
| Ancho | 5,9 cm |
| Peso | 66 g |
| Grosor | 0,8 cm |
| Decoración | Aplicación |

Descripción: Descripción: vasija cerrada, no presenta cuello, borde, ni labio. Técnica de manufactura modelado, cocción oxidante, con un acabado superficial alisado. Presenta una cara humana con arrugas.

Figura 234

Fragmento de rallador.



| | |
|-----------------------|-------------|
| Subsector | |
| Medio | 607 |
| Inferior | |
| Forma | F. rallador |
| Altura | 4,6 cm |
| Ancho | 8 cm |
| Peso | 53 g |
| Grosor (labio) | 0,8 cm |
| Decoración | Incisión |

Descripción: vasija abierta, por su dirección tiene borde invertido, labio redondeado. Técnica de manufactura modelado, cocción oxidante, con un acabado superficial alisado. Presenta incisiones profundas en la parte interior de la pieza.

Figura 235

Fragmento de cántaro.



| | |
|-----------------------|------------|
| Subsector | |
| Medio | 623 |
| Inferior | |
| Forma | F. cántaro |
| Altura | 3,7 cm |
| Ancho | 5,3 cm |
| Peso | 39 g |
| Grosor (labio) | 0,5 cm |
| Decoración | Aplicación |

Descripción: vasija cerrada con cuello evertido divergente con un asa lateral cintada, por su dirección tiene borde evertido, labio redondeado. Técnica de manufactura modelado, cocción oxidante, con un acabado superficial alisado.

3.2.4. Cerro Mirador.

Cerro Mirador, se encuentra ubicada en la zona sur este, respecto al centro del distrito de Pátapo, cuenta con acceso pavimentado hasta la cima del Cerro (Figura 236), esto se debe al uso del lugar como turístico. En la zona baja, media y alta del cerro Mirador se encuentra gran número de viviendas lo que ha reducido considerablemente su superficie libre.

Respecto a las vías de acceso hacia Cerro Mirador; contamos con una sola vía transitable, esto debido a que la población ha tomado posesión de gran parte de este promontorio. El acceso hacia el sitio se hace a partir de la vía principal, Chiclayo-Chota, entramos a la derecha en línea recta siguiendo el camino asfaltado, este camino se encuentra en subida, recta hacia lo que sería el mirador en la cima del cerro. Cerro Mirador sin duda es el promontorio de mayor accesibilidad y el que también ha sufrido en mayor parte la ocupación por la población.

Figura 236

Ruta de único acceso (señalado en rojo), hacia el Cerro Mirador.



3.2.4.1. Límites de Cerro Mirador.

| | |
|--|---|
| Norte: Cerro Pátapo (Figura 237) | Este: Huaca Los Chinos y Pulato (Figura 239) |
| Sur: Cerro Gallinazo y campos de cultivo (Figura 238) | Oeste: Cerro Mirador (Figura 240) |

Figura 237

Límite Norte de Cerro Mirador.

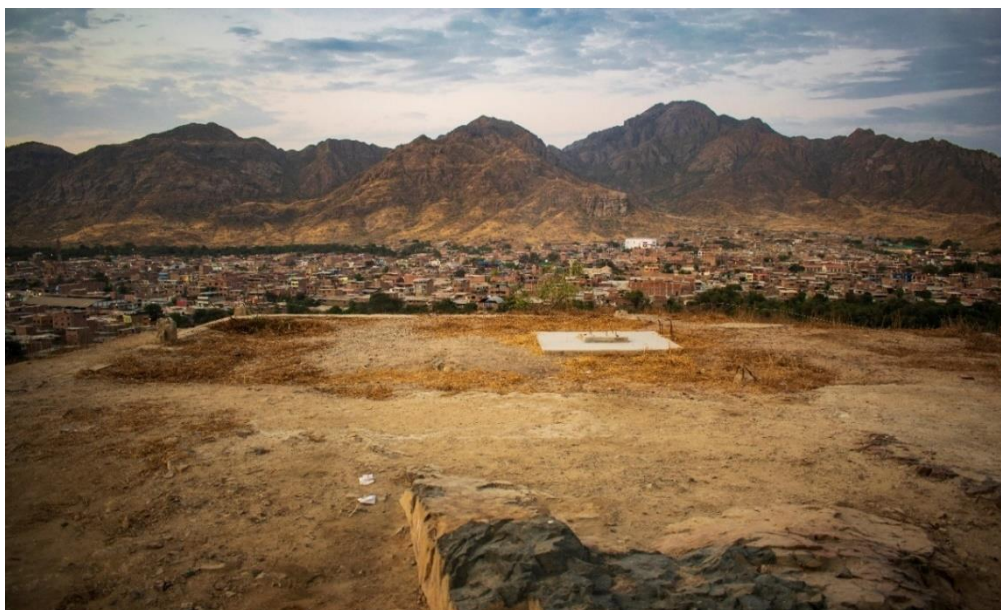


Figura 238

Límite Sur de Cerro Mirador.



Figura 239

Límite Este de Cerro Mirador.



Figura 240

Límite Oeste de Cerro Mirador.



Respecto a los planos de ubicación facilitados por el levantamiento topográfico; como primer punto se presentará un plano catastral (Figura 241), seguido del plano de ubicación con su respectiva poligonal del sitio prospectado (Figura 242 y 243).

Figura 241

Plano Catastral de Cerro Mirador, escala 1/7500.

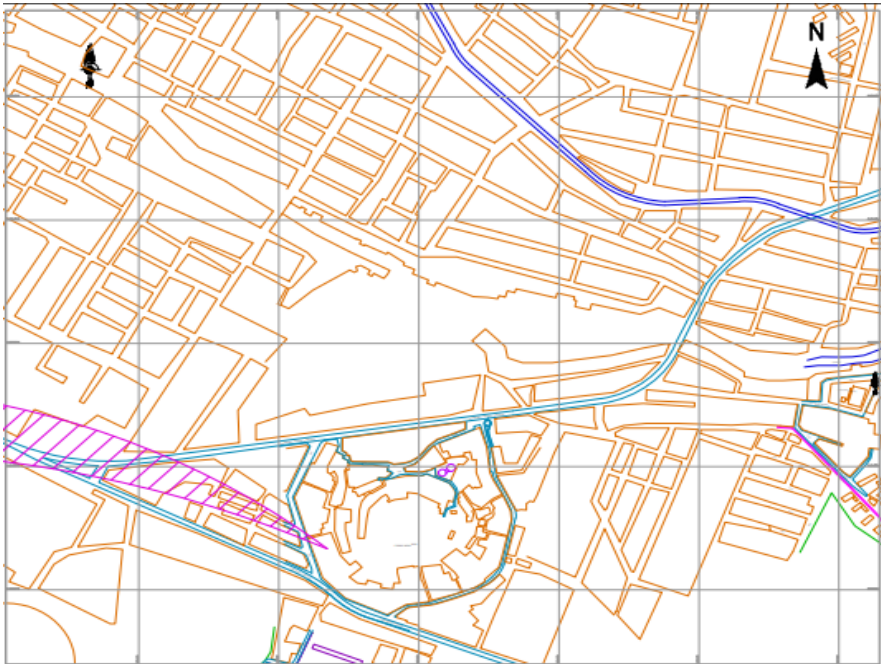


Figura 242

Plano de la poligonal trazada en Cerro Mirador, escala 1/750.

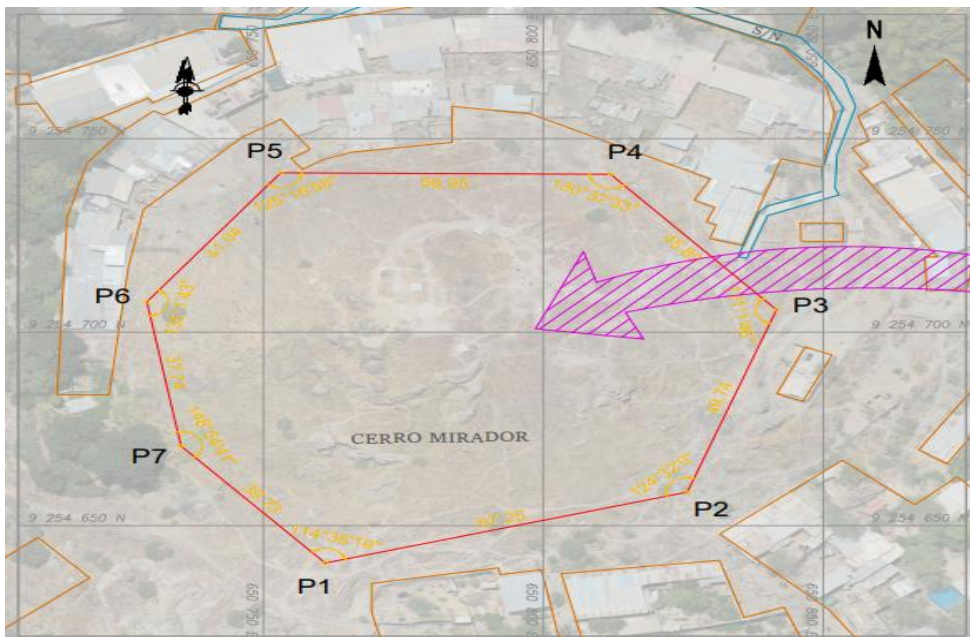





Figura 243

Ambos planos de ubicación comparten una misma leyenda.

| LEYENDA | |
|-------------------|---|
| DESCRIPCIÓN | SÍMBOLO |
| VÍAS DE ACCESO |  |
| CAMINO DE ACCESO |  |
| VIVIENDAS |  |
| ESTRUCTURA VARIAS |  |
| RUINAS |  |
| CULTIVOS |  |

El trazado poligonal contó con una serie de puntos de control, a partir de los cuales se realizó la toma de coordenadas (Tabla 9), las cuales se detallan a continuación:

Tabla 9

Coordenadas de los vértices de Cerro Mirador.

| CUADRO DE COORDENADAS | | | | | |
|-----------------------|---------|-------|------------|------------|-------------|
| VERTICE | LADO | DIST. | ANGULO | ESTE | NORTE |
| P1 | P1 - P2 | 67.25 | 114°35'19" | 650761.025 | 9254640.323 |
| P2 | P2 - P3 | 49.74 | 124°32'0" | 650825.724 | 9254658.666 |
| P3 | P3 - P4 | 45.89 | 121°1'46" | 650841.675 | 9254705.777 |
| P4 | P4 - P5 | 58.95 | 130°37'33" | 650812.014 | 9254740.795 |
| P5 | P5 - P6 | 41.04 | 125°16'58" | 650753.061 | 9254741.166 |
| P6 | P6 - P7 | 37.74 | 135°1'43" | 650729.147 | 9254707.815 |
| P7 | P7 - P1 | 39.73 | 148°54'41" | 650735.265 | 9254670.574 |

Los planos en planta nos brindan una detallada ubicación de Cerro Mirador, lo cual nos servirá para una posterior sectorización del sitio. Los datos que nos brinda estos mapas se basan principalmente en dos puntos, el área y perímetro prospectado; sin embargo, llegan abarcar tres aspectos importantes:

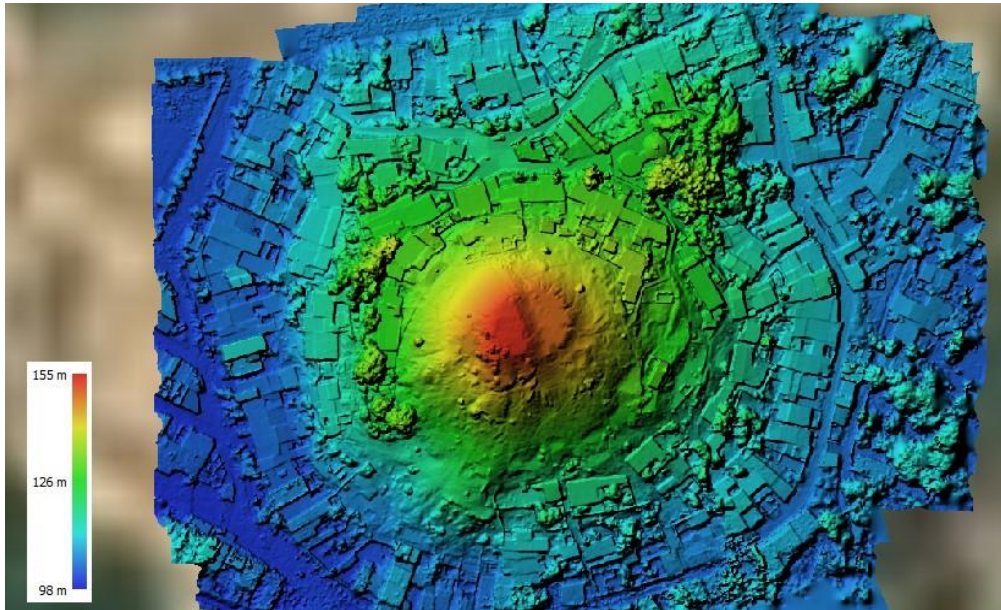
Área: 8457.28 m² - 0.84573 ha

Altura: 155 m

Perímetro: 340.34 ml.

Figura 244

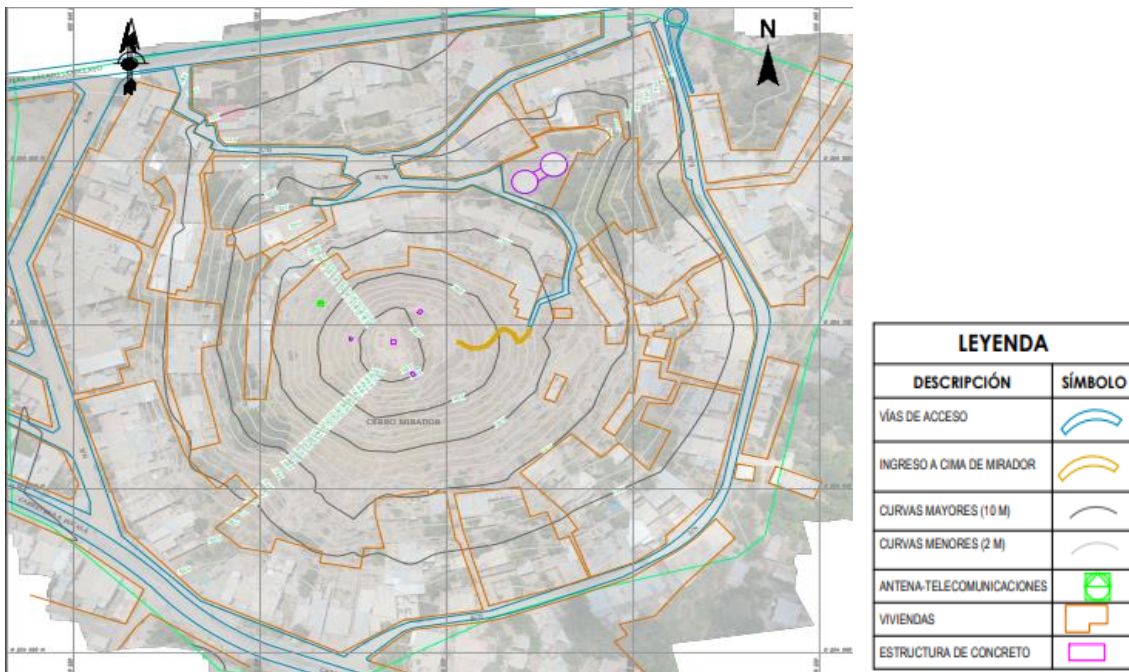
Mosaico de elevación, Cerro Mirador, Agisoft Metashape.



Punto importante que aporta el levantamiento topográfico, es el plano de curvas a nivel (Figura 245), el cual nos brinda las diferencias entre superficies planas y aquellas superficies empinadas.

Figura 245

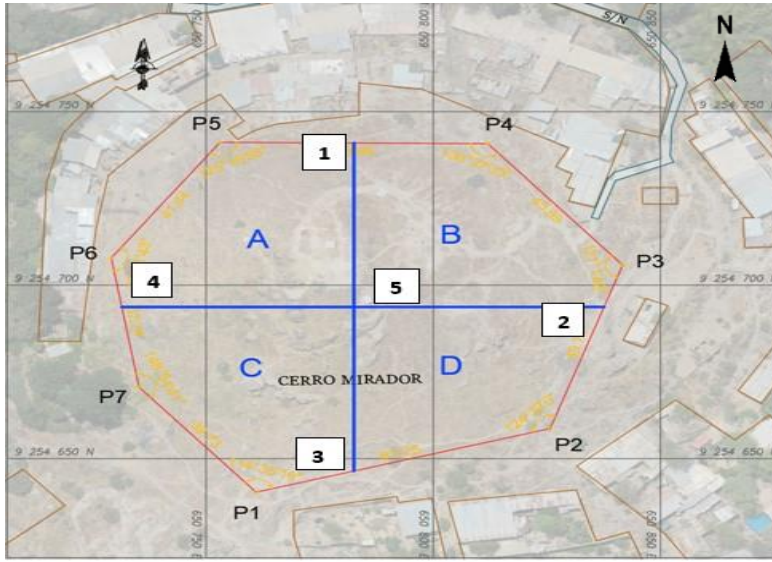
Plano de curvas a nivel de Cerro Mirador, escala 1/1250.



Ahora bien, ya teniendo una precisión en la ubicación y trazado de la poligonal en Cerro Mirador, se procedió a la sectorización del lugar, tomando en cuenta 4 sectores: A, B, C, D (Figura 246).

Figura 246

Sectorización Cerro Mirador, Autocad Civil 3D.



Los puntos fueron tomados siguiendo el orden de Norte, Este, Sur, Oeste y el punto central del cual se procedió el trazado en línea recta hacia la poligonal del sitio. En la siguiente tabla 10, se presentarán coordenadas de los vértices, de las líneas trazadas para la sectorización.

Tabla 10

Coordenadas de vértices de las líneas trazadas en la sectorización de Cerro Mirador.

| ORIENTACIÓN | ESTE | NORTE |
|--------------------|-------------|--------------|
| NORTE (1) | 650782.538 | 9254740.980 |
| ESTE (2) | 650837.587 | 9254693.701 |
| SUR (3) | 650782.538 | 9254646.422 |
| OESTE (4) | 650731.465 | 9254693.701 |
| CENTRO (5) | 650782.538 | 9254693.701 |

Posterior a la obtención y estudio de los planos de ubicación, la topografía y posterior sectorización de la zona a prospectar se procedió al reconocimiento del sitio arqueológico (Figura 247); este sitio cuenta con una entrada pavimentada hasta cierta altura del cerro, lo que facilitó de cierta manera el reconocimiento del lugar, luego del reconocimiento se procedió a la colocación de las estacas y tendido del hilo (Figura 248), esto para poder diferenciar entre sectores y tener una precisa identificación de materiales.

Figura 247

Reconocimiento y tendido de hilo.



Figura 248

Detalle de colocación de estaca en el centro de la poligonal.



El uso de la brújula fue permanente, tanto para la colocación de las estacas en campo, como para la toma de fotografías. En cuanto al proceso de identificación del material se realizó a pie en línea recta y dividiéndose en los sectores ya mencionados, en este caso el promontorio rocoso al ser de una pequeña altitud, no fue necesario la separación en subsectores.

La identificación de material se realizó in situ; en el caso de la cerámica se mantuvo el orden asignado de pesado, toma de medidas, identificación del fragmento (Figura 249 y 250) y la toma de fotografías.

Figura 249

Proceso de medición a los fragmentos de cerámica.



Figura 250

Proceso de pesado a los fragmentos de cerámica.



3.2.4.2. Sector A.

El sector A, ubicado entre los ejes Oeste y Norte del sitio, este sector presenta poca evidencia material, esto debido a la población que prácticamente a construido en gran parte del cerro, además por la presencia de estructuras en este sector, estructuras que se iban a usar para telefonía, pero que dejaron inconclusa su construcción por discrepancia con los lugareños.

Un detalle que logramos identificar de las casas construidas en los límites del sector, es la presencia de fragmentos de cerámica en sus muros de adobe (Figura 251), esto nos explicaría el uso del cerro como cantera para las construcciones de la zona.

Figura 251

Detalle de los muros, presencia de fragmentos de cerámica en su construcción.



Los materiales en este sector se enfocaron en su totalidad en fragmentos de cerámica; se reconocieron 38 fragmentos de cerámica, no diagnóstica y 15 fragmentos de cerámica diagnóstica, entre los que se identificaron 5 fragmentos de olla (Figura 252), 3 fragmentos de plato (Figura 255), 2 fragmentos de cántaro, 2 fragmentos de tinaja (Figura 254), 1 fragmento de cuenco (Figura 253) y 2 fragmentos no determinados (ND).

Figura 252

Fragmento de olla.



| | |
|-----------------------|----------|
| Sector A | 2 |
| Forma | F. olla |
| Altura | 2,4 cm |
| Ancho | 4 cm |
| Peso | 15 g |
| Grosor (labio) | 0,5 cm |
| Decoración | ND |

Descripción: vasija cerrada con cuello carenado, por su forma tiene borde carenado, labio redondeado. Técnica de manufactura modelado, cocción oxidante, con un acabado superficial exterior alisado. Presencia de quema en la parte exterior de la pieza.

Figura 253

Fragmento de cuenco.



| | |
|-----------------------|-----------|
| Sector A | 4 |
| Forma | F. cuenco |
| Altura | 3,9 cm |
| Ancho | 3,9 cm |
| Peso | 22 g |
| Grosor (labio) | 0,7 cm |
| Decoración | ND |

Descripción: vasija abierta, por su forma tiene borde convexo, labio redondeado. Técnica de manufactura modelado, cocción oxidante, con un acabado superficial alisado.

Figura 254

Fragmento de tinaja.



| | |
|-------------------|-----------|
| Sector A | 5 |
| Forma | F. tinaja |
| Altura | 6 cm |
| Ancho | 8,1 cm |
| Peso | 51 g |
| Grosor | 0,6 cm |
| Decoración | ND |

Descripción: vasija abierta, no presenta borde, ni labio. Técnica de manufactura modelado, cocción oxidante, con un acabado superficial alisado.

Figura 255

Fragmento de plato.



| | |
|-----------------------|-----------|
| Sector A | 12 |
| Forma | F. plato |
| Altura | 6 cm |
| Ancho | 8,1 cm |
| Peso | 51 g |
| Grosor (labio) | 0,6 cm |
| Decoración | Pintura |

Descripción: vasija abierta, por su forma tiene borde directo, labio redondeado. Técnica de manufactura modelado, cocción oxidante, con un acabado superficial alisado.

3.2.4.3. Sector B.

El sector B, ubicado entre los ejes Norte y Este del sitio, respecto a la evidencia material de cerámica, se reconocieron 75 fragmentos de cerámica, no diagnóstica y 23 fragmentos de cerámica diagnóstica, entre los que se identificaron 9 fragmentos de olla (Figura 257, 258 y 259), 3 fragmentos de plato (Figura 260), 2 fragmentos de cántaro, 2 fragmentos de tinaja, 1 fragmento de botella (Figura 256) y 6 fragmentos no determinados (ND).

Figura 256

Fragmento de botella.



| | |
|-------------------|------------|
| Sector B | 5 |
| Forma | F. botella |
| Altura | 4,2 cm |
| Ancho | 5,4 cm |
| Peso | 34 g |
| Grosor | 0,4 cm |
| Decoración | ND |

Descripción: vasija cerrada, no presenta gollete, borde, ni labio, base plana. Técnica de manufactura moldeado, cocción oxidante, con un acabado superficial pulido

Figura 257

Fragmento de olla.



| | |
|-------------------|-----------|
| Sector B | 15 |
| Forma | F. olla |
| Altura | 3,9 cm |
| Ancho | 4,5 cm |
| Peso | 16 g |
| Grosor | 0,4 cm |
| Decoración | Paleteado |

Descripción: vasija cerrada, no presenta cuello, borde, ni labio. Técnica de manufactura modelado, cocción oxidante, con un acabado superficial alisado. Presenta en el cuerpo diseños geométricos de rombos.

Figura 258

Fragmento de olla.



| | |
|-------------------|-----------|
| Sector B | 18 |
| Forma | F. olla |
| Altura | 2,3 cm |
| Ancho | 4,9 cm |
| Peso | 10 g |
| Grosor | 0,6 cm |
| Decoración | Paleteado |

Descripción: vasija cerrada, no presenta cuello, borde, ni labio. Técnica de manufactura modelado, cocción oxidante, con un acabado superficial alisado. Presenta en el cuerpo diseños de olas

Figura 259

Fragmento de cántaro.



| | |
|-----------------------|------------|
| Sector B | 19 |
| Forma | F. cántaro |
| Altura | 9,5 cm |
| Ancho | 6,4 cm |
| Peso | 123 g |
| Grosor (labio) | 0,5 cm |
| Decoración | Pintura |

Descripción: vasija cerrada con cuello evertido divergente, por su dirección tiene borde evertido, labio redondeado. Técnica de manufactura modelado, cocción oxidante, con un acabado superficial alisado. Presencia de quema en la parte exterior de la pieza.

Figura 260

Fragmento de plato.



| | |
|-----------------------|-----------|
| Sector B | 21 |
| Forma | F. plato |
| Altura | 1,7 cm |
| Ancho | 1,9 cm |
| Peso | 3 g |
| Grosor (labio) | 0,1 cm |
| Decoración | Pintura |

Descripción: vasija abierta, por su forma tiene borde directo, labio redondeado. Técnica de manufactura modelado, cocción oxidante, con un acabado superficial alisado.

3.2.4.4. Sector C.

El sector C, ubicado entre los ejes Oeste y Sur del sitio, se identificó material cerámico, se reconocieron 83 fragmentos de cerámica, no diagnóstica y 47 fragmentos de cerámica diagnóstica, entre los que se identificaron 10 fragmentos de olla (Figura 262, 264, 265 y 267), 6 fragmentos de plato (Figura 266), 7 fragmentos de cántaro (Figura 261, 263 y 268), 13 fragmentos de tinaja y 11 fragmentos no determinados (ND).

Figura 261

Fragmento de cántaro.



| | |
|-------------------|------------|
| Sector C | 3 |
| Forma | F. cántaro |
| Altura | 4,7 cm |
| Ancho | 6,3 cm |
| Peso | 35 g |
| Grosor | 0,8 cm |
| Decoración | Aplicación |

Descripción: vasija cerrada con cuello evertido divergente, por su dirección tiene borde evertido, no presenta labio. Técnica de manufactura modelado, cocción oxidante, con un acabado superficial alisado. En la parte superior del cuello presenta pintura, la sección media del cuello tiene una aplicación de un ojo (almendrado).

Figura 262

Fragmento de olla.



| | |
|-----------------------|----------|
| Sector C | 4 |
| Forma | F. olla |
| Altura | 5,3 cm |
| Ancho | 8,4 cm |
| Peso | 68 g |
| Grosor (labio) | 0,7 cm |
| Decoración | Pintura |

Descripción: vasija cerrada con cuello corto, por su dirección tiene borde evertido, no presenta labio. Técnica de manufactura modelado, cocción oxidante, con un acabado superficial alisado.

Figura 263

Fragmento de cántaro.



| | |
|-----------------------|------------|
| Sector C | 7 |
| Forma | F. cántaro |
| Altura | 5,3 cm |
| Ancho | 8,4 cm |
| Peso | 68 g |
| Grosor (labio) | 0,7 cm |
| Decoración | Aplicación |

Descripción: vasija cerrada con cuello evertido divergente, por su dirección tiene borde evertido, labio redondeado. Técnica de manufactura modelado, cocción oxidante, con un acabado superficial alisado. En la parte del cuello tiene una aplicación de ojos incisos lateral, con impresión de dedo que forma la boca.

Figura 264

Fragmento de tinaja.



| | |
|-----------------------|-----------|
| Sector C | 8 |
| Forma | F. tinaja |
| Altura | 9 cm |
| Ancho | 12,5 cm |
| Peso | 289 g |
| Grosor (labio) | 3 cm |
| Decoración | ND |

Descripción: vasija abierta, por su dirección tiene borde invertido, labio engrosado redondeado exterior. Técnica de manufactura modelado, cocción oxidante, con un acabado superficial alisado. Presencia de quema en la parte exterior de la pieza.

Figura 265

Fragmento de olla.



| | |
|-------------------|-----------|
| Sector C | 11 |
| Forma | F. olla |
| Altura | 3,5 cm |
| Ancho | 4,9 cm |
| Peso | 17 g |
| Grosor | 0,6 cm |
| Decoración | Paleteado |

Descripción: vasija cerrada, no presenta cuello, borde, ni labio. Técnica de manufactura modelado, cocción oxidante, con un acabado superficial alisado. Presenta en el cuerpo diseños de olas.

Figura 266

Fragmento de plato.



| | |
|-------------------|-----------|
| Sector C | 16 |
| Forma | F. plato |
| Altura | 7,1 cm |
| Ancho | 9,7 cm |
| Peso | 141 g |
| Grosor | 0,6 cm |
| Decoración | ND |

Descripción: vasija abierta, no presenta borde, ni labio, base anular. Técnica de manufactura modelado, cocción reductora, con un acabado superficial alisado.

Figura 267

Fragmento de olla.



| | |
|-----------------------|-----------|
| Sector C | 21 |
| Forma | F. olla |
| Altura | 2,5 cm |
| Ancho | 6,4 cm |
| Peso | 18 g |
| Grosor (labio) | 0,4 cm |
| Decoración | ND |

Descripción: vasija cerrada con cuello carenado, por su forma tiene borde carenado, labio redondeado. Técnica de manufactura modelado, cocción oxidante, con un acabado superficial alisado.

Figura 268

Fragmento de cántaro.



| | |
|-----------------------|------------|
| Sector C | 32 |
| Forma | F. cántaro |
| Altura | 4,4 cm |
| Ancho | 2,6 cm |
| Peso | 14 g |
| Grosor (labio) | 0,5 cm |
| Decoración | Aplicación |

Descripción: vasija cerrada con cuello evertido divergente, por su dirección tiene borde evertido, labio redondeado. Técnica de manufactura modelado, cocción oxidante, con un acabado superficial alisado. En la parte superior del cuello presenta pintura, lado lateral del cuello tiene una aplicación de una oreja.

3.2.4.5. Sector D.

El sector D, ubicado entre los ejes Sur y Oeste del sitio, este sector presenta gran diversidad de materiales reconocidos. Durante el recorrido se pudo identificar material lítico (Figura 269) (3), 51 restos malacológicos, entre los que se encuentra 3 *spondylus* (Figura 270), 2 caracoles (Figura 271) y 46 *donax obesulus* (Figura 272).

Figura 269

Muestra del material lítico.



El material malacológico se reconoció en los límites de la poligonal, parte baja.

Figura 270

Muestra de Spondylus.



Figura 271

Muestra de caracol (Thais haemastoma)



Figura 272

Muestra de Donax obesulus.



Respecto al material de cerámica, se pudo identificar 99 fragmentos de cerámica no diagnóstica y 79 fragmentos de cerámica diagnóstica, entre los que se reconoció, 31 fragmentos de olla (Figura 274, 276 y 277), 14 fragmentos de plato (Figura 275), 6 fragmentos de cántaro, 7 fragmentos de tinaja (Figura 279), 3 fragmentos de botella (Figura 278 y 280), 3 fragmentos de cuenco (Figura 273) y 15 fragmentos no determinados (ND).

Figura 273

Fragmento de cuenco.



| | |
|-----------------------|-----------|
| Sector D | 2 |
| Forma | F. cuenco |
| Altura | 5,1 cm |
| Ancho | 8,6 cm |
| Peso | 77 g |
| Grosor (labio) | 1,3 cm |
| Decoración | Pintura |

Descripción: vasija abierta, por su forma tiene borde directo, labio medio ojival. Técnica de manufactura modelado, cocción oxidante, con un acabado superficial pulido. Presenta en el cuerpo dos orificios circulares.

Figura 274

Fragmento de olla.



| | |
|-------------------|-----------|
| Sector D | 9 |
| Forma | F. olla |
| Altura | 5,6 cm |
| Ancho | 3,7 cm |
| Peso | 26 g |
| Grosor | 0,5 cm |
| Decoración | Paleteado |

Descripción: vasija cerrada, no presenta cuello, borde, ni labio. Técnica de manufactura modelado, cocción oxidante, con un acabado superficial alisado. Presenta en el cuerpo diseños geométricos de rombos con un círculo en el centro.

Figura 275

Fragmento de plato.



| | |
|-----------------------|-----------|
| Sector D | 16 |
| Forma | F. plato |
| Altura | 5,3 cm |
| Ancho | 5,6 cm |
| Peso | 22 g |
| Grosor (labio) | 0,4 cm |
| Decoración | Pintura |

Descripción: vasija abierta, por su forma tiene borde directo, labio redondeado. Técnica de manufactura modelado, cocción oxidante, con un acabado superficial pulido.

Figura 276

Fragmento de olla.



| | |
|-------------------|-----------|
| Sector D | 21 |
| Forma | F. olla |
| Altura | 6,1 cm |
| Ancho | 5,3 cm |
| Peso | 39 g |
| Grosor | 0,5 cm |
| Decoración | Paleteado |

Descripción: vasija cerrada, no presenta cuello, borde, ni labio. Técnica de manufactura modelado, cocción oxidante, con un acabado superficial alisado. Presenta en el cuerpo cinco bandas horizontales con triángulos consecutivos. Presencia de quema en la parte exterior de la pieza

Figura 277

Fragmento de olla.



| | |
|-----------------------|-----------|
| Sector D | 24 |
| Forma | F. olla |
| Altura | 3,6 cm |
| Ancho | 7,2 cm |
| Peso | 36 g |
| Grosor (labio) | 0,4 cm |
| Decoración | ND |

Descripción: vasija cerrada con cuello carenado, por su forma tiene borde carenado, labio redondeado. Técnica de manufactura modelado, cocción oxidante, con un acabado superficial alisado. Presenta en el cuerpo diseños geométricos de rombos.

Figura 278

Fragmento de botella.



| | |
|-------------------|------------|
| Sector D | 38 |
| Forma | F. botella |
| Altura | 3,2 cm |
| Ancho | 5,4 cm |
| Peso | 25 g |
| Grosor | 0,6 cm |
| Decoración | ND |

Descripción: vasija cerrada, no presenta gollete, borde, ni labio, base plana. Técnica de manufactura moldeado, cocción reductora, con un acabado superficial alisado.

Figura 279

Fragmento de tinaja.



| | |
|-------------------|-----------|
| Sector D | 42 |
| Forma | F. tinaja |
| Altura | 16 cm |
| Ancho | 16,2 cm |
| Peso | 242 g |
| Grosor | 0,4 cm |
| Decoración | Paletado |

Descripción: vasija abierta, no presenta cuello, borde, ni labio. Técnica de manufactura modelado, cocción oxidante, con un acabado superficial alisado. Presenta en el cuerpo diseños geométricos de triángulos con un círculo en el centro y una banda horizontal de pintura.

Figura 280

Fragmento de botella.



| | |
|-------------------|------------|
| Sector D | 61 |
| Forma | F. botella |
| Altura | 3,2 cm |
| Ancho | 2,8 cm |
| Peso | 16 g |
| Grosor | 0,7 cm |
| Decoración | Pintura |

Descripción: vasija cerrada, no presenta gollete, borde, ni labio. Técnica de manufactura modelado, cocción oxidante, con un acabado superficial alisado. Presenta un asa lateral cintada con diseños.

3.2.5. Cerro Gallinazo.

Cerro Gallinazo, se encuentra ubicado en el sector sur este, de la zona perimétrica del distrito de Pátapo, cuenta con un acceso complicado, alejado de las vías principales. En el sector norte, zona baja de Cerro Gallinazo se encuentra un pequeño número de viviendas que circundan esa parte del sitio, pero el principal problema de acceso se debe a que el promontorio rocoso se encuentra cercado en sus alrededores; siendo parte de una propiedad privada, lo que dificulta su ingreso.

La única vía de acceso libre (Figura 281), se encontró gracias a la ayuda de pobladores de la zona, mencionando un ingreso por el sector oeste del sitio, donde una parte de este cerco ha cedido por el paso del tiempo; previamente a esto, debemos situarnos en la carretera hacia Pucalá, una cuadra adelante del colegio Newton, giramos a la derecha en línea recta por alrededor de 120 m, giramos nuevamente hacia la derecha por 50 m y bordeamos parte del cerco caído a la mano izquierda, lo que permite el acceso por la zona oeste de Cerro Gallinazo.

Figura 281

Ruta de acceso libre (señalado en rojo), hacia el Cerro Gallinazo.



3.2.5.1. Límites Cerro Gallinazo.

| | |
|---|--|
| Norte: Cerro Pátapo. (Figura 282) | Este: Campos de cultivo. (Figura 284) |
| Sur: Campos de cultivo. (Figura 283) | Oeste: Entrada hacia Pátapo. (Figura 285) |

Figura 282

Límite Norte de Cerro Gallinazo.



Figura 283

Límite Sur de Cerro Gallinazo.



Figura 284

Límite Este de Cerro Gallinazo.



Figura 285

Límite Oeste de Cerro Gallinazo.



En cuanto a los planos de ubicación facilitados por el levantamiento topográfico; como primer punto se presentará un plano catastral (Figura 286), seguido del plano de ubicación con su respectiva poligonal del sitio prospectado (Figura 287 y 288).

Figura 286

Plano Catastral de Cerro Gallinazo, escala 1/7500.

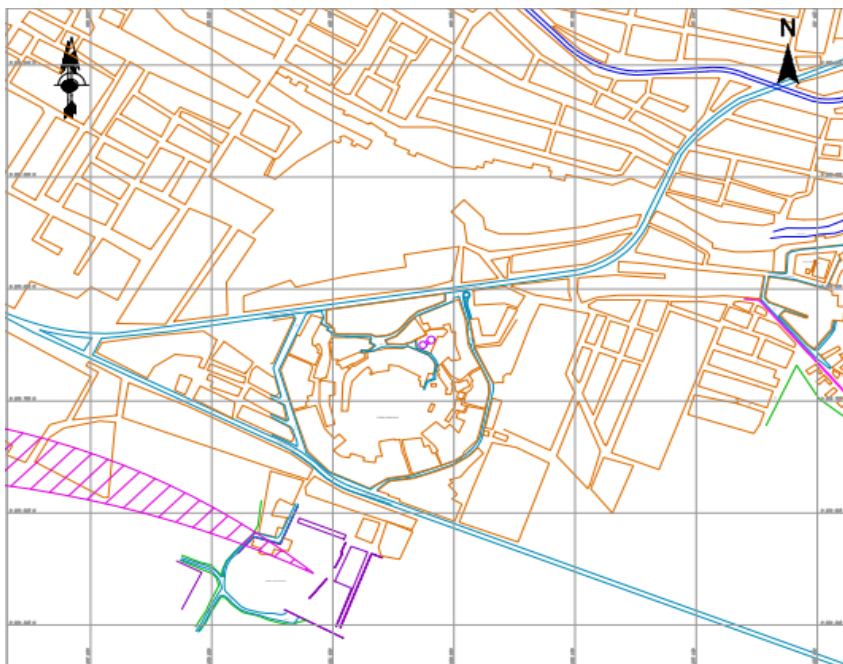


Figura 287

Plano de la poligonal trazada en Cerro Gallinazo, escala 1/750.

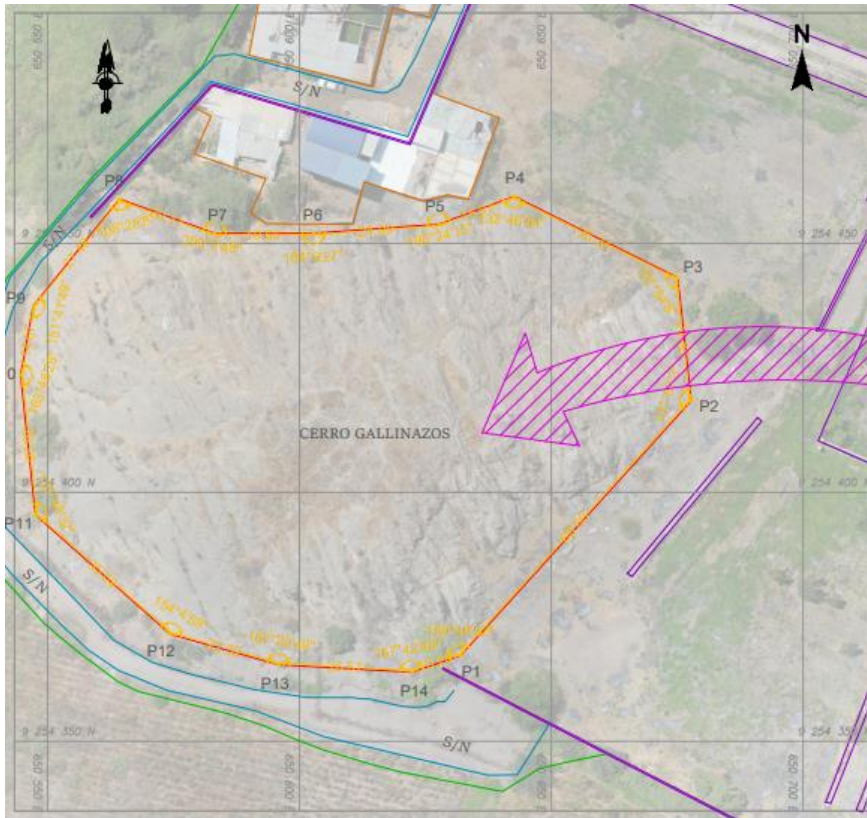


Figura 288

Ambos planos de ubicación comparten una misma leyenda.

| LEYENDA | |
|-------------------|---------|
| DESCRIPCIÓN | SÍMBOLO |
| VÍAS DE ACCESO | |
| CAMINO DE ACCESO | |
| VIVIENDAS | |
| ESTRUCTURA VARIAS | |
| RUINAS | |
| CULTIVOS | |

El trazado poligonal contó con una serie de puntos de control, a partir de los cuales se realizó la toma de coordenadas (Tabla 11), las cuales se detallan a continuación:

Tabla 11

Coordenadas de los vértices de Cerro Gallinazo.

| CUADRO DE COORDENADAS | | | | | |
|-----------------------|-----------|-------|------------|------------|-------------|
| VERTICE | LADO | DIST. | ANGULO | ESTE | NORTE |
| P1 | P1 - P2 | 68.66 | 150°49'52" | 650632.035 | 9254367.232 |
| P2 | P2 - P3 | 24.85 | 131°57'3" | 650677.803 | 9254418.413 |
| P3 | P3 - P4 | 36.34 | 122°54'8" | 650675.099 | 9254443.117 |
| P4 | P4 - P5 | 15.91 | 132°46'54" | 650642.618 | 9254459.422 |
| P5 | P5 - P6 | 24.99 | 196°24'15" | 650627.718 | 9254453.833 |
| P6 | P6 - P7 | 19.66 | 184°9'27" | 650602.791 | 9254452.021 |
| P7 | P7 - P8 | 20.11 | 200°2'48" | 650583.135 | 9254452.021 |
| P8 | P8 - P9 | 27.48 | 108°28'8" | 650564.239 | 9254458.916 |
| P9 | P9 - P10 | 14.07 | 151°41'49" | 650547.127 | 9254437.416 |
| P10 | P10 - P11 | 28.28 | 163°48'28" | 650544.633 | 9254423.572 |
| P11 | P11 - P12 | 35.89 | 137°48'32" | 650547.579 | 9254395.448 |
| P12 | P12 - P13 | 22.32 | 154°4'59" | 650574.323 | 9254371.512 |
| P13 | P13 - P14 | 26.57 | 167°20'49" | 650595.790 | 9254365.392 |
| P14 | P14 - P1 | 10.28 | 157°42'48" | 650622.321 | 9254363.881 |

Los planos en planta nos brindan una detallada ubicación de Cerro Gallinazo, lo cual nos servirá para una posterior sectorización del sitio. Los datos que nos brinda estos mapas se basan principalmente en dos puntos, el área y perímetro prospectado; sin embargo, llegan abarcar tres aspectos importantes:

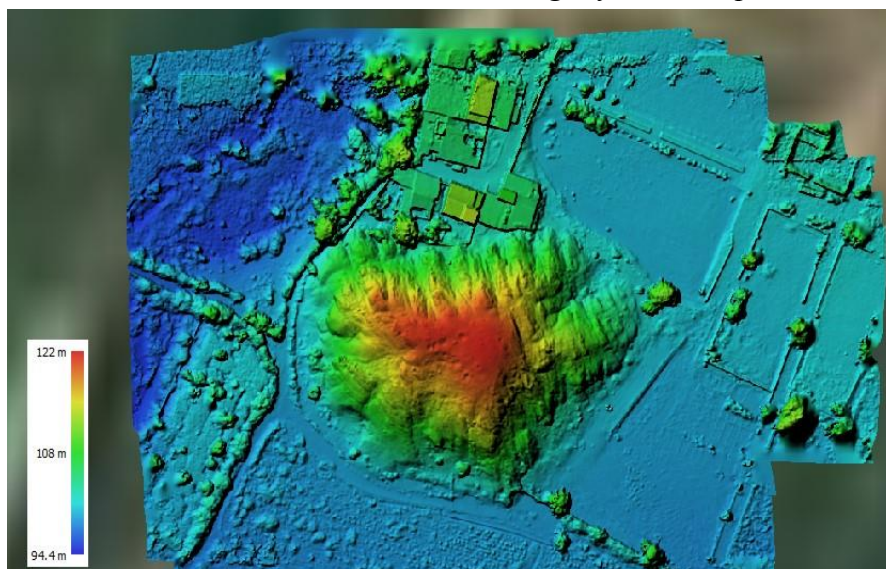
Área: 9574.87 m² - 0.95749 ha

Altura: 122 m (Figura 289).

Perímetro: 375.42 ml.

Figura 289

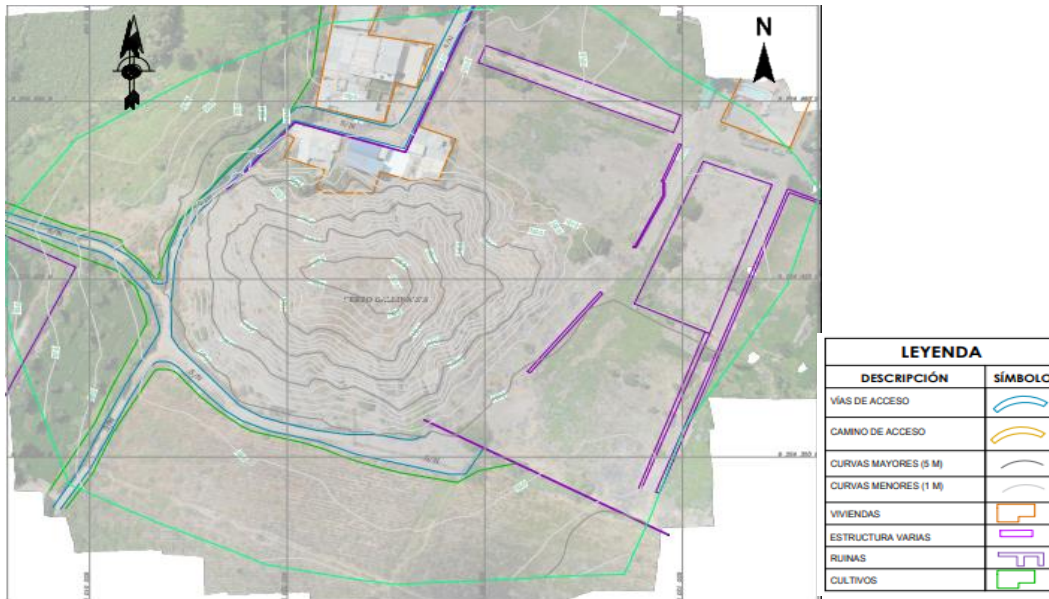
Mosaico de elevación, Cerro Gallinazo, Agisoft Metashape.



Otro de los planos importantes que nos brinda el levantamiento topográfico, es el plano de curvas a nivel (Figura 290), nos permitirá poder diferenciar las superficies planas de las empinadas; los cual nos ayuda a diferenciar niveles en la geografía del sitio.

Figura 290

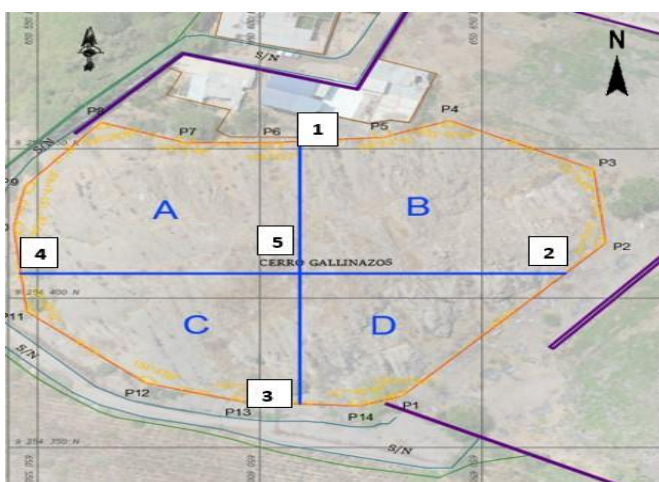
Plano de curvas a nivel de Cerro Gallinazo, escala 1/1000.



El siguiente paso después de una precisa ubicación y trazado de la poligonal en Cerro Gallinazo, se procedió a la sectorización del lugar, tomando en cuenta 4 sectores: A, B, C, D (Figura 291).

Figura 291

Sectorización Cerro Gallinazo.



Nota. Autocad Civil 3D.

Los puntos fueron tomados siguiendo el orden de Norte, Este, Sur, Oeste y el punto central del cual se procedió el trazado en línea recta hacia la poligonal del sitio. En la siguiente tabla 12, se presentarán coordenadas de los vértices, de las líneas trazadas para la sectorización:

Tabla 12

Coordenadas de vértices de las líneas trazadas en la sectorización de Cerro Gallinazo.

| ORIENTACIÓN | ESTE | NORTE |
|--------------------|-------------|--------------|
| NORTE (1) | 650608.977 | 9254452.471 |
| ESTE (2) | 650668.701 | 9254408.234 |
| SUR (3) | 650609.055 | 9254364.637 |
| OESTE (4) | 650546.239 | 9254408.234 |
| CENTRO (5) | 650608.977 | 9254408.234 |

Una vez elaborados los planos de ubicación, la topografía y posterior sectorización de la zona, se procedió al reconocimiento del sitio arqueológico (Figura 292), el sitio presenta dificultad para su ingreso, esto puesto que se encuentra rodeado en su totalidad y solo en una parte el cerco está derrumbado, lo que permite el ingreso por la zona oeste, además de la presencia de grandes rocas y las pendientes inclinadas en los distintos sectores. Durante el recorrido se procedió a la colocación de las estacas (Figura 293) y tendido del hilo (Figura 294), esto para poder diferenciar entre sectores y tener una precisa identificación de materiales.

Figura 292

Reconocimiento de Cerro Gallinazo.



Figura 293

Detalle del punto de colocación de estacas.



Figura 294

Proceso del tendido de hilo.



El uso de la brújula fue durante el largo del recorrido, tanto para la colocación de las estacas en campo, como para la toma de fotografías. En cuanto al proceso de identificación del material se realizó a pie en línea recta, con una distancia de 3 metros entre persona y dividiéndose en los sectores ya mencionados, este al ser el promontorio rocoso más pequeño, no se hizo uso de separación en subsectores. Los materiales identificados, fueron debidamente descritos en nuestra libreta de campo, posterior a la toma de fotografías (Figura 295 y 296).

Figura 295

Proceso de limpieza de material encontrado.



Figura 296

Proceso de toma de medidas a los fragmentos.



3.2.5.2. Sector A.

El sector A, ubicado entre los ejes Oeste y Norte del sitio, este sector presenta dos tipos de materiales identificados, un petroglifo en la cima del cerro y fragmentos de cerámica a lo largo del recorrido. Respecto al petroglifo identificado sobre el soporte de una roca (Figura 297), en la cima del cerro, con vista hacia el este.

Figura 297

Vista del soporte sobre la cima de Cerro Gallinazo.



Personaje con rasgos antropomorfos estilizados, tiene la cabeza circular, se observa la forma de los ojos, no presenta nariz, ni boca, tiene un mentón. Una sección alargada vincula las extremidades con la cabeza, tiene el cuerpo de una forma cuadrada. Las extremidades superiores están decúbito ventral en posición de apoyo. En el extremo inferior del personaje se observa dos manos con cuatro dedos (Figura 298 y 299).

Figura 298

Detalle del petroglifo.

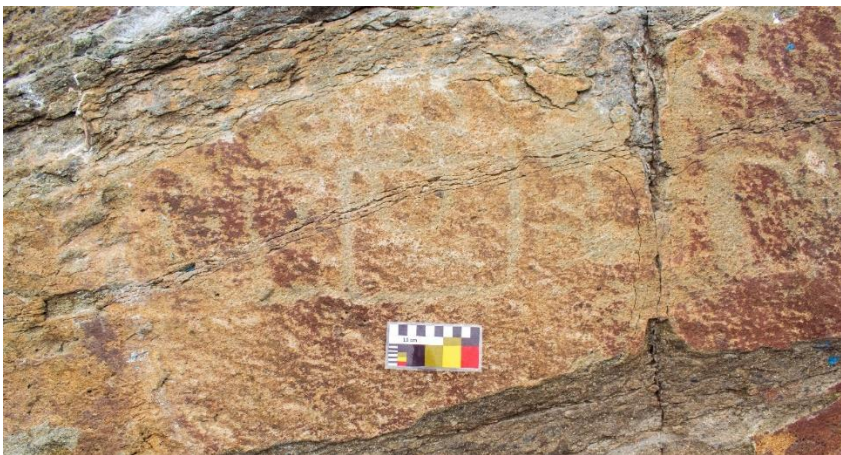
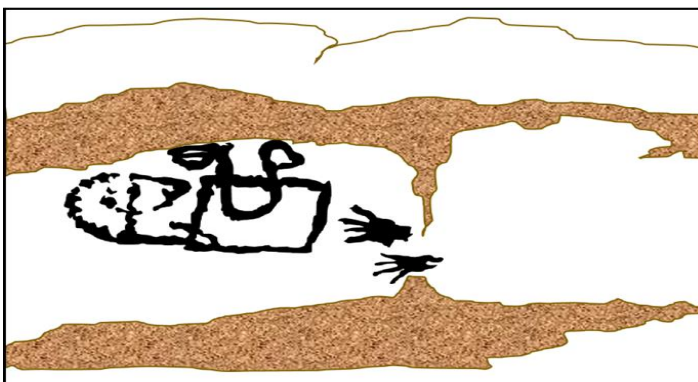


Figura 299

Recreación digitalizada del petroglifo.



En cuanto a la identificación de cerámica, se reconoció; 26 fragmentos de cerámica no diagnóstica y 14 fragmentos de cerámica diagnóstica, entre los que se identificaron 4 fragmentos de olla (Figura 301), 3 fragmentos de cántaro (Figura 300), 4 fragmentos de tinaja y 3 fragmentos no determinados (ND).

Figura 300

Fragmento de cántaro.



| | |
|-----------------------|------------|
| Sector A | 9 |
| Forma | F. cántaro |
| Altura | 5,7 cm |
| Ancho | 5,3 cm |
| Peso | 37 g |
| Grosor (labio) | 0,8 cm |
| Decoración | Pintura |

Descripción: vasija cerrada con cuello evertido divergente, por su dirección tiene borde evertido, labio medio ojival. Técnica de manufactura modelado, cocción oxidante, con un acabado superficial exterior alisado, en la parte interior presenta engobe.

Figura 301

Fragmento de olla.



| | |
|-----------------------|-----------|
| Sector A | 10 |
| Forma | F. olla |
| Altura | 5,3 cm |
| Ancho | 9,1 cm |
| Peso | 54 g |
| Grosor (labio) | 0,7 cm |
| Decoración | Paletado |

Descripción: vasija cerrada con cuello carenado, por su forma tiene borde carenado, labio redondeado. Técnica de manufactura modelado, cocción oxidante, con un acabado superficial alisado, presenta en su cuerpo pintura. Presencia de quema en la parte exterior de la pieza.

3.2.5.3. Sector B.

El sector B, ubicado entre los ejes Norte y Este del sitio, se pudo identificar tres tipos de materiales culturales; presencia de lítico (Figura 302), malacológico y fragmentos de cerámica. En cuanto al material lítico se reconoció una unidad, mientras que el material malacológico, se identificó 8 muestras de *Donax obesulus*. (Figura 303).

Figura 302

Muestra de material lítico.



Figura 303

Muestra malacológica de Donax obesulus.



La evidencia de cerámica, se reconoció 33 fragmentos de cerámica, no diagnóstica y 41 fragmentos de cerámica diagnóstica, entre los que se identificaron, 18 fragmentos de olla (Figura 306, 307, 308 y 309), 6 fragmentos de plato (Figura 304), 2 fragmentos de cántaro, 9 fragmentos de tinaja (Figura 305), 1 fragmento de cuenco y 5 fragmentos no determinados (ND).

Figura 304

Fragmento de plato.



| | |
|-----------------------|----------|
| Sector B | 6 |
| Forma | F. plato |
| Altura | 6,9 cm |
| Ancho | 8,9 cm |
| Peso | 60 g |
| Grosor (labio) | 0,9 cm |
| Decoración | Pintura |

Descripción: vasija abierta, por su forma tiene borde directo, labio redondeado, base anular. Técnica de manufactura modelado, cocción oxidante, con un acabado superficial exterior bruñido, en la parte interior presenta pulido.

Figura 305

Fragmento de tinaja.



| | |
|-----------------------|-----------|
| Sector B | 11 |
| Forma | F. tinaja |
| Altura | 7,3 cm |
| Ancho | 4 cm |
| Peso | 68 g |
| Grosor (labio) | 2,4 cm |
| Decoración | Paleteado |

Descripción: vasija abierta, por su dirección tiene borde invertido, labio engrosado redondeado exterior. Técnica de manufactura modelado, cocción oxidante, con un acabado superficial alisado. Presenta en el cuerpo diseños geométricos de rombos.

Figura 306

Fragmento de olla.



| | |
|-------------------|-----------|
| Sector B | 12 |
| Forma | F. olla |
| Altura | 5,7 cm |
| Ancho | 4,9 cm |
| Peso | 23 g |
| Grosor | 0,6 cm |
| Decoración | Paleteado |

Descripción: vasija cerrada, no presenta cuello, borde, ni labio. Técnica de manufactura modelado, cocción oxidante, con un acabado superficial alisado. Presenta en el cuerpo pintura (parte superior), diseños geométricos de triángulos con un círculo en el centro.

Figura 307

Fragmento de olla.



| | |
|-----------------------|-----------|
| Sector B | 25 |
| Forma | F. olla |
| Altura | 2,5 cm |
| Ancho | 6 cm |
| Peso | 25 g |
| Grosor (labio) | 1,3 cm |
| Decoración | Pintura |

Descripción: vasija cerrada con cuello corto, por su dirección tiene borde evertido, labio medio ojival. Técnica de manufactura modelado, cocción oxidante, con un acabado superficial alisado.

Figura 308

Fragmento de olla.



| | |
|-------------------|-----------|
| Sector B | 32 |
| Forma | F. olla |
| Altura | 4,1 cm |
| Ancho | 5 cm |
| Peso | 12 g |
| Grosor | 0,6 cm |
| Decoración | Pintura |

Descripción: vasija cerrada, no presenta cuello, borde, ni labio. Técnica de manufactura modelado, cocción oxidante, con un acabado superficial alisado. En la parte interior de la pieza presenta improntas de huellas dejada por el productor local.

Figura 309

Fragmento de olla.



| | |
|-----------------------|-----------|
| Sector B | 32 |
| Forma | F. olla |
| Altura | 3,7 cm |
| Ancho | 2,9 cm |
| Peso | 12 g |
| Grosor (labio) | 0,9 cm |
| Decoración | Incisión |

Descripción: vasija cerrada con cuello carenado, por su forma tiene borde carenado, labio redondeado. Técnica de manufactura modelado, cocción oxidante, con un acabado superficial alisado. En el cuello presenta marcas de punteado en sentido horizontal.

3.2.5.4. Sector C.

El sector C, ubicado entre los ejes Oeste y Sur del sitio, se identificó únicamente material cerámico, se reconocieron 41 fragmentos de cerámica, no diagnóstica y 90 fragmentos de cerámica diagnóstica, entre los que se identificaron 28 fragmentos de olla (Figura 312, 314 y 316), 6 fragmentos de plato, 7 fragmentos de cántaro (Figura 315), 27 fragmentos de tinaja (Figura 310 y 311), 1 fragmento de rallador, 1 fragmento de figurina (Figura 313), 3 fragmentos de cuenco y 17 fragmentos no determinados (ND).

Figura 310

Fragmento de tinaja.



| | |
|-----------------------|-----------|
| Sector C | 7 |
| Forma | F. tinaja |
| Altura | 7,4 cm |
| Ancho | 11,2 cm |
| Peso | 203 g |
| Grosor (labio) | 1,8 cm |
| Decoración | Incisión |

Descripción: vasija abierta, no presenta cuello, borde, ni labio. Técnica de manufactura modelado, cocción oxidante, con un acabado superficial alisado. Presencia de quema en la parte exterior de la pieza.

Figura 311

Fragmento de tinaja.



| | |
|-----------------------|-----------|
| Sector C | 11 |
| Forma | F. tinaja |
| Altura | 11,5 cm |
| Ancho | 11,4 cm |
| Peso | 606 g |
| Grosor (labio) | 4,2 cm |
| Decoración | Pintura |

Descripción: vasija abierta, por su dirección tiene borde invertido, labio engrosado redondeado exterior. Técnica de manufactura modelado, cocción oxidante, con un acabado superficial alisado.

Figura 312

Fragmento de olla.



| | |
|-----------------------|-----------|
| Sector C | 34 |
| Forma | F. olla |
| Altura | 2,6 cm |
| Ancho | 3 cm |
| Peso | 14 g |
| Grosor (labio) | 0,6 cm |
| Decoración | Pintura |

Descripción: vasija cerrada con cuello carenado, por su forma tiene borde carenado, labio redondeado. Técnica de manufactura modelado, cocción oxidante, con un acabado superficial alisado.

Figura 313

Fragmento de figurina.



| | |
|-------------------|-------------|
| Sector C | 41 |
| Forma | F. figurina |
| Altura | 7 cm |
| Ancho | 3,6 cm |
| Peso | 42 g |
| Grosor | 0,5 cm |
| Decoración | Pintura |

Descripción: figurina, parte de una pierna con alto relieve de una banda horizontal. Técnica de manufactura moldeado, cocción oxidante, con un acabado superficial alisado.

Figura 314

Fragmento de olla.



| | |
|-----------------------|-----------|
| Sector C | 42 |
| Forma | F. olla |
| Altura | 3,7 cm |
| Ancho | 7,3 cm |
| Peso | 41 g |
| Grosor (labio) | |
| Decoración | Pintura |

Descripción: vasija cerrada con cuello carenado, por su forma tiene borde carenado, labio biselado. Técnica de manufactura modelado, cocción oxidante, con un acabado superficial alisado.

Figura 315

Fragmento de cántaro.



| | |
|-------------------|-------------|
| Sector C | 75 |
| Forma | F. cántaro |
| Altura | 2,8 cm |
| Ancho | 5,8 cm |
| Peso | 26 g |
| Grosor | 0,5 cm |
| Decoración | Escultórica |

Descripción: vasija cerrada, no presenta cuello, borde, ni labio, presenta una nariz de punta redonda. Técnica de manufactura modelado, cocción oxidante, con un acabado superficial alisado.

Figura 316

Fragmento de olla.



| | |
|-------------------|-----------|
| Sector C | 85 |
| Forma | F. olla |
| Altura | 2,5 cm |
| Ancho | 5 cm |
| Peso | 13 g |
| Grosor | 0,4 cm |
| Decoración | Paleteado |

Descripción: vasija cerrada, no presenta cuello, borde, ni labio. Técnica de manufactura modelado, cocción oxidante, con un acabado superficial alisado. Presenta en el cuerpo diseños de bandas verticales.

3.2.5.5. Sector D.

El sector D, ubicado entre los ejes Sur y Este del sitio, se identificó únicamente material cerámico, se reconocieron 16 fragmentos de cerámica, no diagnóstica y 57 fragmentos de cerámica diagnóstica, entre los que se identificaron 22 fragmentos de olla (Figura 317, 318, 320 y 321), 3 fragmentos de plato, 10 fragmentos de cántaro (Figura 319), 8 fragmentos de tinaja, 2 fragmentos de botella, 1 fragmento de cuenco y 11 fragmentos no determinados (ND).

Figura 317

Fragmento de olla.



| | |
|-------------------|-----------|
| Sector D | 14 |
| Forma | F. olla |
| Altura | 1,8 cm |
| Ancho | 2,6 cm |
| Peso | 4 g |
| Grosor | 0,3 cm |
| Decoración | Paleteado |

Descripción: vasija cerrada, no presenta cuello, borde, ni labio. Técnica de manufactura modelado, cocción oxidante, con un acabado superficial alisado. Presenta en el cuerpo diseños geométricos de triángulos.

Figura 318

Fragmento de olla.



| | |
|-----------------------|-----------|
| Sector D | 17 |
| Forma | F. olla |
| Altura | 3,1 cm |
| Ancho | 6 cm |
| Peso | 30 g |
| Grosor (labio) | 0,4 cm |
| Decoración | Pintura |

Descripción: vasija cerrada con cuello carenado, por su forma tiene borde carenado, labio redondeado. Técnica de manufactura modelado, cocción oxidante, con un acabado superficial alisado.

Figura 319

Fragmento de cántaro.



| | |
|-----------------------|------------|
| Sector D | 34 |
| Forma | F. cántaro |
| Altura | 4,7 cm |
| Ancho | 5 cm |
| Peso | 17 g |
| Grosor (labio) | 0,5 cm |
| Decoración | Pintura |

Descripción: vasija cerrada con cuello evertido divergente, por su dirección tiene borde evertido, labio redondeado. Técnica de manufactura modelado, cocción oxidante, con un acabado superficial alisado.

Figura 320

Fragmento de olla.



| | |
|-------------------|-----------|
| Sector D | 52 |
| Forma | F. olla |
| Altura | 1,9 cm |
| Ancho | 4 cm |
| Peso | 9 g |
| Grosor | 0,4 cm |
| Decoración | Paleteado |

Descripción: vasija cerrada, no presenta cuello, borde, ni labio. Técnica de manufactura modelado, cocción reductora, con un acabado superficial alisado. Presenta en el cuerpo diseños geométricos de triángulos concéntricos.

Figura 321

Fragmento de olla.



| | |
|-----------------------|-----------|
| Sector D | 53 |
| Forma | F. olla |
| Altura | 3,1 cm |
| Ancho | 3,1 cm |
| Peso | 14 g |
| Grosor (labio) | 0,6 cm |
| Decoración | Pintura |

Descripción: vasija cerrada con cuello carenado, por su forma tiene borde carenado, labio redondeado. Técnica de manufactura modelado, cocción oxidante, con un acabado superficial alisado.

3.3. Análisis de resultados.

El uso de tablas y gráficos estadísticos, permitirán un detallado rango de valores en cada sitio prospectado, lo que generará los posteriores gráficos que nos mostrará los detalles de materiales, comparación de formas y tipo de decoración. En cuanto a la clasificación de materiales, no se ha incluido la presencia de arquitectura, tampoco de petroglifos, esto debido a que se encuentra en solo dos sitios respectivamente y en un valor menor, lo que no permitirá una comparación final adecuada entre los 4 sitios prospectados.

El uso de los gráficos se adaptó a los distintos tipos de variables y rangos, debido a la presencia de ciertas cantidades que algunos gráficos representan de manera confusa. Se muestra la leyenda (Figura 322), utilizada en las distintas tablas y gráficos (Figura 338).

Figura 322

Leyenda utilizada en la identificación de cerámica.

| LEYENDA | |
|---------|--------------------------|
| F. | FRAGMENTO |
| F. ND | FRAGMENTO NO DETERMINADO |
| ND | NO DETERMINADO |
| C. | CERÁMICA |

3.3.1. Cerro Pulato.

Tabla 13

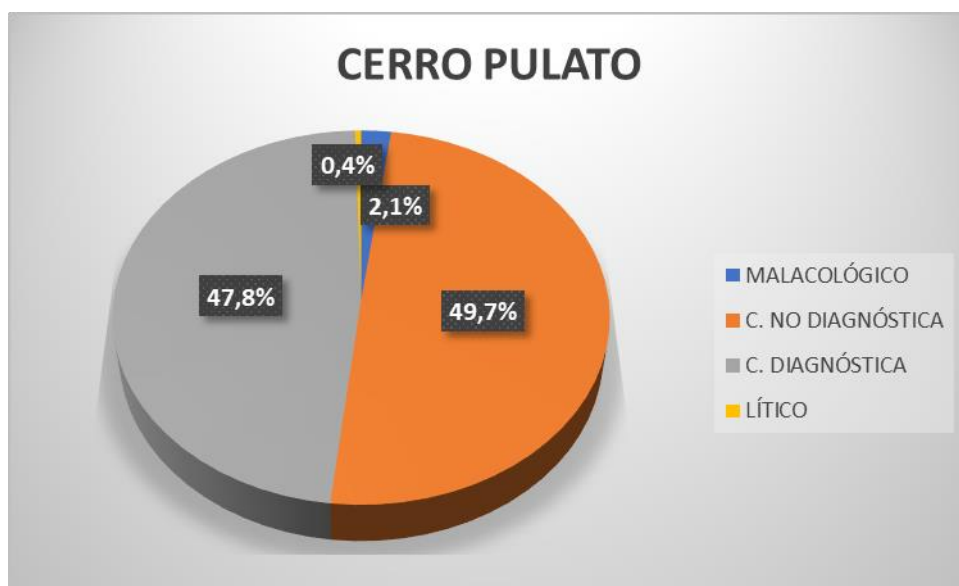
Material identificado en Cerro Pulato.

| CERRO PULATO | | |
|-------------------|----------|------------|
| MATERIAL | CANTIDAD | PORCENTAJE |
| MALACOLÓGICO | 10 | 2,1% |
| C. NO DIAGNÓSTICA | 234 | 49,7% |
| C. DIAGNÓSTICA | 225 | 47,8% |
| LÍTICO | 2 | 0,4% |
| TOTAL | 471 | 100% |

Nota. La tabla 13, muestra la cantidad y porcentaje de materiales identificados en los cuatro sectores de cerro Pulato (471); presenta mayor porcentaje de fragmentos de cerámica no diagnóstica (49,7%), seguido de fragmentos de cerámica diagnóstica en un porcentaje cercano (47,8%), restos malacológicos en (2,1%) y en menor cantidad de material lítico (0,4%).

Figura 323

Porcentajes de material identificado.



Nota. En el gráfico circular 323, se muestra de manera didáctica, los porcentajes de material identificado; los cuales están diferenciados en colores.

Tabla 14

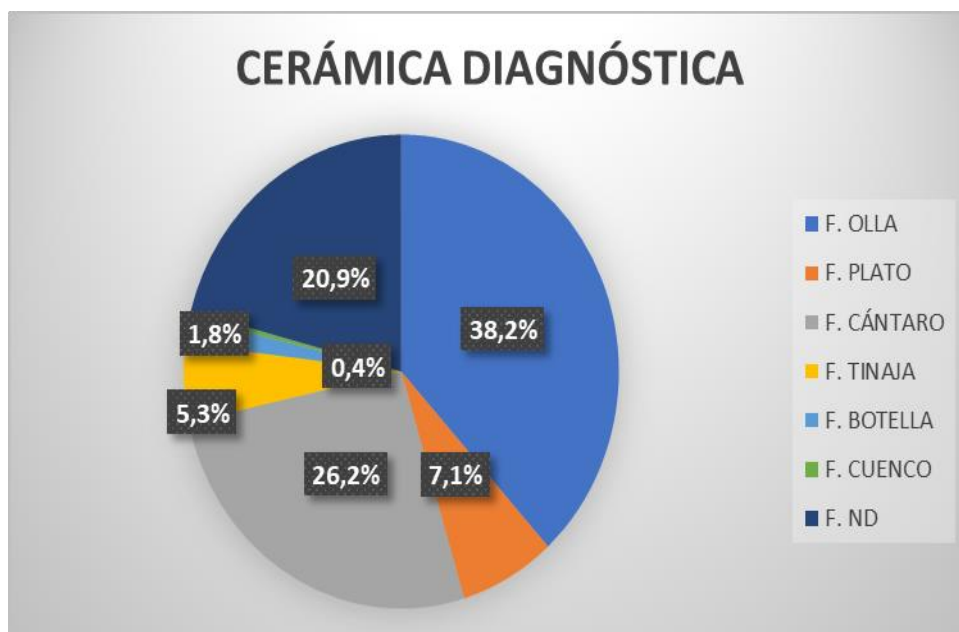
Distintas formas identificadas en Cerro Pulato.

| CERÁMICA DIAGNÓSTICA | | |
|----------------------|----------|------------|
| FORMA | CANTIDAD | PORCENTAJE |
| F. OLLA | 86 | 38,2% |
| F. PLATO | 16 | 7,1% |
| F. CÁNTARO | 59 | 26,2% |
| F. TINAJA | 12 | 5,3% |
| F. BOTELLA | 4 | 1,8% |
| F. CUENCO | 1 | 0,4% |
| F. ND | 47 | 20,9% |
| TOTAL | 225 | 100% |

Nota. La tabla 14, se centra en la diferenciación de cantidades de fragmentos de cerámica diagnóstica (225); la distinción se realiza por formas determinadas en los 4 sectores; detalla la mayor presencia de ollas (38,2%), seguido de cántaros (26,2%) y con (20,9%) fragmentos no determinados en forma; en menor porcentaje se encontró un fragmento de cuenco (0,4%).

Figura 324

Porcentajes de cerámica diagnóstica identificado.



Nota. En el gráfico circular 324, se muestra de manera didáctica, los porcentajes de las formas identificadas de fragmentos de cerámica diagnóstica; los cuales están diferenciados en colores.

Tabla 15

Distintos tipos de decoración identificados en Cerro Pulato.

| DECORACIÓN CERÁMICA | | |
|---------------------|----------|------------|
| TIPO | CANTIDAD | PORCENTAJE |
| PINTURA | 42 | 18,7% |
| ND | 159 | 70,7% |
| INCISIÓN | 11 | 4,9% |
| PIEL DE GANSO | 1 | 0,4% |
| PALETEADO | 10 | 4,4% |
| APLICACIÓN | 1 | 0,4% |
| MOLDEADO | 1 | 0,4% |
| Total | 225 | 100% |

Nota. La tabla 15, muestra las cantidades respecto a la decoración que presenta los fragmentos de cerámica diagnóstica; mostrando la presencia de mayor cantidad (159) no determinados; seguido de fragmentos de cerámica con pintura (42); presencia de incisión

(11) y paleteado (10); en menor número (1) presencia de piel de ganso, aplicación y modelado.

Figura 325

Cantidad de tipos de decoración.



Nota. El gráfico de barras 325, muestra de manera comparativa, las cantidades de material con decoración identificado dentro de los fragmentos de cerámica diagnóstica.

Tabla 16

Fragmentos de cerámica asociada a una filiación cultural.

| FILIACIÓN CULTURAL: CERRO PULATO | |
|----------------------------------|----------|
| FILIACIÓN | PRESENTA |
| LAMBAYEQUE | X |
| CHIMÚ | X |
| CUPISNIQUE | X |

Nota. La tabla 16, muestra la presencia de fragmentos de cerámica afiliada a las siguientes culturas: Lambayeque; Chimú y Cupisnique.

3.3.2. Huaca Los Chinos.

Tabla 17

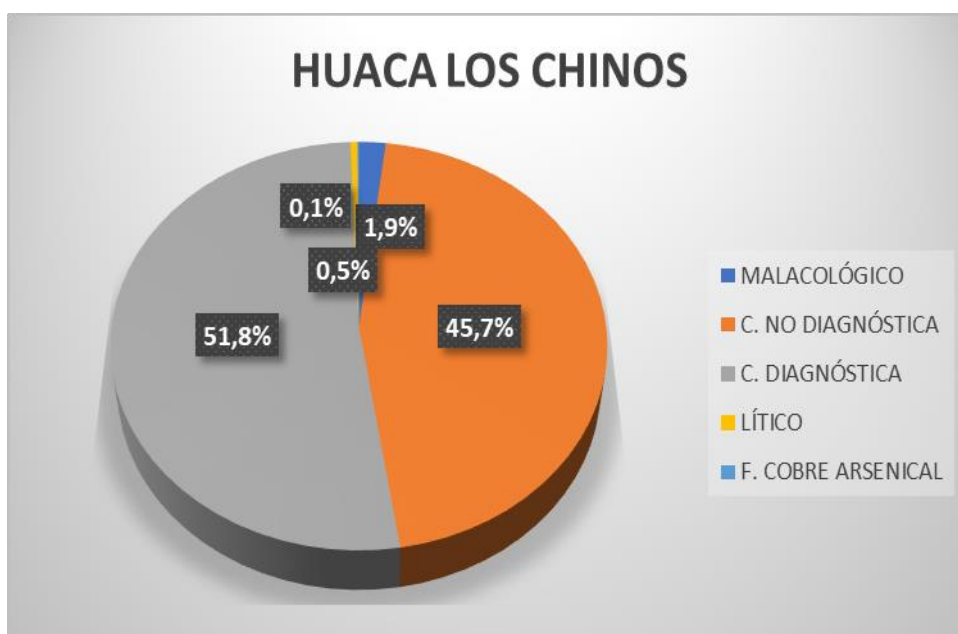
Material identificado en Huaca Los Chinos.

| HUACA LOS CHINOS | | |
|--------------------|----------|------------|
| MATERIAL | CANTIDAD | PORCENTAJE |
| MALACOLÓGICO | 38 | 1,9% |
| C. NO DIAGNÓSTICA | 911 | 45,7% |
| C. DIAGNÓSTICA | 1034 | 51,8% |
| LÍTICO | 10 | 0,5% |
| F. COBRE ARSEÑICAL | 2 | 0,1% |
| TOTAL | 1995 | 100% |

Nota. La tabla 17, muestra la cantidad y porcentaje de materiales identificados en los cuatro sectores de Huaca los Chinos (1995); presenta mayor porcentaje de fragmentos de cerámica diagnóstica (51,8%), seguido de fragmentos de cerámica no diagnóstica (45,7%), restos malacológicos en (1,9%), material lítico (0,5%) y en menor cantidad restos de cobre arsenical (0,1%).

Figura 326

Porcentajes de material identificado.



Nota. En el gráfico circular 326, se muestra de manera didáctica, los porcentajes de material identificado; los cuales están diferenciados en colores.

Tabla 18

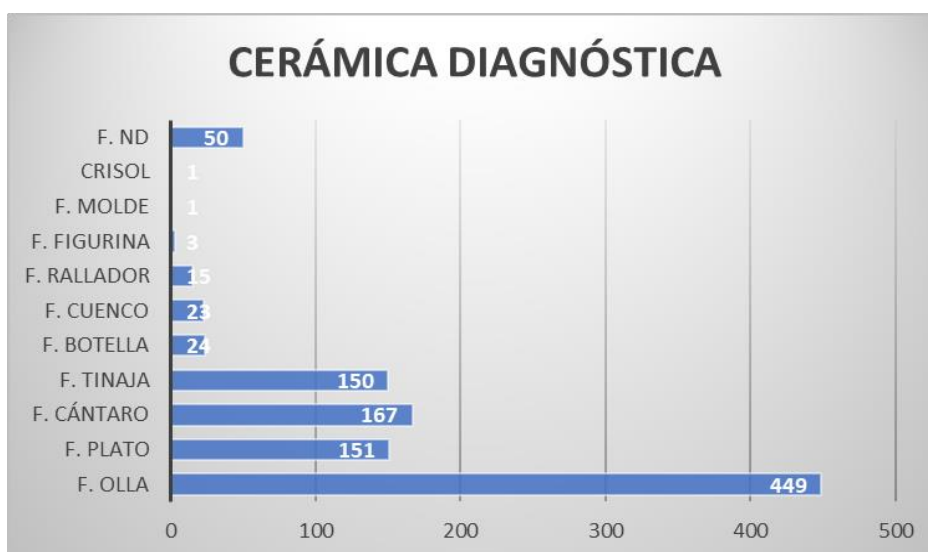
Distintas formas identificadas en Huaca Los Chinos.

| CERÁMICA DIAGNÓSTICA | | |
|----------------------|----------|------------|
| FORMA | CANTIDAD | PORCENTAJE |
| F. OLLA | 449 | 43,4% |
| F. PLATO | 151 | 14,6% |
| F. CÁNTARO | 167 | 16,2% |
| F. TINAJA | 150 | 14,5% |
| F. BOTELLA | 24 | 2,3% |
| F. CUENCO | 23 | 2,2% |
| F. RALLADOR | 15 | 1,5% |
| F. FIGURINA | 3 | 0,3% |
| F. MOLDE | 1 | 0,1% |
| CRISOL | 1 | 0,1% |
| F. ND | 50 | 4,8% |
| TOTAL | 1034 | 100% |

Nota. La tabla 18 muestra la diferenciación de cantidades de fragmentos de cerámica diagnóstica (1034); la distinción se realiza por formas determinadas en los 4 sectores; detalla la mayor presencia de ollas (43,4%), seguido de cántaros (16,2%), platos (14,6%) y seguido de muy cerca fragmentos de tinaja (14,5%); en menor porcentaje se encontró un fragmento de figurina (0,3%); molde (0,1%) y un crisol completo (0,1%).

Figura 327

Porcentajes de cerámica diagnóstica identificado.



Nota. El gráfico de barras 327, muestra de manera comparativa, las formas de material identificado; dentro de fragmentos de la cerámica diagnóstica.

Tabla 19

Distintos tipos de decoración identificados en Huaca Los Chinos.

| DECORACIÓN CERÁMICA | | |
|---------------------|----------|------------|
| TIPO | CANTIDAD | PORCENTAJE |
| PINTURA | 347 | 33,6% |
| ND | 380 | 36,8% |
| INCISIÓN | 27 | 2,6% |
| PIEL DE GANSO | 5 | 0,5% |
| PALETEADO | 256 | 24,8% |
| APLICACIÓN | 11 | 1,1% |
| MOLDEADO | 2 | 0,2% |
| CHAMPLEVE | 2 | 0,2% |
| ESCULTÓRICA | 3 | 0,3% |
| MARCA | 1 | 0,1% |
| TOTAL | 1034 | 100% |

Nota. La tabla 19 muestra las cantidades y porcentajes respecto a la decoración que presenta los fragmentos de cerámica diagnóstica; mostrando la presencia de mayor cantidad (36,8%) no determinados; seguido de fragmentos de cerámica con pintura (33,6%); presencia de paleteado (24,8%); en menor porcentaje (2,6%) presencia de incisión, aplicación (1,1%), champlévé (0,2%) y fragmentos de marca (0,1%).

Figura 328

Cantidad de tipos de decoración.



Nota. El gráfico de barras 328, muestra de manera comparativa, las cantidades de material con decoración identificadas en fragmentos de cerámica diagnóstica.

Tabla 20*Cerámica asociada a una filiación cultural.*

| FILIACIÓN CULTURAL: HUACA LOS CHINOS | |
|--------------------------------------|----------|
| FILIACIÓN | PRESENTA |
| LAMBAYEQUE | X |
| CHIMÚ | X |
| CAJAMARCA COSTEÑO | X |
| MOCHICA | X |
| CUPISNIQUE | X |
| GALLINAZO | X |

Nota. La tabla 20, muestra la presencia de fragmentos de cerámica afiliada a las siguientes culturas: Lambayeque; Chimú, Cupisnique, Cajamarca, Mochica y Gallinazo.

3.3.3. Cerro Mirador.

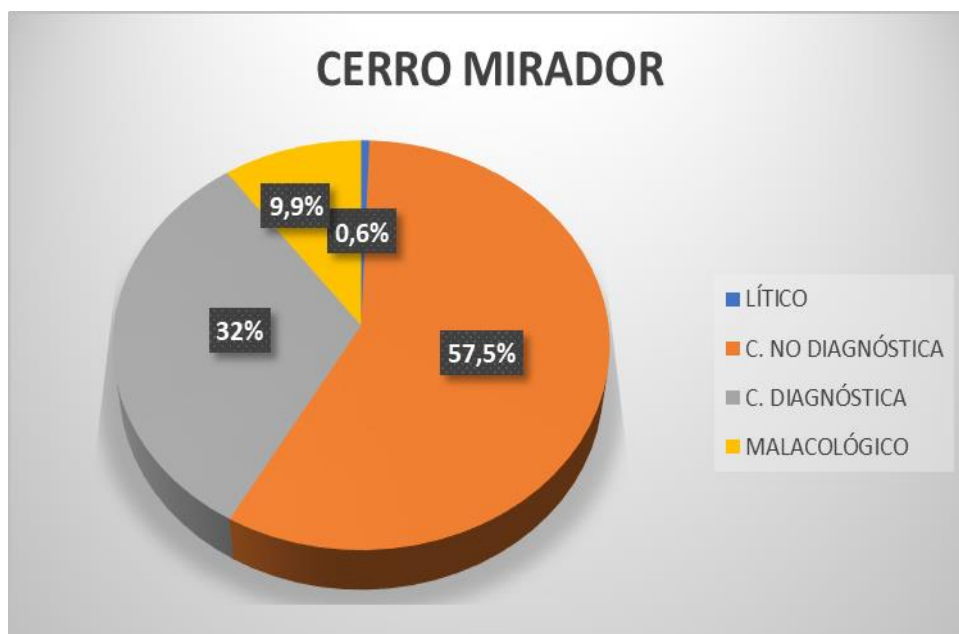
Tabla 21*Material identificado en Cerro Mirador.*

| CERRO MIRADOR | | |
|-------------------|----------|------------|
| MATERIAL | CANTIDAD | PORCENTAJE |
| LÍTICO | 3 | 0,6% |
| C. NO DIAGNÓSTICA | 295 | 57,5% |
| C. DIAGNÓSTICA | 164 | 32,0% |
| MALACOLÓGICO | 51 | 9,9% |
| TOTAL | 513 | 100% |

Nota. La tabla 21, muestra la cantidad y porcentaje de materiales identificados en los cuatro sectores de cerro Mirador (513); presenta mayor porcentaje de fragmentos de cerámica no diagnóstica (57,5%), seguido de fragmentos de cerámica diagnóstica (32%), restos malacológicos en (9,9%), y en menor cantidad material lítico (0,6%).

Figura 329

Porcentajes de material identificado.



Nota. En el gráfico circular 329, se muestra de manera diferenciada, los porcentajes de material registrados; los cuales están identificados en colores.

Tabla 22

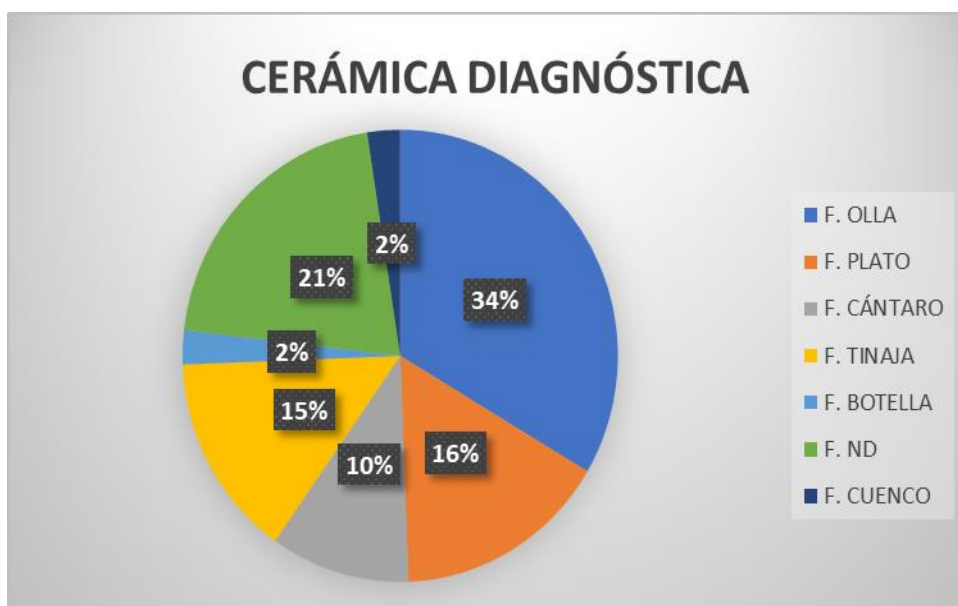
Distintas formas identificadas en Cerro Mirador.

| CERÁMICA DIAGNÓSTICA | | |
|----------------------|----------|------------|
| FORMA | CANTIDAD | PORCENTAJE |
| F. OLLA | 55 | 34% |
| F. PLATO | 26 | 16% |
| F. CÁNTARO | 17 | 10% |
| F. TINAJA | 24 | 15% |
| F. BOTELLA | 4 | 2% |
| F. ND | 34 | 21% |
| F. CUENCO | 4 | 2% |
| TOTAL | 164 | 100% |

Nota. La tabla 22 muestra la diferenciación de cantidades de fragmentos de cerámica diagnóstica (164); la distinción se realiza por formas determinadas en los 4 sectores; detalla la mayor presencia de ollas (34%), seguido de fragmentos no identificados (21%), platos (16%), tinajas (15%); en menor porcentaje se registró cántaros (10%), cuencos y botellas (2%).

Figura 330

Porcentajes de cerámica diagnóstica identificado.



Nota. El gráfico circular 330, muestra de manera comparativa, los porcentajes de las formas de material identificadas; dentro de los fragmentos de cerámica diagnóstica.

Tabla 23

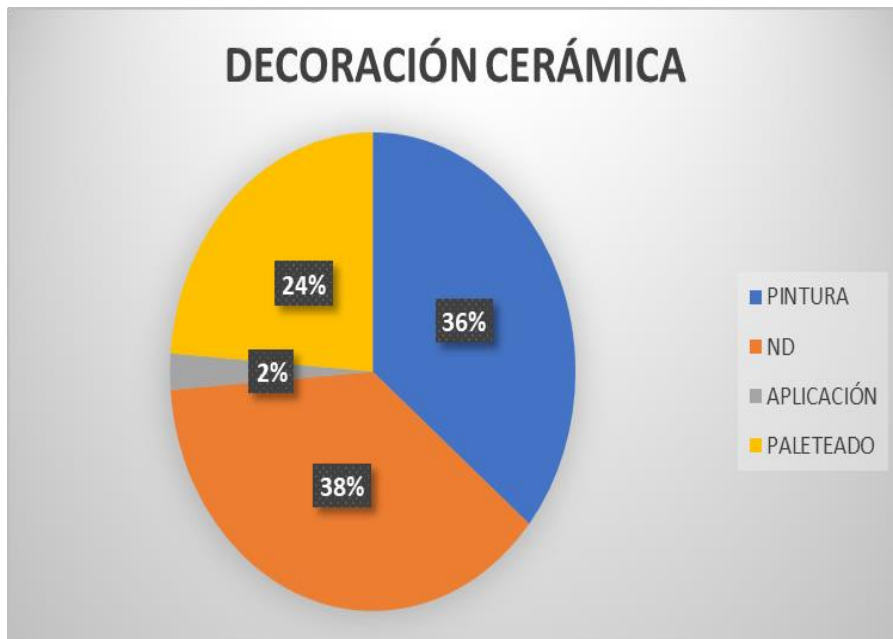
Distintos tipos de decoración identificados en Cerro Mirador.

| DECORACIÓN CERÁMICA | | |
|---------------------|----------|------------|
| TIPO | CANTIDAD | PORCENTAJE |
| PINTURA | 59 | 36% |
| ND | 62 | 38% |
| APLICACIÓN | 4 | 2% |
| PALETEADO | 39 | 24% |
| TOTAL | 164 | 100% |

Nota. La tabla 23 muestra las cantidades y porcentajes respecto a la decoración que presenta los fragmentos de cerámica diagnóstica; mostrando la presencia de mayor cantidad (38%) no determinados; seguido de cerámica con pintura (36%); presencia de paleteado (24%) y en menor porcentaje aplicación (0,4%).

Figura 331

Cantidad de tipos de decoración.



Nota. El gráfico circular 331, muestra de manera comparativa, los porcentajes de material con decoración identificado en fragmentos de cerámica diagnóstica.

Tabla 24

Cerámica asociada a una filiación cultural.

| FILIACIÓN CULTURAL: CERRO MIRADOR | |
|-----------------------------------|----------|
| FILIACIÓN | PRESENTA |
| LAMBAYEQUE | X |
| MOCHICA | X |
| CAJAMARCA COSTEÑO | X |
| CHIMÚ | X |

Nota. La tabla 24, muestra la presencia de fragmentos de cerámica afiliada a las siguientes culturas: Lambayeque; Chimú, Cajamarca y Mochica

3.3.4. Cerro Gallinazo.

Tabla 25

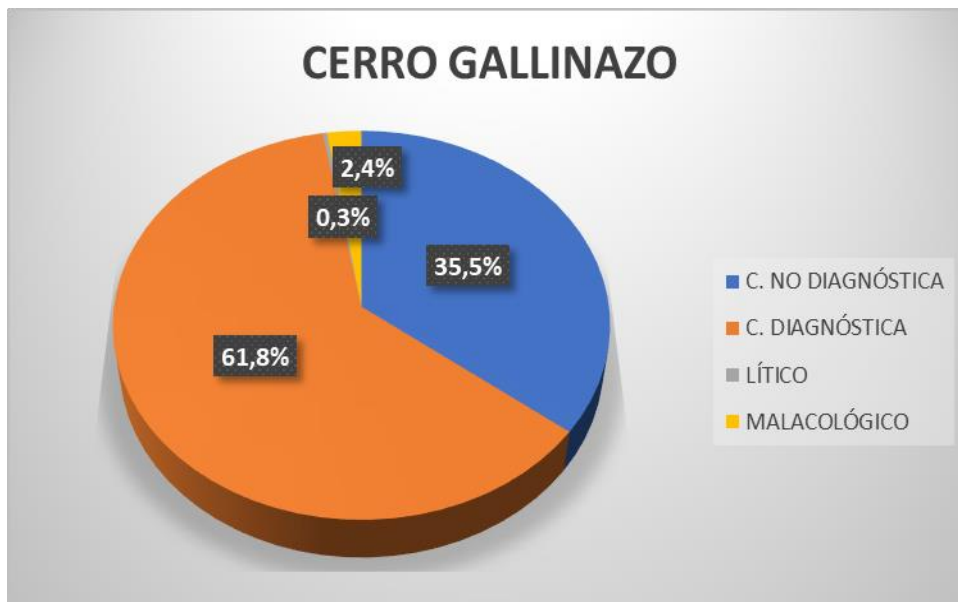
Material identificado en Cerro Gallinazo.

| CERRO GALLINAZO | | |
|-------------------|----------|------------|
| MATERIAL | CANTIDAD | PORCENTAJE |
| C. NO DIAGNÓSTICA | 116 | 35,5% |
| C. DIAGNÓSTICA | 202 | 61,8% |
| LÍTICO | 1 | 0,3% |
| MALACOLÓGICO | 8 | 2,4% |
| TOTAL | 327 | 100% |

Nota. La tabla 25, muestra la cantidad y porcentaje de materiales identificados en los cuatro sectores de cerro Gallinazo (327); presenta mayor porcentaje de fragmentos de cerámica diagnóstica (61,8%), seguido de fragmentos de cerámica no diagnóstica (35,5%), restos malacológicos en (2,4%), y en menor cantidad material lítico (0,3%).

Figura 332

Porcentajes de material identificado.



Nota. En el gráfico circular 332, se muestra de manera diferenciada, los porcentajes de material registrados; los cuales están identificados en colores.

Tabla 26

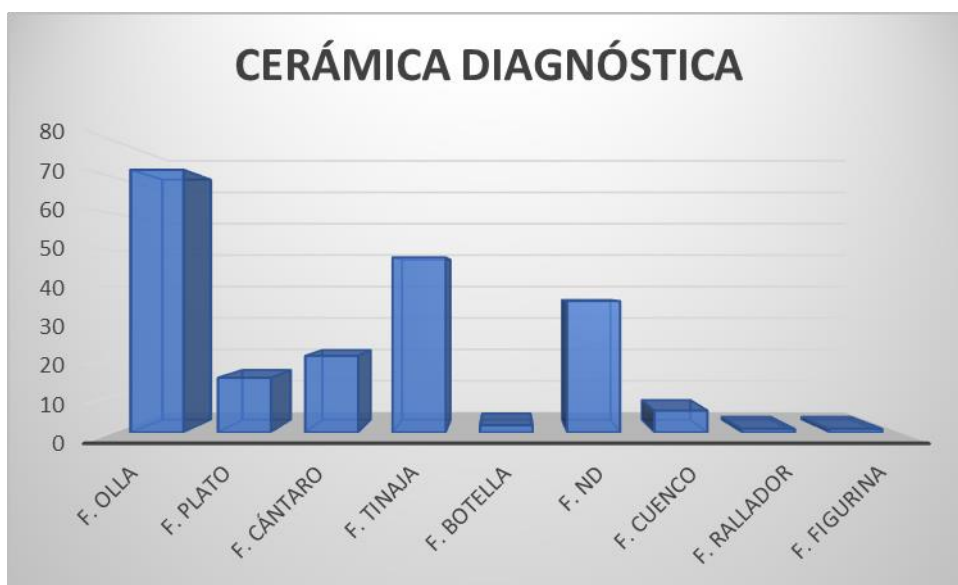
Distintas formas identificadas en Cerro Gallinazo.

| CERÁMICA DIAGNÓSTICA | | |
|----------------------|----------|------------|
| FORMA | CANTIDAD | PORCENTAJE |
| F. OLLA | 72 | 35,6% |
| F. PLATO | 15 | 7,4% |
| F. CÁNTARO | 21 | 10,4% |
| F. TINAJA | 48 | 23,8% |
| F. BOTELLA | 2 | 1,0% |
| F. ND | 36 | 17,8% |
| F. CUENCO | 6 | 3,0% |
| F. RALLADOR | 1 | 0,5% |
| F. FIGURINA | 1 | 0,5% |
| TOTAL | 202 | 100% |

Nota. La tabla 26 muestra la diferenciación de cantidades y porcentajes de fragmentos de cerámica diagnóstica (202); la distinción se realiza por formas determinadas en los 4 sectores; detalla la mayor presencia de ollas (35,6%), seguido de fragmentos de tinajas (23,8%), fragmentos no identificados (17,8%), cántaros (10,4%), platos (7,4%), y en menor porcentaje fragmentos de rallador y figurina (0,5%).

Figura 333

Porcentajes de cerámica diagnóstica identificado.



Nota. El gráfico de barras 333, muestra de manera comparativa, los porcentajes de las formas de material identificado; dentro de fragmentos de cerámica diagnóstica.

Tabla 27

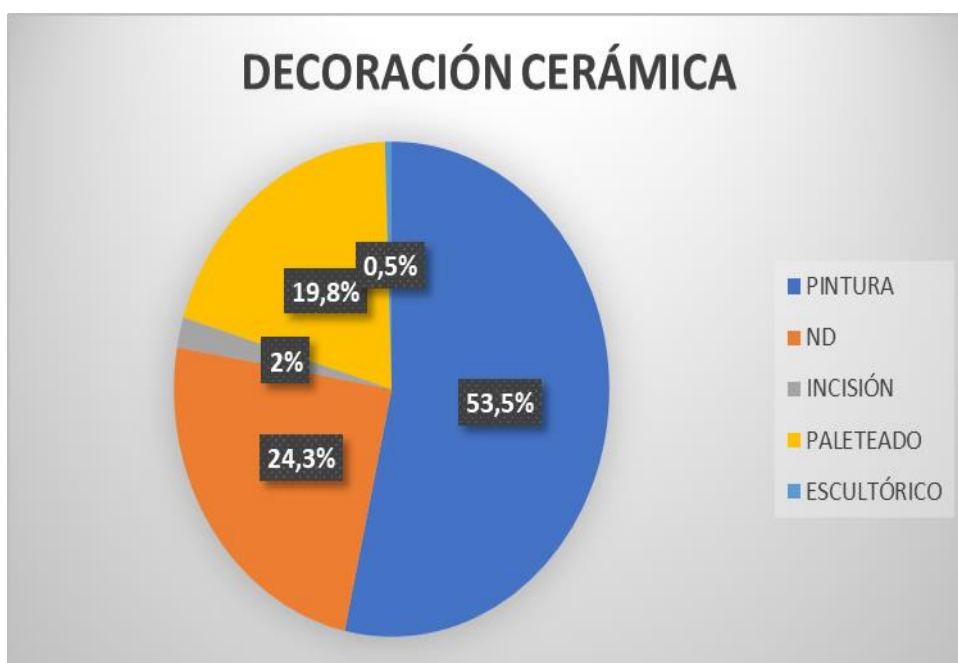
Distintos tipos de decoración identificados en Cerro Gallinazo.

| DECORACIÓN CERÁMICA | | |
|---------------------|----------|------------|
| TIPO | CANTIDAD | PORCENTAJE |
| PINTURA | 108 | 53,5% |
| ND | 49 | 24,3% |
| INCISIÓN | 4 | 2,0% |
| PALETEADO | 40 | 19,8% |
| ESCULTÓRICO | 1 | 0,5% |
| TOTAL | 202 | 100,0% |

Nota. La tabla 27, muestra las cantidades y porcentajes respecto a la decoración que presenta los fragmentos de cerámica diagnóstica; mostrando la presencia de mayor cantidad (53,5%) pintura; seguido de fragmentos no determinados (24,3%); presencia de paleteado (19,8%) y en menor porcentaje incisión (2%) y escultórico (0,5%).

Figura 334

Cantidad de tipos de decoración.



Nota. El gráfico circular 334, muestra de manera comparativa, las cantidades de material con decoración identificadas en fragmentos de cerámica diagnóstica.

Tabla 28*Cerámica asociada a una filiación cultural.*

| FILIACIÓN CULTURAL: CERRO GALLINAZO | |
|-------------------------------------|----------|
| FILIACIÓN | PRESENTA |
| LAMBAYEQUE | X |
| GALLINAZO | X |
| CAJAMARCA COSTEÑO | X |
| CHIMÚ | X |

Nota. Nota. La tabla 28, muestra la presencia de fragmentos de cerámica afiliada a las siguientes culturas: Lambayeque; Chimú, Cajamarca y Mochica

3.3.5. Estadística General.

A continuación, se presentará las tablas y gráficos de la comparación de materiales identificados entre los 4 sitios prospectados. La primera comparativa se da en torno al material cerámico reconocido, en este caso se considera tanto fragmentos de cerámica diagnóstica, como fragmentos de cerámica no diagnóstica.

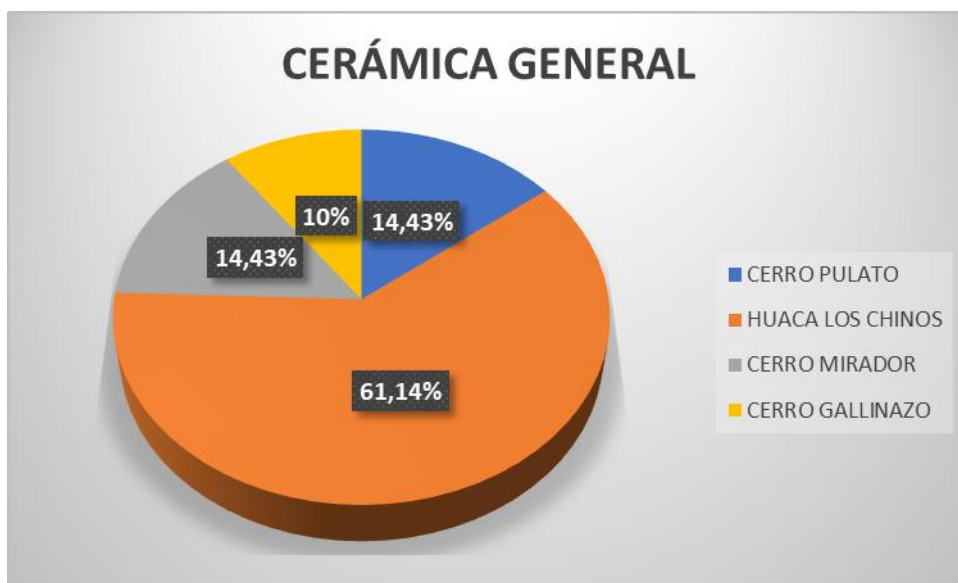
Tabla 29*Cantidad general y porcentajes por lugar prospectado.*

| CERÁMICA GENERAL | | |
|---------------------|----------|------------|
| SITIOS PROSPECTADOS | CANTIDAD | PORCENTAJE |
| CERRO PULATO | 459 | 14,43% |
| HUACA LOS CHINOS | 1945 | 61,14% |
| CERRO MIRADOR | 459 | 14,43% |
| CERRO GALLINAZO | 318 | 10,00% |
| TOTAL | 3181 | 100% |

Nota. La tabla 29, muestra la cantidad y porcentajes de cerámica general registrada en los 4 sitios prospectados, mostrando un total de 3181 fragmentos; siendo Huaca Los Chinos (61,14%) el sitio con mayor evidencia cerámica, seguido de cerro Pulato y cerro Mirador (14,43%) y con menor evidencia a cerro Gallinazo (10%).

Figura 335

Porcentajes comparativos de los sitios prospectados.



Nota. El gráfico circular 335, muestra de manera comparativa, las cantidades de material cerámico registrado en cada sitio prospectado.

En segundo lugar, ya nos centramos en comparar el material cerámico diagnóstico.

Tabla 30

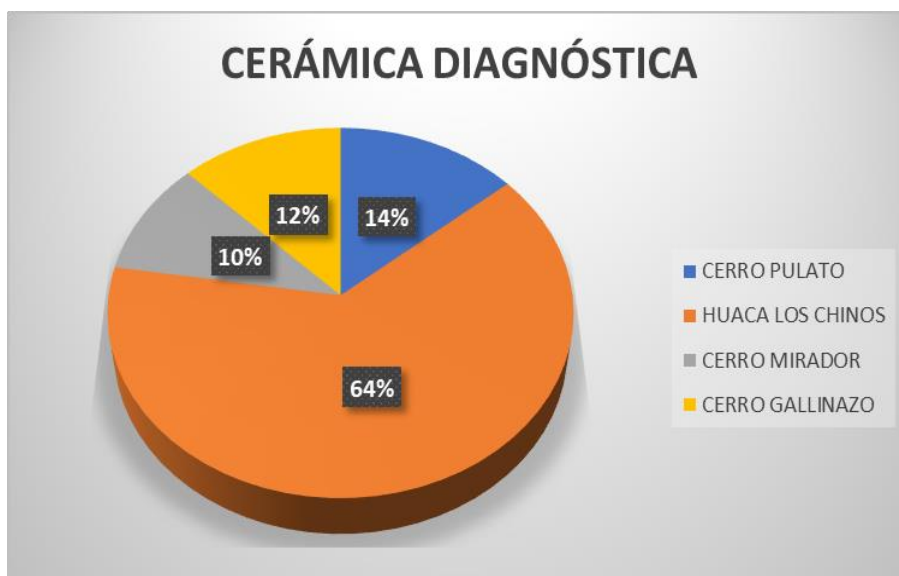
Cantidad general y porcentajes de cerámica diagnóstica.

| CERÁMICA DIAGNÓSTICA | | |
|----------------------|----------|------------|
| SITIOS PROSPECTADOS | CANTIDAD | PORCENTAJE |
| CERRO PULATO | 225 | 14% |
| HUACA LOS CHINOS | 1034 | 64% |
| CERRO MIRADOR | 164 | 10% |
| CERRO GALLINAZO | 202 | 12% |
| TOTAL | 1625 | 100% |

Nota. La tabla 30, muestra la cantidad y porcentaje de fragmentos de cerámica diagnóstica, siendo Huaca Los Chinos (64%) la zona con mayor material identificado, seguido en menor porcentaje por cerro Pulato (14%), cerro Gallinazo (12%) y cerro Mirador (10%).

Figura 336

Porcentajes comparativos de cerámica diagnóstica.



Nota. El gráfico circular 336, muestra de manera comparativa, las cantidades de material cerámico diagnóstica, registrado en cada sitio prospectado.

Como tercer punto la comparativa de la filiación cultural.

Tabla 31

Cerámica diagnóstica con filiación cultural determinada.

| FILIACIÓN CULTURAL EN LA ZONA ORIENTAL DE PÁTAPO | |
|--|----------|
| FILIACIÓN | PRESENTA |
| LAMBAYEQUE | X |
| CHIMÚ | X |
| CAJAMARCA COSTEÑO | X |
| MOCHICA | X |
| CUPISNIQUE | X |
| GALLINAZO | X |

Nota. La tabla 31, muestra la filiación cultural; mostrando la presencia de material Lambayeque; Chimú, Cajamarca costeño, Mochica, Gallinazo y Cupisnique.

Como cuarto punto la comparativa de material lítico.

Tabla 32

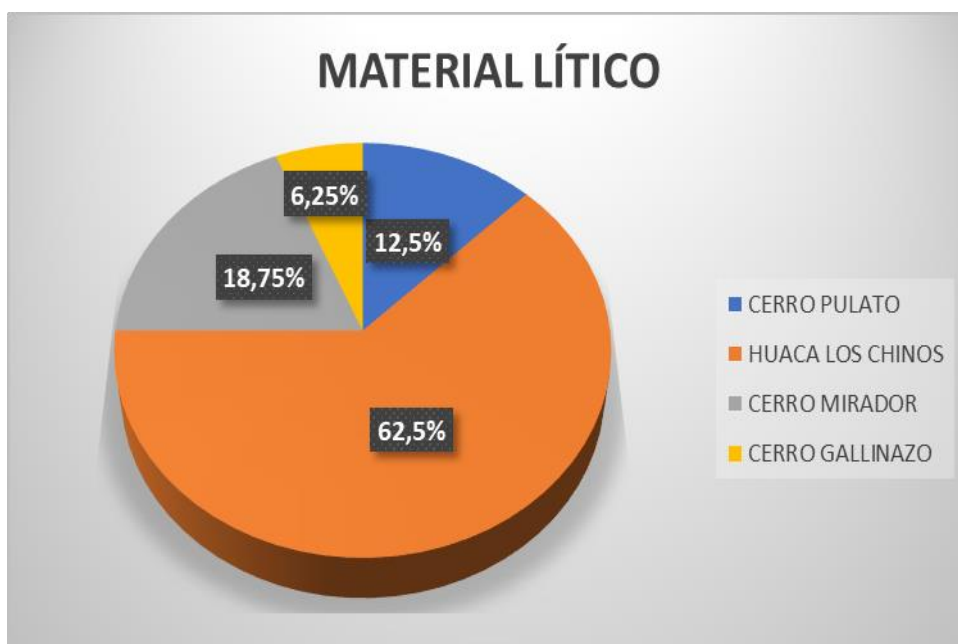
Cantidad general y porcentajes de material lítico.

| MATERIAL LÍTICO | | |
|---------------------|----------|------------|
| SITIOS PROSPECTADOS | CANTIDAD | PORCENTAJE |
| CERRO PULATO | 2 | 12,50% |
| HUACA LOS CHINOS | 10 | 62,50% |
| CERRO MIRADOR | 3 | 18,75% |
| CERRO GALLINAZO | 1 | 6,25% |
| TOTAL | 16 | 100% |

Nota. La tabla 32, muestra la cantidad y porcentajes de material lítico registrada en los 4 sitios prospectados, mostrando un total de 16 muestras; siendo Huaca Los Chinos (62,50%) el sitio que brinda mayor evidencia, seguido de cerro Mirador (18,75%), cerro Pulato (12,50%) y cerro Gallinazo (6,25%).

Figura 337

Porcentajes comparativos de material lítico.



Nota. El gráfico circular 333, muestra de manera comparativa, los porcentajes de material lítico, registrado en cada sitio prospectado.

En quinto lugar, el material identificado y comparado en los 4 sitios prospectados, son los restos malacológicos.

Tabla 33

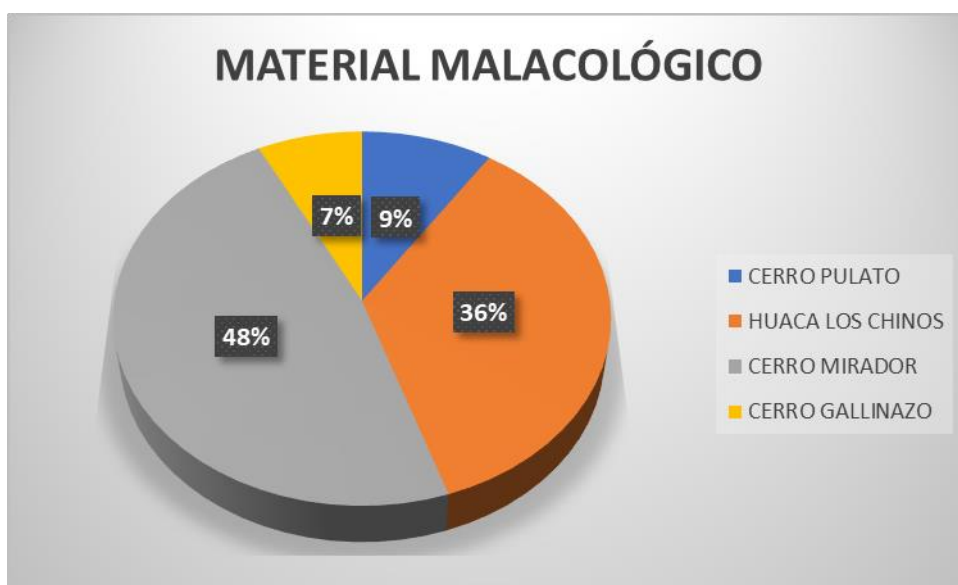
Cantidad general y porcentajes de material malacológico.

| MATERIAL MALACOLÓGICO | | |
|-----------------------|----------|------------|
| SITIOS PROSPECTADOS | CANTIDAD | PORCENTAJE |
| CERRO PULATO | 10 | 9% |
| HUACA LOS CHINOS | 38 | 36% |
| CERRO MIRADOR | 51 | 48% |
| CERRO GALLINAZO | 8 | 7% |
| TOTAL | 107 | 100% |

Nota. La tabla 33, muestra la cantidad y porcentajes de material malacológico registrada en los 4 sitios prospectados, mostrando un total de 107 muestras; siendo cerro Mirador (48%) el sitio que brinda mayor evidencia, seguido de Huaca Los Chinos (36%), cerro Pulato (9%) y cerro Gallinazo (7%).

Figura 338

Porcentajes comparativos de material malacológico.



Nota. El gráfico circular 338, muestra de manera comparativa, los porcentajes de material malacológico, registrado en cada sitio prospectado.

CAPÍTULO IV. DISCUSIÓN DE RESULTADOS

Las primeras referencias en el distrito de Pátapo, dentro del valle Chancay Lambayeque, fueron por parte del conquistador Francisco Pizarro por los años 1540, citado en las investigaciones de (Xeres, 1985), donde menciona presencia de murallas en Tambo de Posope. Posterior se realizó el trabajo etnográfico de Brüning (1922), destacando la presencia de ocupaciones antiguas. Consecutivo a los estudios tanto descriptivos como etnográficos, las investigaciones se centraron en el tema arqueológico (Kosok, 1959), enfocándose en la secuencia ocupacional de Sinto (Hyslop, 1992), asociado a la cerámica Chimú e Inca Tschauner (2001), resaltó a Pátapo como un sitio administrativo Chimú. En 2014, Shimada, investigó la relación de los canales respecto a la geografía del valle. No obstante mencionar las investigaciones, tanto de manera histórica por parte de Zevallos (1995). Fernández (2004), realizó una investigación arqueológica e histórica, haciendo mención de los promontorios de la zona oriental de Pátapo, de los cuales menciona su ubicación y características geográficas.

En la zona oriental de Pátapo, las investigaciones son escasas; tales son los trabajos de Brüning (1922), donde describió las ruinas en los cerros, como parte de su trabajo monográfico. Tuvieron que pasar 82 años para volver a tener conocimiento del estudio realizado; esto por parte de (Fernández, 2004) aportó información de la morfología de la zona oriental y la ocupación Chimú en Huaca los Chinos, brindando un aporte integrado; donde menciona la presencia de promontorios rocosos al sur de cerro Pátapo. Estos dos trabajos si bien no estaban orientados en su totalidad a un ejercicio de la arqueología, brindaron las bases para el reconocimiento e identificación geográfica y morfológica de la zona oriental de Pátapo.

En cuanto al reconocimiento e identificación del material cultural presente en la zona oriental de Pátapo, área total de 18 hectáreas; distribuida en 4 promontorios rocosos; cerro Pulato (Figura 99), Huaca los Chinos (Figura 148), cerro Mirador (Figura 250), cerro Gallinazo (Figura 299). La geomorfología en la zona oriental de Pátapo, forman parte del paisaje de valle encañonado y llanura aluvial, (Figura 25 y 26), con presencia de terrazas en gran extensión del territorio (Figura 30), recurso hídrico proveniente de Chongoyape, que surca el canal Taymi (Figura 32). El estudio del tema ecológico y geomorfológico del

territorio prospectado resalta la relación entre el territorio y el sitio arqueológico, guardando relación con los estudios por parte de Echeverría (2011).

El recurso hídrico jugó un papel de desarrollo en Pátapo, siendo parte del antiguo cacicazgo o señorío de Sinto (Zevallos, 1989, 1995; Fernández, 2004), el mismo que fue categorizado como un centro secular, que constituía una zona de control de la irrigación entre valles (Kosok, 1959); evidencia identificada en los márgenes norte de Huaca Los Chinos con el canal Taymi antiguo (Figura 31). El Taymi antiguo permitió el desarrollo agrícola y económico de las sociedades asentadas en Pátapo; estamos hablando de una unificación en torno al tema hidráulico (Shimada, 2014), y esto se refleja en la arquitectura de cerro Pátapo y sus promontorios rocosos menores.

La zona oriental del distrito de Pátapo, presentó gran cantidad de evidencia material (Tabla 13, 17, 21 y 25), registrado en los distintos sectores determinados en la investigación (Figura 103, 152, 254 y 303). Como primer punto se realizó la identificación de petroglifos, el primero en Huaca los Chinos (Figura 203), y el segundo en cerro Gallinazo (Figura 310).

El material lítico identificado, son 16 piezas que presentaron muestras de cada sitio prospectado; en el caso de cerro Pulato (Figura 123); Huaca los Chinos (Figura 169, 182, 206), cerro Mirador (Figura 280), y cerro Gallinazo (Figura 315). Podemos observar la diferenciación de cantidades entre los sitios (Tabla 32), donde la mayoría de las muestras están en Huaca los Chinos con el 62,5% (Figura 358). Los usos de este material son diversos; van desde la presencia de cantos rodados y material para moler (Figura 123), algunos utilizados para el paleteado de cerámica (Figura 169), pulidores (Figura 182); usados en la manufactura de diversas actividades productivas como la alimentación y acabado de cerámica, como lo es el pulido (Figura 265).

El material malacológico identificado fue de 107 muestras; con presencia de *Spondylus* (Figura 281), *Donax obesulus* (Figura 111), y caracol terrestre (Figura 282), se consideraron dentro de la categoría malacológica por cada sitio prospectado (Tabla 33). Cerro Mirador fue el principal aportante de este material, con el 48% (Gráfico 359).

Se registraron 1625 fragmentos de cerámica diagnóstica (Tabla 30); se presentó un patrón de incidencia en cerámica de la forma de olla, plato, cántaro y tinaja; estas formas

son las que se identificaron en mayor porcentaje (Tabla 14, 18, 22 y 26); la presencia de gran abundancia de cerámica doméstica fortalece la idea de la relación administrativa con cerro Pátapo (Tschauner, 2001), destacando la presencia de una organización política estructurada; destacando a Huaca los Chinos como el principal sitio de reconocimiento de cerámica en su sector D con un total de 648 fragmentos registrados (Anexo 13). Las acumulaciones de cerámica se encontraron generalmente en los sectores C y D; excepto cerro Pulato donde se identificó en los sectores B y C; se presenta un patrón en los sectores suroeste y sureste para la presencia de acumulaciones de cerámica. La presencia de dos muestras de cobre arsenical encontrado en Huaca los Chinos, sector D (Figura 205), son evidencia de trabajos en metales.

La filiación cultural de los fragmentos diagnósticos en cerro Pulato (Tabla 16), Huaca los Chinos (Tabla 20), cerro Mirador (Tabla 24) y cerro Gallinazo (28); muestran fragmentos asociados a la época del intermedio tardío (Tabla 31), siendo la mayor concurrencia de cerámica registrada e identificada, propia de las culturas Lambayeque y Chimú (Figura 357). Identificándose a su vez presencia de fragmentos del formativo de la cultura Cupisnique, en los sitios cerro Pulato (Tabla 16) y Huaca los Chinos (Tabla 20); fragmentos Mochica (Tabla 20, 24) en los sitios de Huaca los Chinos y cerro Mirador respectivamente. A su vez la presencia de fragmentos de cerámica Cajamarca costeño (Tabla 20, 24,28) y presencia Gallinazo (Tabla 20 y 28) en Huaca los Chinos y cerro Gallinazo, respectivamente.

En cuanto a la arquitectura, se registraron dos tipos; en cerro Pulato, estructuras rectangulares hechas de piedra (Figura 140 y 141); este tipo de arquitectura construida en las secciones media y baja, son considerados conjuntos habitacionales para el almacenaje de alimentos (Chero, 2020), esto relacionado a la gran productividad de esta zona del valle, ubicado estratégicamente en las zonas cercanas a los campos de cultivo. Por otra parte, la arquitectura identificada en Huaca los Chinos; con grandes muros trapezoidales, construidos por bloques; con una altura de 5,2 metros y de ancho 1,1 metro (Figura 198, 199); estructuras de grandes dimensiones (Figura 197); permite evidenciar la presencia de un centro administrativo de rango menor (Mackey, 2013), esto a partir del tipo de construcción, la filiación cultural y las dimensiones que presenta.

De igual manera este tipo de arquitectura sustenta la hipótesis de sitios administrativos, relacionado con el Taymi, construcciones que guardan relación política con cerro Pátapo (Tschauner, 2001). Este tipo de estrategias administrativas Chimú, de

reutilización de espacios Lambayeque, para la construcción de centros administrativos; como Pátapo (Mackey, 2013), sustentan el nexo de Huaca los Chinos y cerro Pulato como parte de lugares administrativos y de almacenamiento.

El registro de arquitectura a su vez mantiene una relación con la propuesta de que estas construcciones fueron hechas antes de la ocupación Inca (Hyslop, 1992), aunque no especifica una filiación a partir de estudios en los promontorios de la zona oriental; sino orientado a la arquitectura de cerro Pátapo; mencionando la reutilización de espacios. El estilo arquitectónico de este tipo de complejos político – administrativos, separados de las zonas residenciales; muestran la diferenciación de clases sociales (Canziani, 2009).

CONCLUSIONES

La prospección arqueológica en la zona oriental de Pátapo presentó una cantidad diversa de material cultural, en mayor cantidad la presencia de muestras de cerámica, material malacológico y lítico; en menor cantidad presencia de petroglifos, cobre arsenical y arquitectura.

La zona oriental presentó abundancia de terrazas de baja pendiente, lo que favorece la presencia de campos de cultivo; diversidad en flora y fauna de parte del Desierto del Pacífico y Bosque Seco Ecuatorial.

Los fragmentos de cerámica identificada en su gran mayoría están asociadas al periodo intermedio tardío, vinculado a las culturas Lambayeque y Chimú; destacando la presencia desde tiempos tempranos a su vez de cerámica del periodo formativo, propia de Cupisnique, no dejando de lado también la identificación de fragmentos Gallinazo, Mochica y el registro de cerámica Cajamarca costero, en esta parte de la zona oriental de Pátapo. Las muestras de cerámica; en su mayoría material doméstico, de carácter cotidiano; como son los fragmentos de ollas, platos, tinajas, cántaros y botellas; presencia de decoración variada en las muestras; en su mayoría presencia de pintura, paletado e incisiones propias de la cerámica de carácter doméstico.

El material lítico, está asociado en términos de manufactura, a cantos rodados, material para pulir, moler y para el paletado de cerámica; estas muestras permiten el uso del territorio en sus distintos procesos de elaboración, tanto en construcciones, para el proceso de alimentos, así como también en la manufactura de cerámica.

El material malacológico identificado fue *Spondylus*, *Donax obesulus* y caracol de tierra. Este tipo de muestras en esta parte de la región es un claro ejemplo de las conexiones entre las poblaciones de Pátapo y las sociedades del litoral.

La presencia de los petroglifos, son la muestra de la cosmovisión desde tiempos tempranos, estos seres antropomorfos, son parte de un conjunto de creencias que se vieron reflejados en piedra; siguiendo un patrón de ubicación; ambas orientadas hacia el este y en el sector C, tanto en Huaca los Chinos, como en cerro Gallinazo; representaciones que giran

en torno a la cosmovisión de los pobladores de este territorio, vista de seres antropomorfos. La presencia de los petroglifos aparte de añadir información a la dimensión simbólica del paisaje, nos sugiere espacios significativos, usados como marcadores territoriales, lugares demostrativos de la memoria colectiva antigua.

La arquitectura está representada en la zona a través de un centro administrativo menor en Huaca los Chinos, la presencia de altos muros trapezoidales, técnicas de construcción propias de los Chimú, es indicativo de presencia de estructuras propias para el resguardo de alimentos y cosechas de la zona oriental. Por otro lado, la estructura rectangular en cerro Pulato, hecha de piedra, de carácter de almacén de alimentos; son ambos indicios de la relación política y administrativa de estos promontorios rocosos, esta dinámica de construcción y ocupación se orienta al control territorial y almacenamiento de recursos en esta parte del valle, respecto al cerro tutelar; el cerro Pátapo.

Punto resaltante a su vez también es la configuración espacial que presenta la zona oriental de Pátapo; la secuencia de los cuatro promontorios en orden descendente; desde el noreste con cerro Pulato, hasta la parte sureste con cerro Gallinazo, no es una casualidad, las sociedades antiguas tenían conocimiento para materializar su cultura en ciertas zonas, la estrategia de control, producción y ubicación estratégica de esta zona les permitió el control de gran parte del valle.

La evidencia registrada en los 4 sitios de estudio, sustenta una secuencia de ocupación que, si bien presenta antecedentes tempranos desde el periodo Formativo, alcanza una mayor concentración de materiales y una actividad intensiva durante el Periodo Intermedio Tardío.

La funcionalidad de los sitios estudiados se vinculan a una organización política jerarquizada, la cual interactuaba de manera directa con el asentamiento principal como lo es Cerro Pátapo, siendo el rol clave desempeñado en la gestión de bienes y articulación de espacios habitacionales con los administrativos; en ese sentido la zona oriental desempeñó un papel secundario, de estrategia, dentro del sistema político, actuando de enlace entre las zonas menores de almacén y acopio con los centros administrativos mayores.

RECOMENDACIONES

Desarrollar acciones de sensibilización y concientización dirigidas a la población que reside en los alrededores de los sitios arqueológicos, con el propósito de fomentar su valoración y preservación, para evitar su uso como cantera para obtener material para sus construcciones, práctica que viene afectando de manera significativa la integridad de los sitios arqueológicos estudiados en la zona oriental de Pátapo.

Realizar la adecuada gestión para inscribir al Sistema de Información Geográfica de Arqueología (SIGDA), los cuatro sitios arqueológicos identificados durante la prospección en la zona oriental de Pátapo, los cuales fueron: Cerro Pulato, Huaca Los Chinos, Cerro Mirador y Cerro Gallinazo, esta acción permitirá establecer medidas de protección legal y facilitar futura investigaciones.

Implementar estrategias de protección y monitoreo en los sitios arqueológicos estudiados en la zona oriental de Pátapo, con el fin de adoptar medidas preventivas frente a fenómenos naturales y antrópicos.

REFERENCIAS

- Altobelli, L., Cabrejos, J., Espejo, L., Vargas, A., & Talenas, D. (2012). *Guía Metodológica de la Estrategia de Sectorización para la Promoción de la Salud en Cogestión con la Comunidad*. Future Generations. https://www.future.edu/wp-content/uploads/2020/10/Guide_to_Sectorization_for_Community_Health-FG_Peru_2012.pdf
- Alva, I. (2013). *Ventarrón y Collud: Origen y auge de la civilización en la costa norte*. Editorial Súper Gráfica EIRL.
- Barker, C. M. (1978). The size effect: an explanation of variability in surface artifact assemblage content. *American Antiquity*, 43(2), 288-293. <https://doi.org/10.2307/279254>
- Bast, J. (1991). Ruptures et continuité culturelles dans la basse vallée du Yapatera: approche typologique formalisée d'un matériel céramique récolté en prospection. *Bulletin de l'Institut Français d'Etudes Andines*, 20(2), 349-380.
- Batayneh, A. T. (2011). Archaeogeophysics–archaeological prospection – A mini review. *Journal of King Saud University - Science*, 23(2), 83-89. <https://doi.org/10.1016/j.jksus.2010.06.011>
- Bermúdez, L. T., & Rodríguez, L. F. (2013). *Investigación en la gestión empresarial*. Ecoe Ediciones.
- Bracamonte, E. (2015). *Huaca Santa Rosa de Pucalá y la organización territorial del valle de Lambayeque*. Ministerio de cultura.
- Brüning, E. (1922). *Estudios Monográficos del Departamento de Lambayeque*. Dionisio Mendoza.
- Borie, C., & Soto, C. (2012): Prospecciones arqueológicas en la costa norte de Taltal. *Revista Taltalia*, (4), 1-23. <https://www.researchgate.net/publication/254256923>
- Burillo, F. (1988): La prospección de superficie: algunas reflexiones sobre su situación actualmente en España. *Arqueocrítica*, 38-45.
- Canziani, J. (2009). *Ciudad y territorio en los andes: contribuciones a la historia del urbanismo prehispánico*. Pontificia Universidad Católica del Perú.
- Cerda, H. (1997). *La investigación total. La unidad metodológica en la investigación científica*. Editorial Magisterio.
- Cerrato, E. (2011). La prospección arqueológica superficial: un método no destructivo para una ciencia que si lo es. *Arte, arqueología e historia*, (18), 151-160. https://www.academia.edu/10965789/CERRATO_CASADO_E_2011_La_prospecci%C3%B3n_arqueol%C3%B3gica_superficial_Una_t%C3%A9cnica_no_destructiva_para_una_ciencia_que_s%C3%AD_lo_es
- Chapa, M. T., Uriarte, A., Vicent, J. M., Mayoral, V. & Pereira, J. (2003). Propuesta metodológica para una prospección arqueológica sistemática: el caso del Guadiana Menor (Jaén, España). *Trabajos de Prehistoria*, 60(1), 11-34. <http://hdl.handle.net/10261/8811>
- Chero, L. (2020). *Cerro Saltur, resultado de la investigación arqueológica: la ocupación chimú*. Ministerio de Cultura.
- Corrales, F. (1986). Prospección arqueológica en Potrero Grande, Diquís. *Vínculos*, 12, 51-67.
- Djindjian, F. (2017). Prospection archéologique et échantillonnage: un divorce paradoxal. *Archéologies numériques*, 1(2), 1-16. 10.21494/ISTE.OP.2017.0174
- Echeverría, J. (2011). *Glosario de arqueología y temas afines: Tomo I*. Ediecuatorial.
- Fassbinder, J. (2017). Magnetische Eigenschaften der archäologischen Schichten von Qantir, Egypt. En E. Pusch & H. Becker (Eds.), *Fenster in die Vergangenheit Einblicke*

- in die Struktur der Ramses-Stadt durch magnetische Prospektion und Grabung* (pp. 327-341). Verlag Gebrüder Gerstenberg.
- Fernández, V. (1989). *Teoría y método de la arqueología*. Editorial Síntesis Madrid.
- Fernández, J. C. (2004). *Sinto: Señorío e Identidad en la costa norte Lambayecana*. Consultores y Promotores Turísticos del Norte (Coprotur).
- Flors, E. (2009). Prospecciones arqueológicas: métodos aplicados y resultados. In *Torre la Sal (Ribera de Cabanes, Castellón): evolución del paisaje antrópico desde la Prehistoria hasta el Medioevo* (pp. 41-76). Servei d'Investigacions Arqueològiques i Prehistòriques.
- Franquet, J. M. & Querol, A. (2010). *Nivelación de terrenos por regresión tridimensional: una aplicación de los métodos estadísticos*. UNED-Tortosa.
- Gandara, M. (1981). Algunas observaciones sobre los estudios de superficie en arqueología. *Cuiculco. Revista de la Escuela Nacional de Antropología e Historia*, (4), 30-37. <https://www.researchgate.net/publication/315665469>
- García, L., & Wheatley, D. (2003). Obtención de micro-topografías de alta precisión de yacimientos arqueológicos mediante DGPS. *Mapping. Revista de Cartografía, Sistemas de Información Geográfica, Teledetección y Medio Ambiente*, (89), 94-98.
- García, L. (2005). *Introducción al Reconocimiento y Análisis Arqueológico del Territorio*. Ariel Prehistoria.
- Giersz, M. (2017). *Castillo de Huarmey: un centro del imperio wari en la costa norte del Perú*. Ediciones del Hipocampo.
- Gordillo, S., Bayer, M. S., Boretto, G. M., Burela, S., Carrizo, M., Darrigrán, G., de Francesco, C. G., Druetta, H. S., Gómez, C. E., Piza, J., Strelin, J. A. & Tamburi, N. E. (2013). *Breviario malacológico cordobés: descubriendo los bivalvos y caracoles de la provincia de Córdoba*. Saya Ediciones. <https://ri.conicet.gov.ar/handle/11336/174955>
- González Ávila, M. (2002). Aspectos éticos de la investigación cualitativa. *Revista Iberoamericana de educación*(29), 85-103.
- Hernández, R., Fernández, C., & Baptista, P. (2014). *Metodología de la investigación*. Mc Graw-Hill.
- Hyslop, J., & Arias, E. (1992). *Qhapaqñan: el sistema vial inkaico*. (B. Mujica, Trad.) Instituto Andino de Estudios Arqueológicos: Petróleos del Perú.
- Hodder, I., & Orton, C. (1990). *Análisis espacial en arqueología*. Editorial Crítica.
- Kvamme, K. (2008). Archaeological prospecting at the double ditch state historic site, North Dakota, USA. *Archaeological Prospection*, 15(1), 62-79. <https://doi.org/10.1002/arp.325>
- Kosok, P. (1959). *El Valle de Lambayeque*. Actas y Trabajo del II Congreso Nacional de Historia del Perú, Época Prehispánica (Vol. 1). Indiana University Library.
- Lull, V. (1991). La Prehistoria de la teoría arqueológica en el estado español. En A. Vila (Ed.), *Arqueología: Nuevas tendencias* (pp. 231-250).
- Lumbreras, L. G. (2005). *Arqueología y Sociedad*. En E. G. Carre & C. Del Agila (Eds.). Instituto de Estudios Peruanos.
- Martínez, M. I. (1997). The development of Spanish archaeology in the 20th century. *Archaeologia Polona*, (35-36), 319-342. <http://hdl.handle.net/10261/32929>
- Mackey, C. (2013). Estrategias administrativas del Estado Chimú a nivel provincial. En E. Vergara Montero (Ed.), *Revista del museo de arqueología, antropología e historia* (pp. 53-87). Universidad Nacional de Trujillo.
- Molano, J. (1995). Arqueología del paisaje. *Cuadernos de Geografía: Revista Colombiana de Geografía*, 5(2), 1-10. <https://dialnet.unirioja.es/servlet/articulo?codigo=6581673>

- Morales, F. (2000). Prospección y excavación: Principios metodológicos básicos. En L. Benítez (Ed.), *El Patrimonio Arqueológico en Ciudad Real: métodos de trabajo y actuaciones recientes* (pp. 355-368). Universidad de Castilla la Mancha.
- Moghaddam, A. (2016). A fifth-millennium BC cemetery in the north Persian Gulf: the Zohreh Prehistoric Project. *Antiquity*, 90(353), 1-6. doi:10.15184/aqy.2016.166
- Muñoz, C. (1998). *Cómo elaborar y asesorar una investigación de tesis*. Pearson Educación.
- Orejas, A. (1991). Arqueología del Paisaje: historia, problemas y perspectivas. *Archivo Español de Arqueología*, 64(163-164), 191-230. <https://doi.org/10.3989/aespa.1991.v64.503>
- Ojeda de López, J., Quintero, J., & Machado, I. (2007). La ética en la investigación. *Telos*, 9(2), 345-357. <https://www.redalyc.org/articulo.oa?id=99318750010>
- Patané, C. (2013). Prospecciones arqueológicas en Salinas Grandes (Departamento La Poma, Provincia de Salta) y reporte de una punta “cola de pescado”. *Relaciones de la Sociedad Argentina de Antropología XXXVIII*, 247-255.
- Polit, D., & Hungler, B. (1994). Investigación científica en ciencias de la salud. 4 ed. México, *Interamericana*, 58-64.
- Pueyo, Ó., Zamor, S., & Pocoví, A. (2005). Aplicación de la prospección geofísica por georradar (GPR) a la delimitación y caracterización de estructuras arqueológicas. Ejemplo de las ruinas del convento agustino de Fraga (Huesca). *Geogaceta*, 131-134. <https://www.researchgate.net/publication/28164715>
- Ravines, R. (1989). *Arqueología práctica*. Editorial los Pinos, E.I.R.L.
- Redman, C. L. (1987). Surface Collection, Sampling, and Research Design: a Retrospective. *American antiquity*, 52(2), 249-265. <https://doi.org/10.2307/281779>
- Renfrew, C. y Bahn, P. (2011). *Arqueología: teorías, métodos y práctica*. Akal.
- Relat, J. (2010). *Introducción a la Investigación Básica*. *Revista andaluza de patología digestiva*, 33(3), 221-227. <https://www.sapd.es/revista/2010/33/3/03>
- Rivolta, G. (2005). Nuevos avances en las prospecciones arqueológicas en la Quebrada de Los Cardones. *Cuadernos de la Facultad de Humanidades y Ciencias Sociales. Universidad Nacional de Jujuy*, (29), 81-94.
- Ríos, G., & Piscitelli, M. (2018). Las habitaciones debajo de nuestros pies: prospección multisensorial de una arquitectura ceremonial del Arcaico Tardío. *Actas del III Congreso Nacional de Arqueología Volumen I*, 109-119.
- Ruiz, G. (1988). La prospección arqueológica en España: pasado, presente y futuro. *Arqueología espacial*, (12), 33-47.
- Ruiz, G. (2004). La prospección arqueológica de superficie en los inicios del siglo XXI. *Arqueología Espacial*, (24), 17-32. <https://www.researchgate.net/publication/263442733>
- Santamaría, J. (2011). *La Cartografía y las proyecciones cartográficas*. Universidad de La Rioja. <https://dialnet.unirioja.es/descarga/libro/492575.pdf>
- Schiffer, M., Sullivan, A., & Klinger, T. (1978). The design of archaeological surveys. *World Archaeology*, 10(1), 1-28. <https://doi.org/10.1080/00438243.1978.9979712>
- Segura, J. S. (2007). Redefiniendo el registro material: Implicaciones recientes desde la arqueología del paisaje anglosajona. *Trabajos de prehistoria*, 64(1), 41-64. <https://doi.org/10.3989/tp.2007.v64.i1.93>
- Shimada, I. (2014). *Cultura Sicán: esplendor preincaico de la costa norte*. (G. Cervantes, Trad.) Fondo Editorial del Congreso del Perú.
- Tabbagh, A. (2018). La prospección: évolution de la sous-discipline, évolution du métier. *ArcheoSciences*, 42(1), 103-108. <https://doi.org/10.4000/archeosciences.5440>
- Thabeng, O., Merlo, S., & Adam, E. (2019). High-resolution remote sensing and advanced classification techniques for the prospection of archaeological sites' markers: The case

- of dung deposits in the Shashi-Limpopo Confluence area (southern Africa). *Journal of Archaeological Science*, 102, 48-60. <https://doi.org/10.1016/j.jas.2018.12.003>
- Trinks, I., Neubauer, W., & Doneus, M. (2012). Prospecting Archaeological Landscapes. *Progress in Cultural Heritage Preservation*, 21-29. https://link.springer.com/chapter/10.1007/978-3-642-34234-9_3
- Tschauner, H. (2001). *Socioeconomic and political organization in the late Prehispanic Lambayeque Sphere, northern North Coast of Peru*. [Tesis de Doctorado, Harvard University Cambridge Massachusetts].
- Valente, R., Maset, E., & Iamoni, M. (2022). Archaeological site identification from open access multispectral imagery: Cloud computing applications in Northern Kurdistan (Iraq). *Archaeological Prospection*, 29(4), 579-595. <https://doi.org/10.1002/arp.1874>
- Xerez, F. (1985). *Verdadera relación de la conquista del Perú*. Edición de Concepción Bravo.
- Zevallos, C. (1995). *Historia de Chiclayo (Siglos XVI, XVII, XVIII y IX)*. Minerva.

VALIDACIÓN DE FICHAS DE REGISTRO



PERÚ

Ministerio de Cultura

UE 005- NAVLAMP

MUSEO NACIONAL SICAN

"Año de la recuperación y consolidación de la economía peruana"

Ferreñafe 4 de septiembre del 2025

A quien corresponda,

El suscrito, Carlos Gustavo Elera Arévalo con DNI 08225455 y doctorado en arqueología, avala la relación de fichas técnicas que emplean los bachilleres en arqueología de la Universidad Nacional Pedro Ruíz Gallo de Lambayeque, Manuel Kevin Mauro Mansilla con Código 185634B y Rafael Fernando Serrano Silva con Código 182167D en sus trabajos de investigación conducentes a la licenciatura.

Atentamente,

Dr. Carlos G. Elera Arévalo
Director del Museo Nacional de Sicán

Archivo/CEA2025

Av. Javier Prado Este 2465, San Borja
Central Telefónica: (511) 618 9393
www.gob.pe/cultura



BICENTENARIO
DEL PERÚ
2021 - 2024

ANEXOS

ANEXO 1

| FICHA DE REGISTRO CERÁMICO | | | |
|---------------------------------|---------------|------------|-----------|
| Nombre del Sitio Arqueológico: | | | |
| Ficha N°: | Departamento: | Provincia: | Distrito: |
| Sector: | | FOTOGRAFÍA | |
| Ubicación | | | |
| | | | |
| Número del fragmento | | | |
| Morfología del fragmento | | | |
| Dimensiones | | | |
| Altura | cm | Ancho | cm |
| Espesor del cuerpo | cm | | |
| Descripción de la decoración | | | |
| Descripción del acabado | | | |
| Descripción general | | | |
| Periodo | | | |
| Fecha de registro: | | | |

ANEXO 2

| FICHA DE REGISTRO LÍTICO | | | |
|--------------------------------|-------------------|----------------|-----------|
| Nombre del Sitio Arqueológico: | | | |
| Ficha N°: | Departamento: | Provincia: | Distrito: |
| Sector: | Ubicación: | | |
| Número del lítico | | | |
| Morfología del lítico | | | |
| Descripción | | | |
| | | | |
| Dimensiones | | | |
| Ancho máximo | m | Ancho mínimo | m |
| Espesor máximo | m | Espesor mínimo | m |
| largo | | | |
| Tipo de roca | | | |
| Técnicas de fabricación | | | |
| Estado de conservación: | | | |
| | | | |
| Fecha de registro: | | | |
| | | | |

ANEXO 3

| FICHA DE REGISTRO DE RESTOS MALACOLÓGICOS | | | | | |
|---|--|--------------|--|------------|--|
| Nº Ficha | | Código | | Fecha | |
| I. DATOS PERSONALES | | | | | |
| Región | | Provincia | | | |
| Distrito | | Caserío | | | |
| Sitio | | Sector | | | |
| Coordenadas UTM | | X: | | Y: | |
| Plano: | | Nº de pozos: | | | |
| II. CARACTERÍSTICAS DEL POZO | | | | | |
| Pozo Nº | | | | | |
| Perfil Nº | | | | | |
| Composición: | | | | | |
| Consistencia: | | | | | |
| Textura: | | | | | |
| Color: | | | | | |
| Grosor: | | | | | |
| Contexto y Asociaciones: | | | | | |
| Peso: | | | | | |
| Medida: | | | | Fotografía | |
| III. ESTADO DE CONSERVACIÓN | | | | | |
| Bueno | | Regular | | Malo | |
| Descripción | | | | | |
| IV. OBSERVACIONES | | | | | |
| | | | | | |
| Registrado por: | | | | | |

ANEXO 4

| FICHA DE REGISTRO ARQUITECTÓNICO: muro, rampa, banqueta, audiencias, plataformas, patios, hornacinas, pasadizos, depósitos | | | | | | |
|--|---------------------------|-------------|-----------------|------------|---------------|------|
| DATOS GENERALES | | | | | | |
| SITIO | | | N° DE MURO | | | |
| SECTOR | | | COORDENADAS UTM | | | |
| UNIDAD | | | REGISTRADO POR | | | |
| ALTITUD | | | FECHA | | | |
| Descripción del elemento Arquitectónico | | | | | | |
| Tipo de Planta | Lineal | | Curvo | | Irregular | |
| Tipo de Muro | Contención | | Recinto | | Aislado | |
| | Otros | | | | | |
| Dimensión | Largo | | Ancho Max. | | Altura Max. | |
| | Cabecera de Muro | | Base de Muro | | Altura Min. | |
| Orientación | | | | | | |
| MATERIALES CONSTRUCTIVOS | | | | | | |
| Elementos Constructivos | Tapial | | Piedra | | Mortero | |
| | Adobe | | Pachilla | | Otros | |
| | Adobón | | Mixta | | | |
| Tipos de Piedras | Sin trabajar | | Labrada | | Mixta | |
| | Canteada | | Canto rodado | | Otros | |
| Componente del Mortero | Cascajo | | Arcilla | | Tierra | |
| | Piedras | | Arena | | Vegetal | |
| | Tiestos | | Otros | | No presenta | |
| | Frecuencia de inclusiones | | | | | |
| | Abundante | | Parcial | | Ralo | |
| Técnica constructiva | | | | | | |
| Muro | Una Hilera | | Doble Hilera | | Triple Hilera | |
| | Cabeza | | Soga | | Cabeza y soga | |
| | Pachilla | | Con relleno | | Otros | |
| Relleno | Barro | | Piedras | | Cascajo | |
| | Grava | | Tiestos | | Vegetal | |
| | Mixto | | Otros | | | |
| | Frecuencia de inclusiones | | | | | |
| | Abundante | | Parcial | | Ralo | |
| Paramento | | Una cara | | Doble cara | | |
| | | Regular | | Irregular | | |
| Aparejo | | Regular | | Irregular | | |
| | | Descripción | | | | |
| Estado de conservación | | | | | | |
| Muy bueno | | Bueno | | Regular | | Malo |

ANEXO 5

| FICHA DE REGISTRO DE ARTE RUPESTRE | | | | | | | | | | |
|--|------------------------|--|--------------|---|-----------------|--|---------------|--------------|--|--|
| Generalidades | | | | | | | | | | |
| Sitio | | | | | | | | Ficha N° | | |
| Propietario | | | | | | | | | | |
| Ubicación Política | | | | | | | | | | |
| Ubicación Geográfica | | | | | | | | | | |
| Coordenadas UTM | N | | | E | | | Altitud | | | |
| Acceso | | | | | | | | | | |
| Entorno Arqueológico | | | | | | | | | | |
| Tipo de sitio | Pictografías | | Petroglifos | | Geoglifos | | Arte Mobiliar | Otros | | |
| División | Estaciones (subsitios) | | Piedras | | Otros | | Descripción: | | | |
| Tipo de soporte | Farallón | | Afloramiento | | Piedras sueltas | | Otros | Descripción: | | |
| Roca (Tipo y Características): | | | | | | | | | | |
| Estado de conservación | Bueno | | Malo | | Regular | | Pésimo | Descripción: | | |
| Tecnología (picado, frotado, pintado, grabado, raspado, rayado, etc.): | | | | | | | | | | |
| Morfología (Tendencia gráfica, distribución, cantidad estimada, rango de las dimensiones, superposiciones, yuxtaposiciones): | | | | | | | | | | |
| Rasgos Relevantes Asociados | | | | | | | | | | |
| Temporalidad | | | | | | | | | | |
| Adscripción Cultural | | | | | | | | | | |
| Adscripción Cronológica | | | | | | | | | | |
| Interpretación del sitio | | | | | | | | | | |
| Observaciones | | | | | | | | | | |
| Documentación | | | | | | | | | | |
| Registro gráfico | Dibujos a mano alzada | | Croquis | | Mapas | | Otros | | | |
| Registro fotográfico | | | | | | | | | | |
| Registrado por | | | | | | | Fecha | | | |

ANEXO 6

| FICHA DE REGISTRO FOTOGRÁFICO | |
|--------------------------------------|--|
| A. IDENTIFICACIÓN | |
| 1. Número de sitio | |
| 2. Nombre de sitio | |
| 3. Ubicación política | |
| 4. Ubicación geográfica | |
| a) Longitud | |
| b) Latitud | |
| c) Coordenada UTM | |
| DESCRIPCIÓN | |
| 1. Fecha | |
| 2. Autor | |
| FOTOGRAFÍA DESCRIPCIÓN | |
| a) Fotografía | |
| b) Descripción | |

ANEXO 7

| FICHA DEL REGISTRO DE PROSPECCIÓN ARQUEOLÓGICA | | | | | |
|--|--|-------|-------------|--------|--|
| 1. Datos Generales | | | | | |
| Número de ficha | | | Fecha | | |
| 1.1. Proyecto | | | | | |
| 1.2. Sitio Arqueológico Prehispánico | | | | | |
| 1.3. Otros nombres del sitio | | | | | |
| 1.4. Referencias Generales (catastros inventarios y/o investigaciones) | | | | | |
| | | | | | |
| 2. Ubicación | | | | | |
| 2.1. Ubicación Política | | | | | |
| Departamento: | | | | | |
| Provincia: | | | | | |
| Distrito: | | | | | |
| Centro Poblado: | | | | | |
| 2.2. Ubicación Geográfica | | | | | |
| Carta Nacional | | | | | |
| Zona Geográfica | | | | | |
| Coordenadas (UTM) | | | | | |
| Área (aprox.) | | | | | |
| Perímetro (aprox.) | | | | | |
| Altitud (aprox.) | | | | | |
| Valle | | | | | |
| Bajo | | Medio | | Alto | |
| Río | | | | | |
| Margen Der. | | | Margen Izq. | | |
| Cuenca | | | | | |
| Cerro | | | | | |
| Abra | | | | | |
| Descripción | | | | | |
| | | | | | |
| Colindancia: | | | | | |
| Norte | | | | Este | |
| Sur | | | | Oeste | |
| 3. Acceso | | | | | |
| Asfaltado | | | | Trocha | |
| 3.1. Lugar de procedencia | | | | | |
| 3.2. Distancia Aproximada | | | | | |
| 3.3. Descripción: | | | | | |
| | | | | | |

| | |
|-------------------------------------|-----------|
| 4. Clasificación del Lugar | |
| | |
| 5. Descripción | |
| | |
| 6. Registro de Material Registrado: | |
| 6.1.Medio Ambiental: | N° Ficha: |
| 6.2.Material Lítico: | N° Ficha: |
| 6.3.Estructura de piedras: | N° Ficha: |
| 6.4.Material cerámico: | N° Ficha: |

ANEXO 8

| | | | | | |
|--|--------------------------|----------------------------|--------------------------|---------------|--------------------------|
| FICHA DE REGISTRO DESCRIPTIVO DEL SITIO | | | | Código | |
| | | | | | |
| 1. DATOS DE IDENTIFICACIÓN | | | | | |
| Nombre del sitio | | | | | |
| Sector o área específica | | | | | |
| Foto principal | | | | | |
| Descripción de la fotografía | | | | | |
| | | | | | |
| 2. DATOS DE LOCALIZACIÓN | | | | | |
| Departamento | | Provincia | | Distrito | |
| Coordenadas | | | | | |
| Altitud | | | | | |
| Área estimada | | | | | |
| Ubicación topográfica | | | | | |
| 3. CARACTERÍSTICAS DEL SITIO | | | | | |
| Filiación cultural | | Tipo de sitio arqueológico | | | |
| | | Monumental | <input type="checkbox"/> | No monumental | <input type="checkbox"/> |
| Subtipo de sitio arqueológico | | | | | |
| Habitacional | <input type="checkbox"/> | Ritual / funerario | <input type="checkbox"/> | Otros | <input type="checkbox"/> |

Descripción del sitio:

4. ESTADO GENERAL DEL SITIO

Estado de conservación

Bueno

Regular

Malo

Estado de integridad

Bajamente
destruido

Medianamente
destruido

Altamente
destruido